



**TUGAS AKHIR – TF 095565**

**RANCANG BANGUN SISTEM *MONITORING KADAR CH<sub>4</sub>, CO<sub>2</sub>, DAN H<sub>2</sub>S* PADA PROSES PURIFIKASI BIOGAS DENGAN WATER SCRUBBER SYSTEM BERBASIS ATMEGA 128**

**ENDLYS DEVIRA YONANDO  
NRP 2414 031 030**

**Dosen Pembimbing  
Ir. Tutug Dhanardono, MT  
NIP. 19520613 198103 1 004**

**PROGRAM STUDI D3 TEKNIK INSTRUMENTASI  
DEPARTEMEN TEKNIK INSTRUMENTASI  
FAKULTAS VOKASI  
INSTITUT TEKNOLOGI SEPULUH NOPEMBER  
SURABAYA  
2017**





**TUGAS AKHIR – TF 095565**

**RANCANG BANGUN SISTEM *MONITORING KADAR CH<sub>4</sub>, CO<sub>2</sub> DAN H<sub>2</sub>S PADA PROSES PURIFIKASI BIOGAS DENGAN WATER SCRUBBER SYSTEM BERBASIS ATMEGA 128***

**ENDLYS DEVIRA YONANDO  
NRP 2414 031 030**

**Dosen Pembimbing  
Ir. Tutug Dhanardono, MT  
NIP. 19520613 198103 1 004**

**PROGRAM STUDI D3 TEKNIK INSTRUMENTASI  
DEPARTEMEN TEKNIK INSTRUMENTASI  
FAKULTAS VOKASI  
INSTITUT TEKNOLOGI SEPULUH NOPEMBER  
SURABAYA  
2017**



**FINAL PROJECT - TF 095565**

**DESIGN OF MONITORING SYSTEMS  $CH_4$ ,  $CO_2$  AND  $H_2S$   
CONCENTRATION AT THE PROCESS OF BIOGAS PURIFICATION  
WITH WATER SCRUBBER SYSTEM BASED ON ATMELA 128**

**ENDLYS DEVIRA YONANDO  
NRP 2414 031 034**

*Supervisor*  
**Ir. Tutug Dhanardono, MT  
NIP. 19520613 198103 1 004**

**D3 INSTRUMENTATION ENGINEERING  
DEPARTMENT OF INSTRUMENTATION ENGINEERING  
FACULTY OF VOCATION  
INSTITUT TEKNOLOGI SEPULUH NOPEMBER  
SURABAYA  
2017**

**RANCANG BANGUN SISTEM MONITORING  
KADAR CH<sub>4</sub>, CO<sub>2</sub> DAN H<sub>2</sub>S PADA PROSES  
PURIFIKASI BIOGAS DENGAN WATER SCRUBBER  
SYSTEM BERBASIS ATMEGA 128**

**TUGAS AKHIR**

**Oleh :**

**Endlys Devira Yonando  
NRP. 2414 031 030**

**Surabaya, 21 Juli 2017  
Mengetahui / Menyetujui**

**Dosen Pembimbing**



**Ir. Tutug Dhanardono, M.T  
NIP. 19520613 198103 1 004**



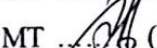
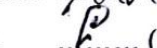
**RANCANG BANGUN SISTEM MONITORING KADAR  
CH<sub>4</sub>, CO<sub>2</sub> DAN H<sub>2</sub>S PADA PROSES PURIFIKASI BIOGAS  
DENGAN WATER SCRUBBER SYSTEM BERBASIS  
ATMELA 128**

**TUGAS AKHIR**

Diajukan Untuk Memenuhi Salah Satu Syarat  
Memperoleh Gelar Ahli Madya  
pada  
Program Studi D3 Teknik Instrumentasi  
Departemen Teknik Instrumentasi  
Fakultas Vokasi  
Institut Teknologi Sepuluh Nopember

Oleh :  
**Endlys Devira Yonando**  
NRP. 2414 031 030

Disetujui oleh Tim Penguji Tugas Akhir :

1. Ir. Tutug Dhanardono, MT  (Dosen Pembimbing)
2. Andi Rahmadiansah, ST., M.T.  (Ketua Tim Penguji)
3. Arief Abdurrahman, ST., MT.  (Dosen Penguji 1)
4. Hendra Cordova, ST., MT.  (Dosen Penguji 2)

**SURABAYA  
JULI 2017**

# RANCANG BANGUN SISTEM *MONITORING KADAR CH<sub>4</sub>, CO<sub>2</sub> DAN H<sub>2</sub>S PADA PROSES PURIFIKASI BIOGAS DENGAN WATER SCRUBBER SYSTEM BERBASIS ATMEGA 128*

Nama Mahasiswa : ENDLYS DEVIRA YONANDO  
NRP : 2414 031 030  
Program Studi : D III Teknik Instrumentasi  
Departemen : Teknik Instrumentasi FV-ITS  
Dosen Pembimbing : Ir. Tutug Dhanardono, MT

## ABSTRAK

Sistem monitoring gas CH<sub>4</sub>, CO<sub>2</sub>, dan H<sub>2</sub>S dalam biogas adalah mutlak diperlukan untuk memastikan keamanan dan melindungi peralatan serta untuk pemantauan kualitas gas tersebut. Dengan menggunakan sensor MQ-4, MG811 dan MQ-136 diproses melalui ATmega128 dan ditampilkan pada LCD4x20 yang disimpan pada SDcard secara *real time* menggunakan modul *openlog* dan DS1307. Sampai saat ini masih belum ada sistem *monitoring* kadar gas biogas pada *input* dan *output* kolom purifikasi secara *realtime*. Berdasarkan hasil pengujian didapatkan bahwa *Monitoring* gas CH<sub>4</sub> dengan persamaan  $Y=1021x^{-2.7887}$  pada *range* pengukuran 0-10000 memiliki nilai akurasi sebesar 0.29%, sensitivitas sebesar 0.258 mV/ppm dan *non-linieritas* sebesar 0.02% yang menghasilkan nilai kenaikan pada *outlet* kolom purifikasi sebesar 27.15%. Untuk *monitoring* gas CO<sub>2</sub> menggunakan sensor MG-811 dengan persamaan  $Y=-17.644\ln(x) + 264.76$  pada *range* pengukuran 0-10000 memiliki nilai akurasi sebesar 0.42%, sensitivitas sebesar 0.0096 mV/ppm dan *non-linieritas* sebesar 0.3% yang menghasilkan nilai kenaikan pada *outlet* kolom purifikasi sebesar 7.16%. Dan sensor MQ-136 untuk mengukur kadar H<sub>2</sub>S dengan persamaan  $Y=39.996x^{-3.303}$  pada *range* pengukuran 0-100 memiliki nilai akurasi sebesar 1.32%, sensitivitas sebesar 0.2 V/ppm dan *non-linieritas* sebesar 0.18% yang menghasilkan penurunan nilai konsentrasi H<sub>2</sub>S pada *outlet* kolom purifikasi sebesar 94.04%. Setelah dilakukan kalibrasi didapatkan nilai ketidakpastian (*Uexp*) pada sensor CH<sub>4</sub> sebesar 2.95, CO<sub>2</sub> sebesar 9.59 dan H<sub>2</sub>S sebesar 2.77. Hasil pembacaan *monitoring* *input* dan *output* kolom purifikasi ini disimpan pada *memory* dengan kapasitas 16 GB dan dapat bertahan selama ±10 tahun.

**Kata kunci :** *Monitoring*, MQ-4, MG-811, MQ-136, *openlog*, Purifikasi Biogas, RTC

**DESIGN OF MONITORING SYSTEMS CH<sub>4</sub>, CO<sub>2</sub> AND H<sub>2</sub>S  
CONCENTRATION AT THE PROCESS OF BIOGAS  
PURIFICATION WITH WATER SCRUBBER SYSTEM  
BASED ON ATMELA 128**

**Name of Student** : ENDLYS DEVIRA YONANDO  
**NRP** : 2414 031 030  
**Program Study** : D III Teknik Instrumentasi  
**Departement** : Teknik Instrumentasi FV-ITS  
**Supervisor** : Ir. Tutug Dhanardono, MT

**ABSTRACT**

Gas monitoring systems CH<sub>4</sub>, CO<sub>2</sub> and H<sub>2</sub>S in biogas are absolutely necessary to ensure safety and protect equipment and for monitoring of gas quality. Using the MQ-4, MG811 and MQ-136 sensors are processed through ATMega128 then the data will be displayed on LCD4x20 which is stored on SDcard in real time using openlog and DS1307 modules. Until now there is not monitoring system of biogas gas content in the input and output of purification column in realtime. Based on the test results obtained gas monitors CH4 with the equation  $Y = 1021x^{-2.7887}$  in 0-10000 measurement range has an accuracy value of 0.29%, sensitivity of 0.258 mV / ppm and non-linearity of 0.02% resulting in an increase in outlet of purification column of 27.15%. For monitoring of CO<sub>2</sub> gas using MG-811 sensor with the equation  $Y = -17.644\ln(x) + 264.76$  in 0-10000 measurement range has an accuracy value of 0.42%, sensitivity of 0.0096 mV / ppm and non-linearity of 0.3% that increase in purification column outlet by 7.16%. And the MQ-136 sensor to measure H<sub>2</sub>S with equation  $Y = 39.996x^{-3.303}$  on the measurement range 0-100 has an accuracy of 1.32%, the sensitivity of 0.2 V / ppm and non-linearity of 0.18% resulting in a decrease in H<sub>2</sub>S concentration on Outlet purification column of 94.04%. After calibration is obtained the value of uncertainty (Uexp) on CH4 sensor of 2.95, CO<sub>2</sub> of 9.59 and H<sub>2</sub>S of 2.77. The results of reading input and output monitoring on this purification column are stored with the datalogger openlog module on memory with a capacity of 16 GB and can last approximately 10 years.

**Keywords:** Biogas Purification, Monitoring, MQ-4, MG-811, MQ-136, openlog, RTC

## KATA PENGANTAR

Puji syukur kehadirat Allah SWT atas rahmat dan hidayah-Nya sehingga penulis dapat menyelesaikan laporan Tugas Akhir yang berjudul **“RANCANG BANGUN SISTEM MONITORING KADAR CH<sub>4</sub>, CO<sub>2</sub> DAN H<sub>2</sub>S PADA PROSES PURIFIKASI BIOGAS DENGAN WATER SCRUBBER SYSTEM BERBASIS ATMEGA 128”** dengan tepat waktu. Terselesaikannya laporan ini juga tak luput dari dukungan dan peran serta dari orangtua dan keluarga besar serta berbagai pihak. Untuk itulah dalam kesempatan ini penulis mengucapkan terima kasih yang sebesar-besarnya kepada :

1. Bapak Dr .Ir. Purwadi Agus D, M.Sc. selaku Ketua Departemen Teknik Instrumentasi FV-ITS.
2. Bapak Ir. Tutug Dhanardono, MT selaku pembimbing Tugas Akhir yang telah membina dengan baik dan sabar.
3. Arief Abdurrahman ST., M.T selaku dosen mata kuliah energi terbarukan yang telah membimbing biogas tim.
4. Bapak Totok Ruki Biyanto selaku Dosen Wali penulis.
5. Kedua orang tua saya, kakak, adik dan seluruh anggota keluarga yang tidak henti-hentinya memberi semangat dan doa untuk menyelesaikan Tugas akhir ini.
6. Bapak Hariyanto selaku pemilik biogas di desa Nongkojajar-Pasuruan-Jawa Timur yang memberikan biogas untuk pengambilan data penulis.
7. Seluruh Asisten Laboratorium Instrumentasi dan Kontrol, *Microprocessor and Microcontroller* dan *Workshop Instrumentasi* , yang telah membantu dalam penggerjaan Tugas Akhir penulis.
8. Bapak Idam dan Bapak Joko selaku karyawan PT. Perusahaan Gas Negara (PGN) yang telah membantu selama proses kalibrasi sensor gas.
9. BIOGAS Team yang telah membantu penggerjaan Tugas Akhir ini hingga selesai.
10. Teman-teman S1 Teknik Fisika dan D3 Teknik Instrumentasi angkatan 2014 FV-ITS.

11. Serta semua pihak yang tidak dapat disebutkan satu persatu.

Penulis menyadari bahwa laporan ini masih kurang sempurna. Oleh karena itu penulis menerima segala masukan baik berupa saran, kritik, dan segala bentuk tegur sapa demi kesempurnaan lapiran ini.

Demikian laporan Tugas Akhir ini penulis persembahkan dengan harapan dapat bermanfaat dalam akademik baik bagi penulis sendiri maupun bagi pembaca.

Surabaya, 17 Juli 2017

Penulis.

## DAFTAR ISI

	Hal
<b>HALAMAN JUDUL.....</b>	<b>i</b>
<b>TITLE OF PAGE .....</b>	<b>ii</b>
<b>LEMBAR PENGESAHAN I .....</b>	<b>iii</b>
<b>LEMBAR PENGESAHAN II.....</b>	<b>iv</b>
<b>ABSTRAK.....</b>	<b>v</b>
<b>ABSTRACT.....</b>	<b>vi</b>
<b>KATA PENGANTAR .....</b>	<b>vii</b>
<b>DAFTAR ISI .....</b>	<b>ix</b>
<b>DAFTAR GAMBAR .....</b>	<b>xi</b>
<b>DAFTAR TABEL.....</b>	<b>xiii</b>

### **BAB I. PENDAHULUAN**

1.1 Latar Belakang.....	1
1.2 Permasalahan .....	3
1.3 Tujuan Tugas Akhir .....	3
1.4 Batasan Masalah .....	3
1.5 Manfaat .....	4
1.6 Sistemmatika Laporan .....	4

### **BAB II. TINJAUAN PUSTAKA**

2.1 Biogas .....	7
2.2 <i>Scrubber</i> .....	8
2.3 Proses Pemurnian Biogas .....	9
2.4 Mikrokontroler ATMega .....	10
2.5 Sensor MQ-4.....	12
2.6 Sensor MQ-136.....	13
2.7 DT-SENSE Carbon Dioxide Sensor MG-811 .....	14
2.8 RTC DS 1307 .....	16
2.9 <i>Openlog Open Source Datalogger</i> .....	17
2.10 Karakteristik Statik .....	18
2.11 Teori Ketidakpastian.....	19

### **BAB III. PERANCANGAN DAN PEMBUATAN ALAT**

3.1 <i>Plant</i> Purifikasi Biogas dengan <i>Water Scrubber System</i> ..	23
3.2 Diagram Alir ( <i>Flowchart</i> ). ....	24

3.3 Metodologi Penelitian.....	24
--------------------------------	----

## **BAB IV. HASIL DATA DAN PEMBAHASAN**

4.1 Hasil Rancang Bangun Alat.....	45
4.2 Hasil Pengujian Alat.....	49

## **BAB V. PENUTUP**

5.1 Kesimpulan.....	71
5.2 Saran .....	71

## **DAFTAR PUSTAKA**

**LAMPIRAN A (DATA KALIBRASI SENSOR)**

**LAMPIRAN B (*Listing Program pada CAVAVR*)**

**LAMPIRAN C (*DATASHEET MQ-4*)**

**LAMPIRAN D (*DATASHEET MQ-136*)**

**LAMPIRAN E (*DATASHEET MG-811*)**

**LAMPIRAN F (*DT-SENSE MG-811*)**

**LAMPIRAN G (*DATASHEET SYSTEM ATMEGA 128*)**

## **MANUAL BOOK**

## **BIODATA PENULIS**

## DAFTAR GAMBAR

	Hal
<b>Gambar 2.1</b> Prinsip Kerja <i>Dry Scrubber</i>	8
<b>Gambar 2.2</b> Prinsip Kerja <i>Water Scrubber</i>	9
<b>Gambar 2.3</b> <i>Microcontroller ATMega128</i>	11
<b>Gambar 2.4</b> Konfigurasi Pin pada <i>ATMega128</i>	12
<b>Gambar 2.5</b> Sensor MQ-4	12
<b>Gambar 2.6</b> Grafik Karakteristik Sensor MQ-4	13
<b>Gambar 2.7</b> Sensor MQ-136	13
<b>Gambar 2.8</b> Grafik Karakteristik Sensor MQ-136	14
<b>Gambar 2.9</b> DT-SENSE <i>Carbon Dioxide Sensor MG-811</i>	15
<b>Gambar 2.10</b> Grafik Karakteristik Sensor MG-811	16
<b>Gambar 2.11</b> RTC	16
<b>Gambar 2.12</b> Konfigurasi PIN RTC	17
<b>Gambar 2.13</b> <i>Openlog data logger</i>	18
<b>Gambar 2.14</b> Tabel T-student	21
<b>Gambar 3.1</b> Purifikasi Biogas <i>Plant</i>	23
<b>Gambar 3.2</b> P&ID <i>Plant</i> Purifikasi	23
<b>Gambar 3.3</b> <i>Flowchart</i> Pembuatan Alat Sistem <i>Monitoring</i> Kadar CH <sub>4</sub> , CO <sub>2</sub> Dan H <sub>2</sub> S Pada Proses Purifikasi Biogas dengan <i>Water Scrubber System</i>	24
<b>Gambar 3.4</b> Blok Diagram Sistem Monitoring Kadar CH <sub>4</sub> , CO <sub>2</sub> dan H <sub>2</sub> S pada Proses Purifikasi Biogas dengan <i>Water Scrubber System</i>	25
<b>Gambar 3.5</b> Rangkaian RTC DS1307	27
<b>Gambar 3.6</b> Rangkaian <i>Openlog data logger</i>	28
<b>Gambar 3.7</b> Rangkaian LCD 20x4	29
<b>Gambar 3.8</b> Peletakan Sensor pada <i>Plant</i>	30
<b>Gambar 3.9</b> Plant Purifikasi Biogas	31
<b>Gambar 3.10</b> Realisasi Peletakan Sensor	32
<b>Gambar 3.11</b> <i>Packaging</i> Sensor	32
<b>Gambar 3.12</b> <i>Open Software</i>	33
<b>Gambar 3.13</b> <i>Create New File</i>	33
<b>Gambar 3.14</b> <i>Chip</i> pada <i>Code Vision AVR</i>	33
<b>Gambar 3.15</b> <i>Alphanumeric LCD</i> pada <i>Code Vision</i>	34
<b>Gambar 3.16</b> <i>ADC</i> pada <i>Code Vision AVR</i>	34
<b>Gambar 3.17</b> <i>I2C</i> pada <i>Code Vision AVR</i>	35

<b>Gambar 3.18</b>	Konfigurasi TWI untuk RTC DS1307	35
<b>Gambar 3.19</b>	Konfigurasi USART	36
<b>Gambar 3.20</b>	Tombol <i>Generate</i>	36
<b>Gambar 3.21</b>	Tampilan Awal Program	37
<b>Gambar 3.22</b>	Pengaturan CONFIG.TXT	39
<b>Gambar 3.23</b>	Konfigurasi <i>Sequential Log</i>	40
<b>Gambar 3.24</b>	Uji Coba Sensor MQ-4	42
<b>Gambar 3.25</b>	Uji Coba Sensor MQ-136	42
<b>Gambar 3.26</b>	Uji Coba Sensor MG-811	43
<b>Gambar 4.1</b>	<i>Purification System Plant</i>	45
<b>Gambar 4.2</b>	Penempatan Sistem <i>Monitoring</i>	46
<b>Gambar 4.3</b>	Grafik Kadar CH4	47
<b>Gambar 4.4</b>	Grafik Kadar CO2	48
<b>Gambar 4.5</b>	Grafik Kadar H2S	48
<b>Gambar 4.6</b>	Grafik RS/RO vs PPM	50
<b>Gambar 4.7</b>	Grafik Uji Sensor MQ-4	52
<b>Gambar 4.8</b>	Grafik Uji Sensor MG-811	57
<b>Gambar 4.9</b>	Grafik Uji Sensor MQ-136	65
<b>Gambar 4.10</b>	Hasil RTC DS1307	69
<b>Gambar 4.11</b>	Penyimpanan Data	70

## DAFTAR TABEL

	Hal
<b>Tabel 3.1</b> Alamat I2C DT-Sense MG811	26
<b>Tabel 3.2</b> Alokasi Port yang digunakan	31
<b>Tabel 4.1</b> Hasil <i>Monitoring</i> Purifikasi Biogas	46
<b>Table 4.2</b> Data Hasil Pengujian Sensor MQ-4	49
<b>Tabel 4.3</b> Pengambilan Data Sensor MQ-4	50
<b>Tabel 4.4</b> Karakteristik Sensitivitas Sensor MQ-4	51
<b>Tabel 4.5</b> Perbandingan MQ-4 dengan Standar	51
<b>Tabel 4.6</b> Data Hasil Pengujian Sensor MG-811	57
<b>Tabel 4.7</b> Data Hasil Pengujian Sensor MQ-136	62
<b>Tabel 4.8</b> Pengambilan Data Sensor MQ-136	63
<b>Tabel 4.9</b> Karakteristik Sensitivitas Sensor MQ-136	63
<b>Tabel 4.10</b> Perbandingan MQ-136 dengan Standar	64



# BAB I

## PENDAHULUAN

### 1.1 Latar Belakang

Ketergantungan manusia akan sumber energi fosil yang tidak terbarukan sudah harus dihindari pada saat ini, hal tersebut dikarenakan semakin tahun kebutuhan energi akan meningkat dalam penggunaannya, pada tahun 2011 konsumsi minyak di Indonesia mencapai 65,5 juta KL dan pada tahun 2012 sudah mencapai 72,2 juta KL [2]. Tetapi peningkatan kebutuhan tersebut tidak diimbangi dengan keberadaan sumber energi fosil yang semakin tahun akan semakin menipis. Oleh karena itu, ditemukannya beberapa pilihan sumber energi yang terbarukan. Dalam hal ini adalah sumber energi yang berasal dari alam langung dan dapat diperbarui. Beberapa sumber energi alternatif yang mulai umum digunakan adalah cahaya matahari, angin, arus laut, air, serta energi yang berasal dari makhluk hidup seperti biomassa dan biogas. Salah satu energi alternatif yang mudah didapatkan adalah Biogas.

Kandungan biogas yang menentukan nilai kalor adalah gas metana ( $\text{CH}_4$ ). Semakin tinggi kandungan metana, semakin tinggi nilai kalor yang terkandung dalam biogas, kandungan energi dalam gas tersebut adalah sekitar 500-700 Btu/scf. Sedangkan nilai kalor metana sebagai zat murni adalah 1000 Btu/scf. Dengan demikian, peningkatan nilai kalor biogas dapat dilakukan dengan meningkatkan kandungan metana, dan menurunkan kandungan gas lainnya. Biogas yang digunakan untuk pembangkit listrik memiliki standar gas metana yang digunakan sebagai bahan bakar generator set yaitu sebesar 90%.

Provinsi Jawa Timur merupakan salah satu penyumbang reaktor biogas terbesar di Indonesia dengan potensi kotoran yang dihasilkan sebesar 456.250kg/hari. Namun di daerah dengan penghasil biogas terbesar tersebut kandungan gas metana belum mencapai 90% [1]. Kondisi ini akibat dari tidak adanya sistem purifikasi yang ada di biogas. Proses purifikasi dengan metode *water scrubber* pada biogas sebagai pendukung dalam reduksi  $\text{CO}_2$ ,  $\text{H}_2\text{S}$ , dan PM [1].

Biogas dengan kadar H<sub>2</sub>S yang tinggi jika digunakan untuk bahan bakar generator set maka mesin akan cepat rusak karena menyebabkan korosi. Pernyataan ini didukung dengan hasil penelitian yang menyatakan bahwa H<sub>2</sub>S adalah asam anorganik yang menyerang permukaan logam ketika berkontak langsung. Sulfur Stres Cracking (SSC) adalah mekanisme korosif yang paling umum yang muncul saat logam bereaksi dengan H<sub>2</sub>S. Mekanisme ini mulai terjadi ketika kadar H<sub>2</sub>S lebih besar dari 50 ppm [3]. H<sub>2</sub>S dalam biogas dapat mengurangi waktu hidup dari mesin 10 sampai 15% [4]. Selain H<sub>2</sub>S terdapat juga CO<sub>2</sub> yang tidak bermanfaat pada saat proses pembakaran. Pada putaran mesin yang tinggi, pembakaran biogas dalam ruang bakar menjadi tidak sempurna dan mengakibatkan menurunnya efisiensi pada mesin tersebut. Hasil gas yang telah terpurifikasi akan meningkatkan kadar metana dan menurunkan gas pengotor, sehingga lebih meningkatkan efisiensi pembangkit listrik menggunakan bahan bakar biogas.

Kadar gas CH<sub>4</sub>, CO<sub>2</sub>, dan H<sub>2</sub>S pada purifikasi biogas ini dapat dideteksi menggunakan sensor MQ-4, MQ-136 dan MG811. Sebab menurut hasil penelitian mengatakan bahwa sensor MQ-4 gas metan dapat mendeteksi keberadaan gas metan dengan kesalahan sebesar 2% [5] sedangkan uji kinerja sensor TGS untuk monitoring gas metan menghasilkan error sebesar 14.8% pada TGS2611 dan 8.477% TGS2612 [6].

Dari beberapa tinjauan yang ada, maka dalam Tugas Akhir ini akan membuat rancang bangun sistem monitoring kadar gas CH<sub>4</sub>, CO<sub>2</sub> dan H<sub>2</sub>S pada proses purifikasi biogas dengan *water scrubber system* berbasis atmega 128 dengan tujuan sehingga dapat mengetahui kualitas kandungan gas CH<sub>4</sub>, sedangkan kadar CO<sub>2</sub> dan H<sub>2</sub>S perlu dimonitoring untuk mengantisipasi agar genset tidak mudah korosi dan dapat menyiapkan pemeliharaan untuk genset agar tidak cepat rusak. Monitoring H<sub>2</sub>S dalam biogas adalah mutlak diperlukan untuk memastikan keamanan dan melindungi peralatan serta untuk pemantauan kualitas gas tersebut [13]. Dengan hasil data monitoring yang diperoleh bisa digunakan untuk analisa karena data yang di dapatkan *realtime* dari hasil purifikasi.

## 1.2 Perumusan Masalah

Berdasarkan latar belakang yang dijelaskan diatas, maka rumusan masalah dalam Tugas Akhir ini adalah :

- Bagaimana merancang sistem *monitoring* kadar gas CH<sub>4</sub>, CO<sub>2</sub> dan H<sub>2</sub>S pada proses purifikasi biogas dengan *water scrubber system*?
- Bagaimana hasil karakteristik statik sistem pengukuran pada sistem *monitoring* kadar gas CH<sub>4</sub>, CO<sub>2</sub> dan H<sub>2</sub>S pada proses purifikasi biogas dengan *water scrubber system*?

## 1.3 Tujuan Tugas Akhir

Tujuan utama dari rancang bangun alat ini adalah untuk memenuhi mata kuliah tugas akhir sebagai syarat kelulusan dari program studi diploma 3 Teknik Instrumentasi, serta untuk memberikan solusi pada rumusan masalah yaitu :

- Untuk mengetahui cara merancang monitoring kadar gas CH<sub>4</sub>, CO<sub>2</sub> dan H<sub>2</sub>S pada proses purifikasi biogas dengan *water scrubber system*.
- Untuk mengetahui karakteristik statik sistem pengukuran pada sistem *monitoring* kadar gas CH<sub>4</sub>, CO<sub>2</sub> dan H<sub>2</sub>S pada proses purifikasi biogas dengan *water scrubber system*

## 1.4 Batasan Masalah

Perlu diberikan beberapa batasan permasalahan agar pembahasan tidak meluas dan menyimpang dari tujuan. Adapun batasan permasalahan dari sistem yang dirancang ini yaitu :

- Biogas berasal dari kotoran sapi
- Uji coba menggunakan ban penampung yang berisi biogas
- Variabel yang diukur adalah kadar CH<sub>4</sub>, CO<sub>2</sub> dan H<sub>2</sub>S
- Sensor yang digunakan adalah MQ-4, MG-811 dan MQ-136
- Menggunakan *Microcontroller Atmega 128*

- Modul *openlog datalogger* sebagai penyimpanan *datalogger*
- LDC 4x20 sebagai *display*
- Modul DS1307 sebagai RTC

## 1.5 Manfaat

Manfaat yang didapatkan dalam mengerjakan tugas akhir ini mahasiswa atau penulis paham dan mengerti dalam merancang dan membangun suatu sistem monitoring kadar gas CH<sub>4</sub>, CO<sub>2</sub> dan H<sub>2</sub>S pada proses purifikasi biogas dengan *water scrubber system*.

## 1.6 Sistematika Laporan

Sistematika laporan yang digunakan dalam penyusunan laporan tugas akhir ini adalah sebagai berikut:

### BAB I : PENDAHULUAN

Bab ini membahas mengenai latar belakang permasalahan, perumusan masalah, batasan masalah, tujuan dan sistematika penulisan pada tugas akhir ini.

### BAB II : DASAR TEORI

Bab ini membahas mengenai teori-teori penunjang yang diperlukan dalam merealisasikan Tugas Akhir yaitu berupa teori tentang sistem monitoring kadar gas CH<sub>4</sub>, CO<sub>2</sub> dan H<sub>2</sub>S pada proses purifikasi biogas dengan *water scrubber system*.

### BAB III : PERANCANGAN DAN PEMBUATAN ALAT

Pada bab ini diuraikan tentang bagaimana cara merancang sistem monitoring kadar gas CH<sub>4</sub>, CO<sub>2</sub> dan H<sub>2</sub>S pada proses purifikasi biogas dengan *water scrubber system* serta diagram blok, cara pembuatan dan perancangan alat, perangkat keras maupun perangkat lunak.

### BAB IV : HASIL DATA DAN PEMBAHASAN

Bab ini menguraikan hasil dan analisa dari realisasi alat yang telah dibuat.

**BAB V : KESIMPULAN DAN SARAN**

Bab ini berisi simpulan dari analisa yang telah dilakukan dan saran untuk pengembangan lebih lanjut.

*Halaman ini sengaja dikosongkan*

## **BAB II**

### **TINJAUAN PUSTAKA**

#### **3.1 Biogas**

Biogas merupakan gas yang dihasilkan oleh aktivitas anaerobik atau fermentasi dari bahan-bahan organik termasuk di antaranya; kotoran manusia dan hewan, limbah domestik (rumah tangga), sampah biodegradable atau setiap limbah organik yang biodegradable dalam kondisi anaerobik. Kandungan utama dalam biogas adalah metana dan karbon dioksida. Biogas dapat digunakan sebagai bahan bakar kendaraan maupun untuk menghasilkan listrik.

Biogas adalah gas yang dihasilkan dari proses penguraian bahan-bahan organik oleh mikroorganisme pada kondisi langka oksigen (anaerob). Komponen biogas antara lain sebagai berikut : ± 60 % CH<sub>4</sub> (metana), ± 38 % CO<sub>2</sub> (karbon dioksida) dan ± 2 % N<sub>2</sub>, O<sub>2</sub>, H<sub>2</sub>, & H<sub>2</sub>S. Biogas dapat dibakar seperti elpiji, dalam skala besar biogas dapat digunakan sebagai pembangkit energi listrik, sehingga dapat dijadikan sumber energi alternatif yang ramah lingkungan dan terbarukan. Sumber energi Biogas yang utama yaitu kotoran ternak Sapi, Kerbau, Babi dan Kuda.

Biogas yang dihasilkan oleh aktivitas anaerobik sangat populer digunakan untuk mengolah limbah biodegradable karena bahan bakar dapat dihasilkan sambil Mengurai dan sekaligus mengurangi volume limbah buangan. Metana dalam biogas, bila terbakar akan relatif lebih bersih daripada batu bara, dan menghasilkan energi yang lebih besar dengan emisi karbon dioksida yang lebih sedikit.

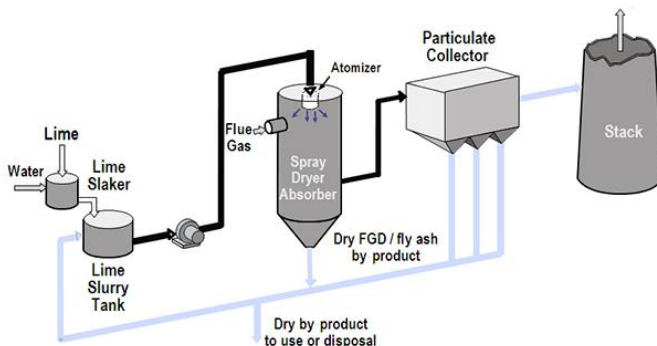
Pemanfaatan biogas memegang peranan penting dalam manajemen limbah karena metana merupakan gas rumah kaca yang lebih berbahaya dalam pemanasan global bila dibandingkan dengan karbon dioksida. Karbon dalam biogas merupakan karbon yang diambil dari atmosfer oleh fotosintesis tanaman, sehingga bila dilepaskan lagi ke atmosfer tidak akan menambah jumlah karbon di atmosfer bila dibandingkan dengan pembakaran bahan bakar fosil [8].

## 2.2 Scrubber

*Scrubber* merupakan salah satu dari beberapa alat pengendali polusi udara atau emisi pada suatu instalasi yang kontribusinya secara umum adalah untuk mengendalikan partikel-partikel berupa padatan dan ataupun gas yang sifatnya dapat larut pada air, sehingga pada instalasinya mungkin akan dijumpai beberapa alat pendukung lain yang berhubungan untuk mendistribusikan air. Terdapat 2 jenis *scrubber* yaitu *Dry Scrubber* dan *Wet Scrubber*. Perbedaan dari kedua jenis *scrubber* tersebut yaitu penggunaan fluida cair serta pengendalian temperaturnya.

- **Dry Scrubber**

Sesuai dengan sebutannya *Dry Scrubber* merupakan alat pengendali polusi yang dalam aplikasinya berlangsung dalam proses kering. Aplikasi ini lebih dominan hanya untuk pengendali partikel-partikel dalam bentuk padat. Dikarenakan pada proses kerjanya hanya dapat mengendalikan emisi dalam bentuk padatan seperti *fly ash* (partikel padat) [9].



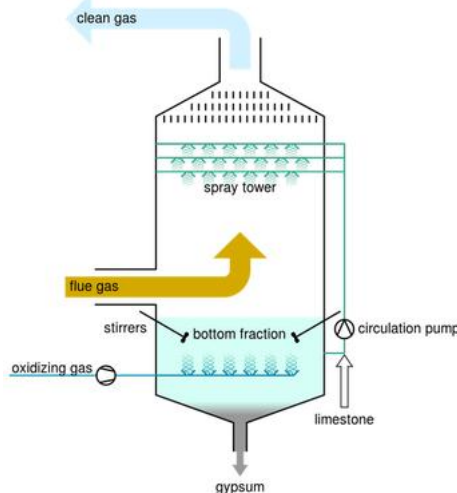
Gambar 2.1 Prinsip Kerja *Dry Scrubber*<sup>[9]</sup>

- **Water Scrubber**

Peralatan absorpsi gas terdiri dari sebuah kolom berbentuk silinder atau menara yang dilengkapi dengan pemasukan gas dan ruang distribusi pada bagian bawah;

pemasukan zat cair dan distributornya pada bagian atas, pengeluaran gas dan zat cair masing-masing diatas dan dibawah. Serta diisi dengan massa zat tak aktif (inert) diatas penyangganya yang disebut isian menara (*tower packing*).

Gas yang mengandung zat terlarut, disebut gas kaya (*rich gas*), masuk ke ruang pendistribusian melalui celah isian, berlawanan arah dengan zat cair. Isian itu memberikan permukaan yang luas untuk kontak antara zat cair dan gas sehingga membantu terjadinya kontak yang maksimal antara kedua fase, dan terjadi penyerapan zat terlarut yang ada di dalam *rich gas* oleh zat cair yang masuk ke dalam menara dan gas encer (*lean gas*) keluar dari atas. Sambil mengalir kebawah, zat cair makin kaya zat terlarut, dan keluar dari bawah menara sebagai cairan pekat [9].



**Gambar 2.2 Prinsip Kerja Water Scrubber<sup>[9]</sup>**

### 2.3 Proses Pemurnian Biogas

Unsur-unsur utama pada biogas diantaranya metana ( $\text{CH}_4$ ), karbon dioksida ( $\text{CO}_2$ ), beberapa unsur lain seperti amonia ( $\text{NH}_3$ ), hidrogen sulfida ( $\text{H}_2\text{S}$ ), karbon monoksida ( $\text{CO}$ ), hidrogen ( $\text{H}_2$ ), nitrogen ( $\text{N}_2$ ), dan oksigen ( $\text{O}_2$ ). Suatu biogas dapat dilihat kualitasnya dari banyaknya gas metana yang dikandung, karena

semakin banyak kandungan metana, maka energi yang dihasilkan juga semakin besar. Namun adanya gas pengotor yang berupa air, CO<sub>2</sub>, dan H<sub>2</sub>S membuat kualitas dari biogas tersebut tidak maksimal. Peningkatan kualitas biogas bisa dilakukan dengan menghilangkan gas pengotor tersebut terutama CO<sub>2</sub> dan H<sub>2</sub>S. Hal ini disebabkan karena hidrogen sulfur mengandung racun dan zat yang menyebabkan korosi. Jika biogas mengandung senyawa ini, maka akan menimbulkan gas yang berbahaya . Jika biogas dibakar, H<sub>2</sub>S akan membentuk senyawa baru berupa bersama oksigen berupa sulfur dioksida (SO<sub>2</sub>) atau sulfur trioksida (SO<sub>3</sub>). Kedua senyawa ini lebih beracun daripada H<sub>2</sub>S. Dan jika terus dilanjutkan, maka akan terbentuk sulfur acid (H<sub>2</sub>SO<sub>3</sub>) yang bersifat lebih korosif daripada H<sub>2</sub>S. Selain itu, pembakaran gas yang masih mengandung H<sub>2</sub>S juga akan menghasilkan senyawa asam (H<sub>2</sub>SO<sub>4</sub>) yang bisa menimbulkan hujan asam. Hal ini dapat menimbulkan kerugian besar karena bersifat korosif dan mencemari lingkungan hidup. Sedangkan CO<sub>2</sub> memiliki sifat yang dapat menghambat proses pembakaran yang sempurna, beracun, dan dapat menyebabkan korosi [8].

## 2.4 Mikrokontroler ATMega

Mikrokontroler merupakan keseluruhan sistem komputer yang dikemas menjadi sebuah *chip* di mana di dalamnya sudah terdapat Mikroprosesor, I/O, Memori bahkan ADC, berbeda dengan Mikroprosesor yang berfungsi sebagai pemroses data.

Mikrokontroller AVR (*Alf and Vegard's Risc processor*) memiliki arsitektur 8 bit, dimana semua instruksi dikemas dalam kode 16-bit dan sebagian besar instruksi dieksekusi dalam 1 siklus *clock* atau dikenal dengan teknologi RISC (*Reduced Instruction Set Computing*). Secara umum, AVR dapat dikelompokan ke dalam 4 kelas, yaitu keluarga AT90Sxx, keluarga ATMega dan AT86RFxx. Pada dasarnya yang membedakan masing-masing adalah kapasitas memori, *peripheral* dan fungsinya. Dari segi arsitektur dan instruksi yang digunakan, mereka bisa dikatakan hampir sama. Berikut ini gambar Mikrokontroler Atmega.

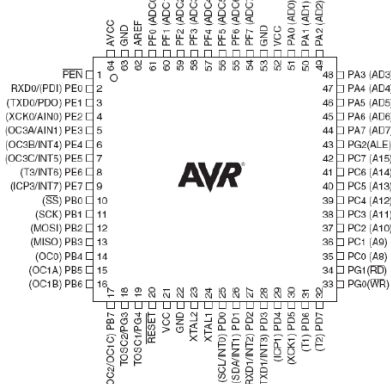


**Gambar 2.3 Microcontroller ATMega128<sup>[14]</sup>**

Semua jenis AVR dilengkapi dengan flash memori sebagai memori program. Kapasitas dari flash memori ini berbeda antara *chip* yang satu dengan *chip* yang lain. Tergantung dari jenis IC yang digunakan. Untuk flash memori yang paling kecil adalah 1 kbytes (ATtiny11, ATtiny12, dan ATtiny15) dan paling besar adalah 128 Kbytes (AT-Mega128). Berikut ini adalah spesifikasi Mikrokontroler AVR ATMega-128 dan konfigurasi pin ATMEGA 128 [14].

#### **Spesifikasi :**

- Saluran I/O sebanyak 56 buah, yaitu Port A, Port B, Port C, Port D, Port E, Port F dan Port G.
- ADC 10 bit sebanyak 8 saluran.
- 2 buah *Timer/Counter* 8 bit dan 2 buah *Timer/Counter* 16 bit.
- Dua buah PWM 8 bit.
- *Watchdog Timer* dengan osilator internal.
- Internal SRAM sebesar 4 kbyte.
- Memori flash sebesar 128 kBytes.
- Interupsi Eksternal.
- Port antarmuka SPI.
- EEPROM sebesar 4 kbyte.
- *Real time counter*.
- 2 buah Port USART untuk komunikasi serial.
- Enam kanal PWM.
- Tegangan operasi sekitar 4,5 V sampai dengan 5,5V



**Gambar 2.4** Konfigurasi Pin pada ATMega128<sup>[14]</sup>

## 2.5 Sensor MQ-4

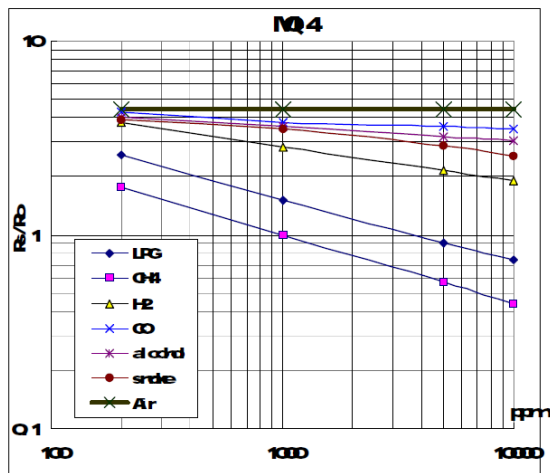
MQ-4 adalah komponen elektronika untuk mendeteksi kadar gas alam terkompresi / CNG (*compressed natural gas*) Dengan menggunakan MQ-4 *Methane CNG Sensor Module* ini, Anda dapat mendeteksi kadar gas metana dalam udara dengan menyambungkan sensor ini ke mikrokontroler / development board semacam Arduino. Dari situ Anda bisa membuat program untuk menentukan aksi berdasarkan data yang terbaca, misalnya menyalakan alarm saat kadar gas metana ini mencapai ambang batas tertentu yang membahayakan, atau sekedar menampilkan kadar ppm (*parts per million*) gas tersebut di layar tampilan.



**Gambar 2.5** Sensor MQ-4<sup>[10]</sup>

Sensor MQ-4 merupakan sensor yang sangat sensitif terhadap CNG dan dapat mendeteksi konsentrasi gas alam di udara mulai dari 200 ppm hingga 10.000 ppm. Keluaran sensor ini berupa resistansi analog yang dengan mudah dapat dikonversi menjadi

tegangan dengan menambahkan satu resistor biasa. Dengan mengkonversi impedansi ini menjadi tegangan, hasil bacaan sensor dapat dibaca oleh pin ADC (*analog to digital converter*) pada mikrokontroler [10].



Gambar 2.6 Grafik Karakteristik Sensor MQ-4<sup>[10]</sup>

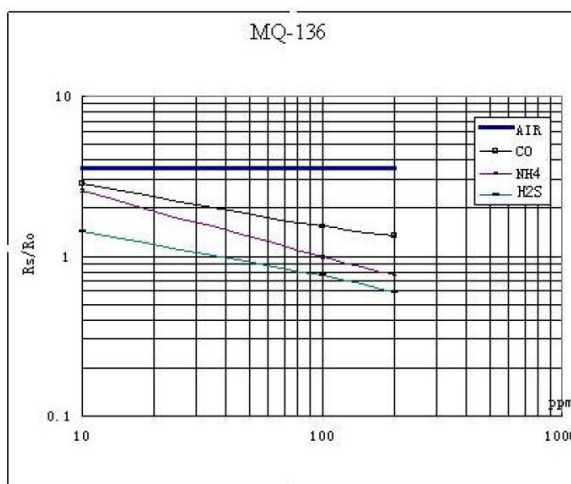
## 2.6 Sensor MQ-136

Sensor MQ-136 adalah suatu komponen semikonduktor yang berfungsi sebagai pengindera bau gas tin oksida ( $SnO_2$ ). Sensor MQ-136 dapat dikatakan sebagai resistor dengan *Negative Pollution Coefficient* (NPC). Karena secara teknis sensor gas tersebut sama dengan resistor NPC, maka semakin tinggi konsentrasi gas yang tidak di inginkan, maka nilai hambatannya akan semakin rendah, sehingga tegangan keluaran akan semakin besar.



Gambar 2.7 Sensor MQ-136<sup>[11]</sup>

Sensor MQ-136 sangat peka terhadap gas yang mengandung hidrogen sulfida ( $H_2S$ ). Hidrogen sulfida juga dikenal dengan nama sulfana, sulfur hidrida, gas asam (*sour gas*), *sulfurated hydrogen*, asam hidrosulfurik, dan gas limbah (*sewer gas*). Gas ini juga muncul pada gas yang timbul dari aktivitas gunung berapi dan gas alam. Sensor ini juga mempunyai sebuah pemanas (*heater*) yang digunakan untuk membersihkan ruangan sensor dari kontaminasi udara luar agar sensor dapat bekerja kembali secara efektif [11].

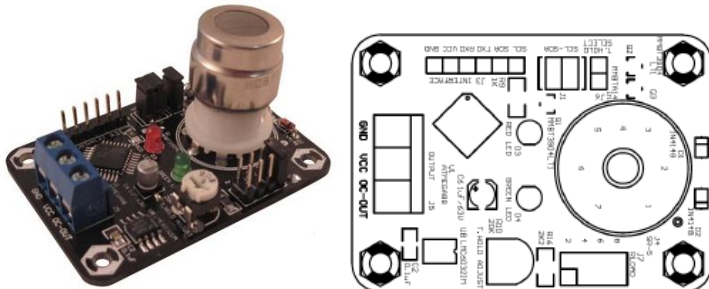


Gambar 2.8 Grafik Karakteristik Sensor MQ-136<sup>[11]</sup>

## 2.7 DT-SENSE Carbon Dioxide Sensor MG-811

Sensor MG-811 memiliki onboard sebagai komponen sensor. Ada pengkondisian sinyal sirkuit terintegrasi untuk memperkuat sinyal output dan pemanas sirkuit *onboard* untuk memanaskan sensor. MG-811 sangat sensitif terhadap  $CO_2$ . Sensor MG-811 pada dasarnya adalah sel yang menghasilkan output dalam kisaran 100-600mV (400-10000ppm  $CO_2$ ). Kemampuan sumber saat sel sangat terbatas. Amplitudo sinyal yang sangat rendah dan impedansi output dari sel sangat tinggi sehingga sirkuit pengkondisian sinyal diperlukan antara sensor dan masukan mikrokontroler. Tegangan keluaran dari sensor di udara bersih

(biasanya 400ppm CO<sub>2</sub>) adalah di kisaran 200mV-600mV, tegangan output ini didefinisikan sebagai Titik Nol Voltage (V<sub>0</sub>) yang merupakan tegangan dasar. Tegangan output akan menurun dengan meningkatnya konsentrasi CO<sub>2</sub>. Ketika konsentrasi CO<sub>2</sub> lebih besar dari 400ppm, tegangan output (V<sub>s</sub>) adalah linier dengan logaritma konsentrasi CO<sub>2</sub> [15].



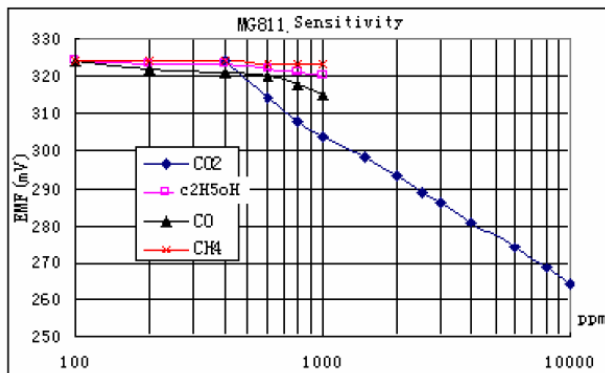
**Gambar 2.9 DT-SENSE Carbon Dioxide Sensor MG-811<sup>[15]</sup>**

#### **Dimensi :**

5,6 cm (p) x 4 cm (l) x 3,4 cm (t)

#### **Spesifikasi :**

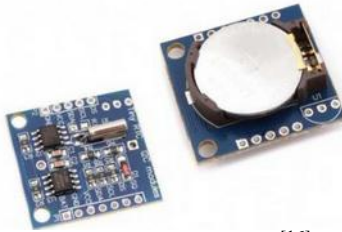
- Tegangan kerja : 5 VDC.
- Target gas : karbon dioksida (CO<sub>2</sub>).
- Range deteksi : 350 - 10000 ppm.
- Antarmuka :
- UART TTL : 38400 bps, 8-bit data, 1-bit stop, *no parity*, *no flow control*.
- I2C : dapat di-cascade hingga 8 buah modul dalam satu jalur komunikasi.
- Menggunakan ADC 10-bit untuk konversi data analog dari sensor.
- Memiliki *output* berupa data digital dengan nilai 0 - 1023 (hasil konversi ADC).
- Terdapat 1 buah *variable resistor* untuk pengaturan nilai *threshold* secara manual.



Gambar 2.10 Grafik Karakteristik Sensor MG-811<sup>[12]</sup>

## 2.8 RTC DS 1307

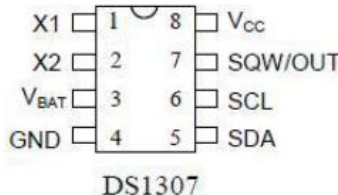
Istilah RTC (*real time clock*) merupakan sebuah istilah untuk jam elektronik dalam bentuk sebuah IC (*integrated circuit*) yang memiliki fungsi sebagai penyimpanan data waktu dan tanggal. Data waktu dan tanggal tersebut akan disertakan dengan data guna menambah validitas proses pengambilan data. Jadi, akan diketahui detik, menit, jam, hari, bulan, dan tahun saat melakukan proses pengambilan data.



Gambar 2.11 RTC<sup>[16]</sup>

Salah satu jenis *real time clock* adalah DS1307 yang dapat menyimpan data- data berupa detik, menit, jam, tanggal, bulan, hari dalam seminggu, dan tahun yang valid hingga tahun 2100. IC DS1307 ini mempunyai *NV SRAM* sebesar 56- byte, *General-Purpose RAM* tanpa *unlimited writes*, antarmuka *I2C*, dan *battery-backed* sebagai sumber daya cadangan. Susunan pin DS1307 dapat dilihat pada Gambar 2.12. Bentuk komunikasi data

dari IC RTC adalah I2C yang merupakan kepanjangan dari Inter Integrated Circuit. Komunikasi jenis ini hanya menggunakan 2 jalur komunikasi yaitu SCL dan SDA. Semua *microcontroller* sudah dilengkapi dengan fitur komunikasi 2 jalur ini, termasuk diantaranya Arduino *Microcontroller* [16] .



**Gambar 2.12** Konfigurasi PIN RTC<sup>[16]</sup>

Fungsi pin dari komponen RTC S1307 adalah sebagai berikut :

1. Pin Vcc (Nomor 8) berfungsi sebagai sumber energi listrik Utama. Tegangan kerja dari komponen ini adalah 5 volt, dan ini sesuai dengan tegangan kerja dari *microcontroller* Arduino *Board*
2. Pin GND (Nomor 4) Anda harus menghubungkan ground yang dimiliki oleh komponen RTC dengan ground dari *battery back-up*
3. SCL berfungsi sebagai saluran *clock* untuk komunikasi data antara *Microcontroller* dengan RTC
4. SDA berfungsi sebagai saluran Data untuk komunikasi data antara *Microcontroller* dengan RTC
5. X1 dan X2 berfungsi untuk saluran *clock* yang bersumber dari crustal external
6. Vbat Berfungsi sebagai saluran energy listrik dari Battery external.

## 2.9 Openlog Open Source Datalogger

*Openlog open source datalogger* merupakan modul penyimpanan *datalogger* berbasiskan *SD/MMC*. Telah dilengkapi dengan soket *SD/MMC* jenis FAT16 dan FAT32 dan mampu menyimpan data sampai dengan 16 *Giga Bytes*. Modul ini berbasiskan mikrokontroler ATmega328. Proses penyimpanan data cukup mudah, hanya dengan mengirimkan perintah melalui

antarmuka UART, maka sudah dapat melakukaan *create file*, *append file*, *write file*, *read file*, *create dir*, dll. Data yang dikirim mikrokontroler secara serial akan dituliskan ke dalam file dengan format *.TXT*. File *.TXT* tersebut dapat dibuka dan dibaca melalui program *NOTEPAD* [17].



**Gambar 2.13** *Openlog data logger*<sup>[17]</sup>

Adapun spesifikasi atau fitur dari *OpenLog Open Source Datlogger* adalah sebagai berikut:

- Catu daya : 3.3VDC - 12VDC.
- Berbasis mikrokontroler ATmega328.
- Antarmuka UART.
- Media penyimpanan berupa *microSD* (*up to 16GByte*).
- Bersifat *open source*.
- Dua *LED* mengindikasikan menulis statusnya.
- Dapat melakukan edit *Fileconfig.txt* dari komputer untuk mengubah *baudrate* dan pengaturan sistem lainnya.

### 2.3 Karakteristik Statik

Karakteristik statik pengukuran merupakan karakteristik yang ditentukan melalui perhitungan matematik atau secara grafik. Karakteistik statik terdiri dari sebagai berikut berserta rumusnya yang diambil dari buku Bentley [18].

#### a. *Range*

*Range* merupakan batas nilai minimum dan maksimum yang terukur oleh suatu instrument atau alat ukur.

#### b. *Span*

*Span* merupakan selisih antara nilai minimum dan maksimum yang terukur oleh suatu instrument atau alat ukur.

$$\text{Range} = \text{Nilai max} - \text{Nilai min} \quad (2.1)$$

**c. Toleransi**

Toleransi merupakan kemampuan suatu alat untuk membaca nilai terkecil dari suatu variable yang diukur.

**d. Akurasi**

Akurasi biasanya dinyatakan sebagai persen ketidak-pastian. Dengan kata lain akurasi adalah persentase dekatnya harga hasil pengukuran dengan harga sebenarnya.

$$\text{Akurasi} = \frac{(100\%)}{n} \sum_{t=1}^n \frac{|X_t - F_t|}{X_t} \quad (2.1)$$

Keterangan :

X<sub>t</sub> = Nilai pembacaan standart (PPM)

F<sub>t</sub> = Nilai pembacaan alat (PPM)

n = Jumlah data

**e. Sensitivitas**

Sensitivitas menunjukkan perubahan output instrument yang terjadi saat diberi kualitas pengukuran yang berbeda.

$$\text{Sensitivitas} = \frac{\Delta \text{Output}}{\Delta \text{Input}} \quad (2.2)$$

**f. Linearitas**

Linearitas dapat diartikan sebagai dekatnya suatu kurva pengukuran terhadap garis linier ( garis lurus ). Biasanya linieritas dinyatakan sebagai ketidak linieran alat. Non-linearitas dapat diperoleh dari persamaan berikut:

$$O_{Ideal} = KI + \alpha \quad (2.3)$$

Dengan K adalah kemiringan garis:

$$K = \frac{O_{max} - O_{min}}{I_{max} - I_{min}} \quad (2.4)$$

Dan  $\alpha$  adalah pembuat nol (*zero bias*):

$$\alpha = O_{min} - KI_{min} \quad (2.5)$$

Sehingga didapatkan nilai Non-linieritas:

$$N = \frac{[O - KI + \alpha]_{max}}{O_{max} - O_{min}} \times 100\% \quad (2.6)$$

## 2.4 Teori Ketidakpastian

Ketidakpastian pengukuran merupakan tingkat seberapa besar ketidakpastian yang dihasilkan oleh suatu alat ukur. Dalam menghitung ketidakpastian pengukuran ada beberapa langkah

yang harus dihitung, antara lain dengan rumus yang didapat dari buku Bentley [18].

a. **Koreksi**

Koreksi dapat diperoleh dengan persamaan berikut

$$\text{Koreksi} = \text{Pembacaan standard-Pembacaan alat} \quad (2.7)$$

b. **Standard deviasi**

$$\sigma = \frac{\sqrt{\sum(D_i - D')^2}}{n-1} \quad (2.8)$$

dimana :

$D_i$  = koreksi alat ukur

$D'$  = rata-rata koreksi

n = Banyak range pengukuran

c. **Analisa Type A, (Ua)**

Pada analisa tipe A ini hasilnya diperoleh dari data pengukuran. Adapun persamaannya adalah sebagai berikut:

$$Ua1 = \frac{\sigma_{maks}}{\sqrt{n}} \quad (2.9)$$

$$Ua2 = \sqrt{\frac{SSR}{n-2}} \quad (2.10)$$

d. **Analisa Type B, (Ub)**

Analisa tipe B ini diperoleh berdasarkan sertifikat kalibrasi atau spesifikasi dari alat ukur. Adapun persamaannya adalah sebagai berikut:

$$Ub1 = \frac{Resolusi/2}{\sqrt{3}} \quad (2.11)$$

Dimana :

SSR = *Sum Square Residual*

$$Ub2 = \frac{a}{k} \quad (2.12)$$

e. **Ketidakpastian Kombinasi (UC)**

Uc merupakan Ketidakpastian kombinasi dari ketidakpastian tipe A dan ketidakpastian tipe B. Adapun persamaan dari ketidakpastian kombinasi adalah:  $UC = \sqrt{Ua1^2 + Ua2^2 + Ub1^2 + Ub2^2}$  (2.13)

f. **Ketidakpastian Diperluas**

Hasil akhir kalibrasi adalah ketidakpastian diperluas sehingga alat ukur tersebut dapat diketahui

ketidakpastiannya melalui *Uexpand*. Persamaan *Uexpand* adalah:

$$Uexpand = k \cdot Uc \quad (2.14)$$

Untuk mencari nilai *k*, maka melihat table t student sesuai dengan *confidence level* 95%. Tabel T *student* dapat dilihat pada gambar 2.14

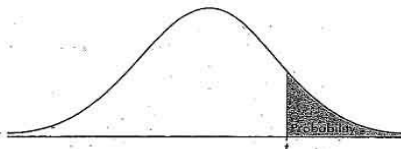


TABLE B: *t*-DISTRIBUTION CRITICAL VALUES

df	Tail probability <i>p</i>											
	.25	.20	.15	.10	.05	.025	.02	.01	.005	.0025	.001	.0005
1	1.000	1.376	1.963	3.078	6.314	12.71	15.89	31.82	63.66	127.3	318.3	636.6
2	.816	1.061	1.386	1.886	2.920	4.503	4.849	6.965	9.925	14.09	22.33	31.60
3	.765	.978	1.250	1.638	2.353	3.182	3.487	4.541	5.841	7.453	10.21	12.92
4	.741	.941	1.190	1.533	2.132	2.776	2.999	3.747	4.604	5.598	7.173	8.610
5	.727	.920	1.156	1.476	2.015	2.571	2.757	3.365	4.032	4.773	5.893	6.869
6	.718	.906	1.134	1.440	1.943	2.447	2.612	3.143	3.707	4.317	5.203	5.959
7	.711	.896	1.119	1.415	1.895	2.365	2.517	2.998	3.499	4.029	4.785	5.408
8	.706	.889	1.108	1.397	1.860	2.306	2.449	2.896	3.355	3.833	4.501	5.041
9	.703	.883	1.104	1.383	1.833	2.262	2.399	2.821	3.250	3.690	4.297	4.781
10	.700	.879	1.093	1.372	1.812	2.228	2.359	2.764	3.169	3.581	4.144	4.587
11	.697	.876	1.088	1.363	1.794	2.201	2.328	2.718	3.106	3.497	4.025	4.437
12	.695	.873	1.083	1.356	1.782	2.179	2.303	2.681	3.055	3.428	3.930	4.318
13	.694	.870	1.079	1.350	1.771	2.160	2.282	2.650	3.012	3.372	3.852	4.221
14	.692	.868	1.076	1.345	1.761	2.145	2.264	2.624	2.977	3.326	3.787	4.140
15	.691	.866	1.074	1.341	1.755	2.131	2.249	2.602	2.947	3.286	3.733	4.073
16	.690	.865	1.071	1.337	1.746	2.120	2.234	2.583	2.921	3.252	3.686	4.015
17	.689	.863	1.069	1.333	1.740	2.110	2.224	2.567	2.894	3.222	3.646	3.965
18	.688	.862	1.067	1.330	1.734	2.101	2.214	2.552	2.878	3.197	3.611	3.922
19	.688	.861	1.066	1.328	1.729	2.093	2.205	2.539	2.861	3.174	3.579	3.883
20	.687	.860	1.064	1.325	1.725	2.086	2.197	2.528	2.845	3.153	3.552	3.850
21	.686	.859	1.063	1.323	1.721	2.080	2.189	2.518	2.831	3.135	3.527	3.819
22	.686	.858	1.061	1.321	1.717	2.074	2.183	2.508	2.819	3.119	3.505	3.792
23	.685	.858	1.060	1.319	1.714	2.069	2.177	2.500	2.807	3.104	3.485	3.768
24	.685	.857	1.059	1.318	1.711	2.064	2.172	2.492	2.797	3.091	3.467	3.745
25	.684	.856	1.057	1.316	1.708	2.060	2.167	2.485	2.787	3.078	3.450	3.725
26	.684	.856	1.058	1.315	1.706	2.056	2.162	2.479	2.779	3.067	3.435	3.707
27	.684	.855	1.057	1.314	1.703	2.052	2.158	2.473	2.771	3.057	3.421	3.690
28	.683	.855	1.056	1.313	1.701	2.048	2.154	2.467	2.763	3.047	3.408	3.674
29	.683	.854	1.055	1.311	1.699	2.045	2.150	2.462	2.756	3.038	3.396	3.659
30	.683	.854	1.055	1.310	1.697	2.042	2.147	2.457	2.750	3.030	3.385	3.646
40	.681	.851	1.056	1.303	1.684	2.021	2.123	2.423	2.704	2.971	3.307	3.551
50	.679	.849	1.047	1.299	1.676	2.009	2.109	2.403	2.678	2.937	3.261	3.494
60	.679	.848	1.045	1.296	1.671	2.000	2.099	2.399	2.660	2.915	3.232	3.460
80	.678	.846	1.043	1.292	1.664	1.990	2.088	2.374	2.639	2.887	3.195	3.416
100	.677	.845	1.042	1.290	1.660	1.984	2.081	2.364	2.626	2.871	3.174	3.390
1000	.675	.842	1.037	1.282	1.646	1.962	2.056	2.330	2.581	2.813	3.098	3.300
$\infty$	.674	.841	1.036	1.282	1.645	1.960	2.054	2.326	2.576	2.807	3.091	3.291
	50%	60%	70%	80%	90%	95%	96%	98%	99%	99.5%	99.8%	99.9%
	Confidence level C											

Gambar 2.14 Tabel T-student

### g. V effektif

$$Veff = \frac{(Uc)4}{\sum(Ui)4} \quad (2.15)$$

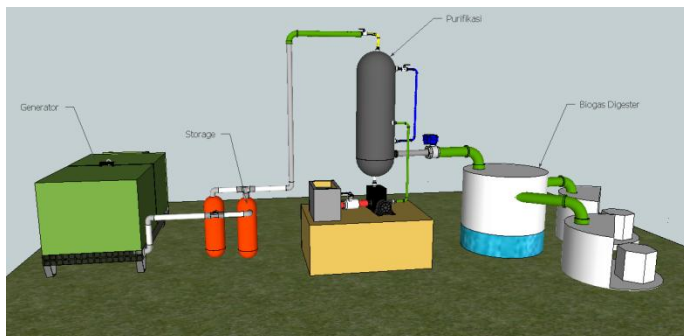
*Halaman ini sengaja dikosongkan*

### BAB III

## PERANCANGAN DAN PEMBUATAN ALAT

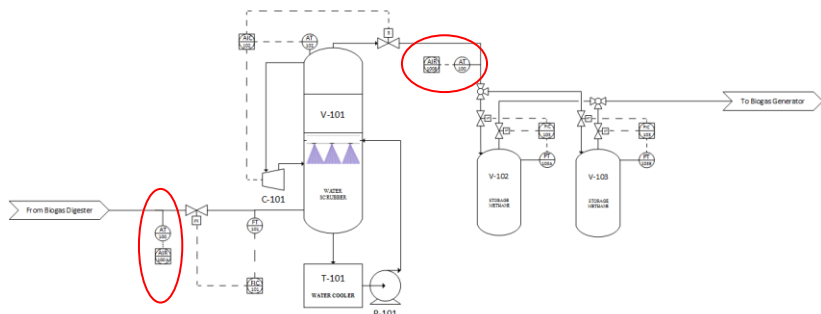
#### 3.1 Plant Purifikasi Biogas Dengan Water Scrubber System

Desain plant purifikasi akan dibuat sedemikian rupa dimana dapat dibuat sesuai dengan disain yang telah dirancang. Berikut ini adalah gambar *Plant Purifikasi Biogas Dengan Water Scrubber System* mulai dari digester sampai masuk ke dalam generator set agar dapat siap digunakan untuk kebutuhan rumah tangga.



Gambar 3.1 Purifikasi biogas Plant

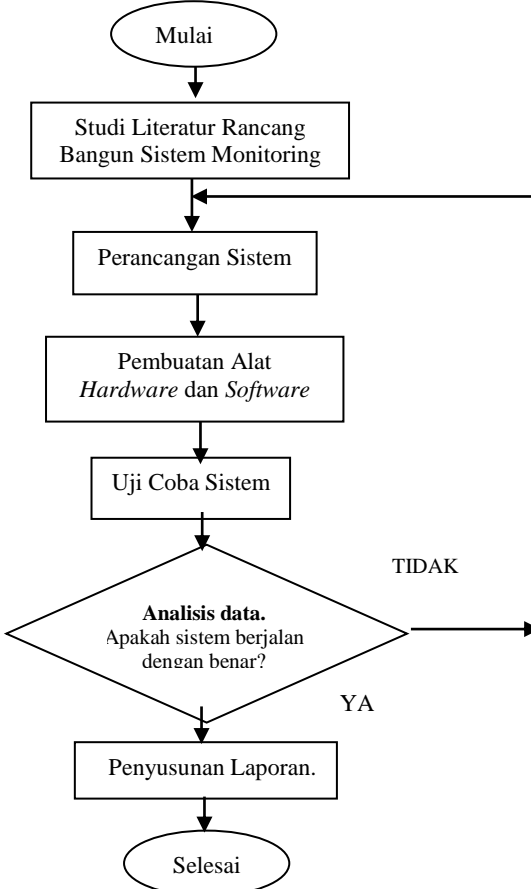
Dari gambar diatas maka dapat dibuat *sebuah piping and instrumentation diagram* pada *plant* purifikasi biogas seperti pada gambar dibawah ini.



Gambar 3.2 P&ID Plant Purifikasi

### 3.2 Diagram Alir (*Flowchart*)

Langkah-langkah perancangan alat ini digambarkan dalam *flowchart* penelitian yang dapat dilihat pada gambar berikut ini :



**Gambar 3.3 Flowchart** Pembuatan Alat Sistem *Monitoring* Kadar CH<sub>4</sub>, CO<sub>2</sub> Dan H<sub>2</sub>S Pada Proses Purifikasi Biogas dengan *Water Scrubber System*

### 3.3 Metodologi Penelitian

Berikut adalah metodologi penelitian dari pembuatan tugas akhir tentang *monitoring* pada input dan output plant purifikasi

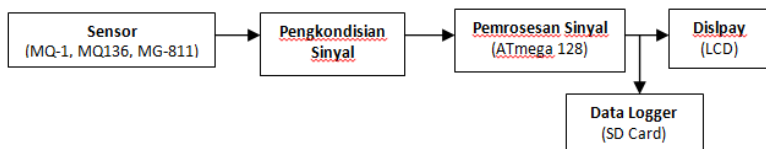
biogas berdasarkan *flowchart* yang sudah direncanakan adalah sebagai berikut :

- **Studi Literatur**

Studi literatur adalah pencarian referensi dan penelitian yang telah dilakukan sebelumnya tentang penggunaan sensor gas, terkait komponen-komponen yang digunakan serta cara pengolahan yang akan dilakukan. Pada studi literatur ini didapatkan hasil bahwa *monitoring* kadar pengotor sangat diperlukan.

### Perancangan Sistem

Pada tugas akhir ini akan merancang sistem monitoring gas yang terkandung pada biogas. Gas tersebut meliputi gas CH<sub>4</sub>, CO<sub>2</sub>, H<sub>2</sub>S.



**Gambar 3.4** Blok Diagram Sistem Monitoring Kadar CH<sub>4</sub>, CO<sub>2</sub> dan H<sub>2</sub>S pada Proses Purifikasi Biogas dengan *Water Scrubber System*

Pada **Gambar3.4** dapat dilihat, ketika sensor mendeteksi adanya gas pada biogas maka sensor akan mengirimkan sinyal berupa tegangan listrik yang kemudian masuk ke pengkondisionan sinyal dan diubah kedata digital agar dapat dikirim ke mikrokontroler. Mikrokontroler berfungsi memproses data untuk ditampilkan pada layar LCD, selain itu mikrokontroler juga berfungsi mengirim data ke *data logger shield* untuk proses pencatatan data. Dimana pada *data logger shield* terpasang memory *SD Card* yang berfungsi sebagai media penyimpan hasil pencatatan data *output* purifikasi biogas. Perangkat lunak yang digunakan adalah *software CAVR* untuk memrogram data.

- 1) Perancangan Sensor *DT sense*

Modul *DT sense gas sensor* digunakan guna mendapatkan hasil pembacaan data sensor yang lebih akurat. Pada Tugas Akhir ini digunakan dua modul *DT sense gas*

*sensor*. Modul *DT sense gas sensor* digunakan untuk masing-masing sensor MQ-4 (metana) dan MG-811 (karbon dioksida). Kedua modul tersebut mempunyai pin SDA dan SCL. Pin SDA dari satu modul diparalel dengan pin SDA lalu disambungkan dengan pin SDA mikrokontroler. Hal yang sama juga berlaku pada pin SCL.

Kedua modul *DT sense gas sensor* memiliki alamat I2C yang sama yaitu 0xE0. Pada sistem *monitoring* gas ini menggunakan 4 sensor gas I2C. berikut ini adalah tabel pembagian pengalamatan untuk I2C.

**Tabel 3.1** Alamat I2C DT-Sense MG811

Sensor	Peletakan Sensor	Pengalamat I2C
	Input	0XE2
	Output	0XE4

Untuk penggantian alamat modul digunakan antar muka UART. Pin TX dan RX yang ada pada modul disambungkan pada pin TX dan RX pada mikrokontroler. Berikut pengaturan komunikasi serial untuk mengganti alamat sensor .

```
// USART1 initialization
// Communication Parameters: 8 Data, 1 Stop, No Parity
// USART1 Receiver: On
// USART1 Transmitter: On
// USART1 Mode: Asynchronous
// USART1 Baud Rate: 9600
UCSR1A=0x00;
UCSR1B=0x18;
UCSR1C=0x06;
```

UBRR1H=0x00;

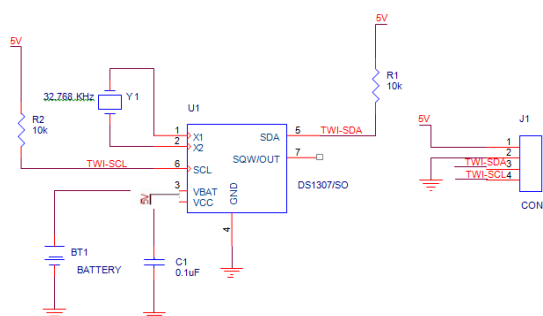
UBRR1L=0x2F;

Sedangkan untuk mengganti alamat sensor digunakan program seperti berikut ini. Alamat *default* dari modul adalah 0xE0 kemudian diganti menjadi 0xE2.

```
while(1)
{
    delay_ms(1000);
    putchar(0x53); //perintah untuk mengubah alamat I2C
    putchar(0xAA); //paramater untuk mengubah alamat I2c
    putchar(0x55); //paramater untuk mengubah alamat I2c
    putchar(0xE2); //alamat baru
    delay_ms(1500);
}
```

## 2) Perancangan *Real Time Clock* DS1307

Pada saat sensor melakukan akuisisi data diperlukan data waktu dan tanggal guna mendukung proses *logging* data. Untuk kebutuhan tersebut, maka dirancanglah sebuah *real time clock*, dengan menggunakan DS1307. DS1307 membutuhkan beberapa komponen pendukung yaitu *crystal*, kapasitor, *battery backup* dan *pull up resistor* guna mendukung kinerjanya. Rangkaian DS1307 berserta komponen-komponen pendukungnya dijelaskan pada Gambar 3.3



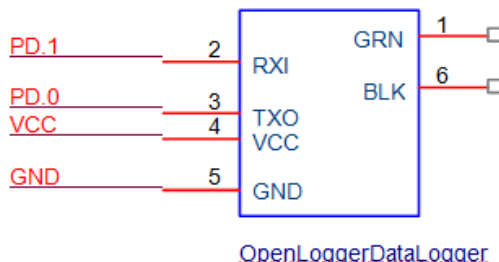
**Gambar 3.5** Rangkaian RTC DS1307

DS1307 menyediakan pin *battery backup* untuk dihubungkan pada baterai lithium 3V atau sumber energi lain sehingga ketika *supply* daya utama mati, *battery backup* mengambil alih *supply* energi pada RTC sehingga DS1307 tetap berjalan.

### 3) Perancangan Data Logger

Untuk keperluan *data logging* maka digunakan *Openlog data logger*. Modul ini mempunyai 6 buah pin yaitu pin RX, TX, VCC, GND, GRN, dan BLK. Namun untuk penggunaan pada Atmega 128 hanya 4 buah pin yang dipakai.

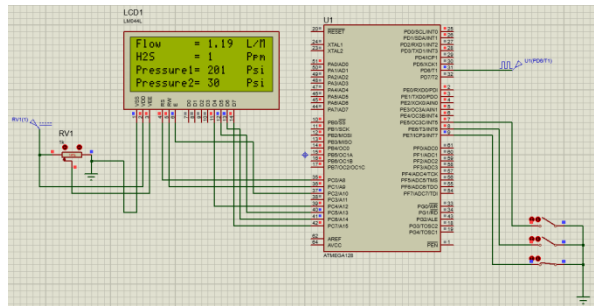
Komunikasi dengan modul ini menggunakan komunikasi serial USART. Untuk itu pin RX pada modul ini disambungkan dengan pin TX mikrokontroler dan pin TX pada modul disambungkan dengan pin RX pada mikrokontroler. Dan yang paling utama, pin GND harus disambungkan pada GND yang sama yang dipakai mikrokontroler guna mendukung komunikasi serial. Berikut ini adalah skematik dari konfigurasi modul *Openlog data logger* dapat dilihat pada Gambar 3.4



**Gambar 3.6 Rangkaian *Openlog data logger***

### 4) Perancangan Tampilan LCD 20x4

Modul LCD (*Liquid Crystal Display*) yang digunakan dalam tugas akhir ini adalah modul LCD yang dapat menampilkan 20x4 karakter, yaitu 20 karakter untuk kolom dan 4 karakter untuk baris.

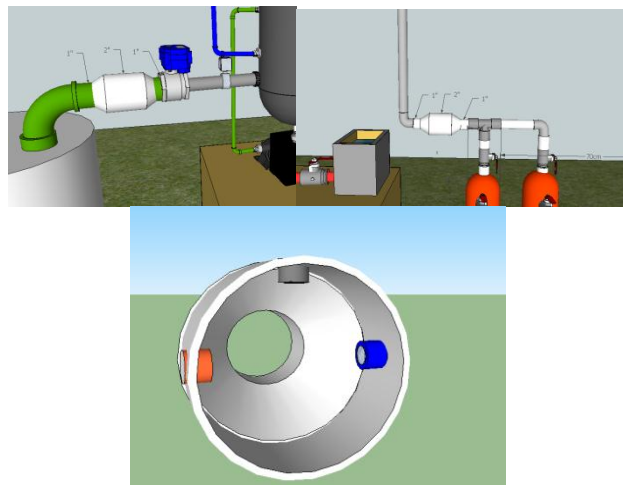


Gambar 3.7 Rangkaian LCD 20x4

Pada gambar rangkaian 3.7 tersebut, kaki-kaki dari rangkaian LCD dihubungkan ke port C mikrokontroler. Pin 1 dihubungkan ke Vcc (5V), pin 2 dan 16 dihubungkan ke Gnd (*Ground*), pin 3 merupakan pengaturan tegangan *Contrast* dari LCD, pin 4 merupakan *Register Select (RS)*, pin 5 merupakan R/W (*Read/Write*), pin 6 merupakan *Enable*, pin 11-14 merupakan data. *Reset*, *enable*, R/W dan data dihubungkan ke mikrokontroller ATMega128. Fungsi dari potensiometer dalam rangkaian tersebut adalah untuk mengatur gelap/terangnya (*brightness*) karakter yang ditampilkan pada LCD. Rangkaian LCD ini digunakan sebagai penampil data *monitoring* kadar CH<sub>4</sub>, CO<sub>2</sub>, dan H<sub>2</sub>S pada input dan output kolom purifikasi

### 5) Perancangan Peletakan Mekanik Alat

Dalam perancangan peletakan sensor pada plant digunakan pipa yang lebih besar yaitu 2" sedangkan pipa aliran utama sebesar 1", hal tersebut dikarenakan agar dapat menghindari gangguan aliran yang terjadi akibat tabrakan dengan sensor. Peletakan sensor juga dibuat pada 1 titik penempatan yang sama agar pembacaan setiap aliran dapat diketahui kandungan gas secara bersamaan.



**Gambar 3.8** Peletakan Sensor pada Plant

Peletakan sensor juga diletakan pada bagian input dan output plant purifikasi agar hasil gas dapat dibandingkan antara sebelum dan sesudah melewati purifikasi, sehingga dapat diketahui tingkat efektifitas plant purifikasi yang telah dibuat.

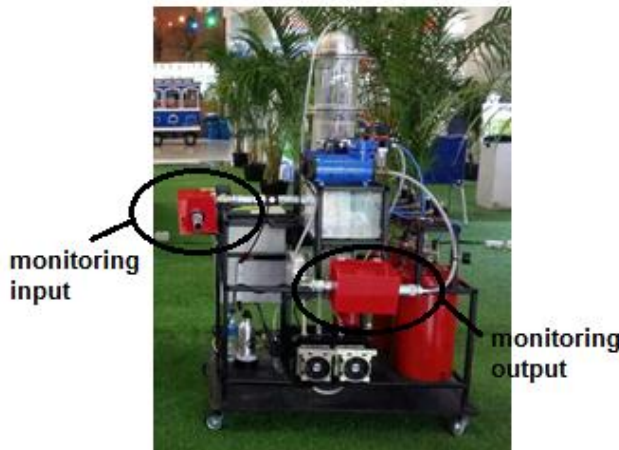
- **Pembuatan Alat**

Perakitan perangkat keras dan pembuatan program dari sistem monitoring dan penyimpanan data. Pada tahap ini dilakukan pemasangan rangkaian dengan sensor. Sensor yang terpasang kemudian dihubungkan dengan mikrokontroler kemudian *display* hasil pembacaan sensor dengan menggunakan LCD.

Pada tahap pembuatan alat ini akan dibagi menjadi 2 bagian, yaitu pembuatan *hardware* alat dan pembuatan *software* alat. Untuk pembuatan *hardware* terdiri dari pembuatan elektik dan mekanik pada alat, sedangkan pembuatan *software* berisi langkah-langkah cara memrogram mikrokontroler agar sistem monitoring dapat berjalan sesuai dengan yang diinginkan.

a. Pembuatan *Hardware* Alat

Pada pembuat alat akan dibuat sesuai dengan perancangan disain yang telah dibuat.

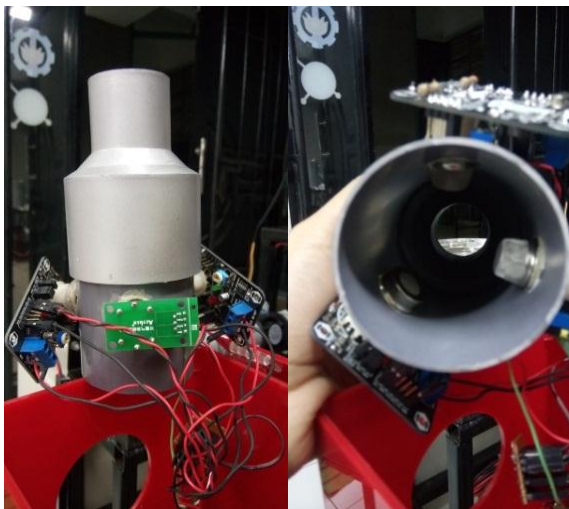


**Gambar 3.9** Plant Purifikasi Biogas

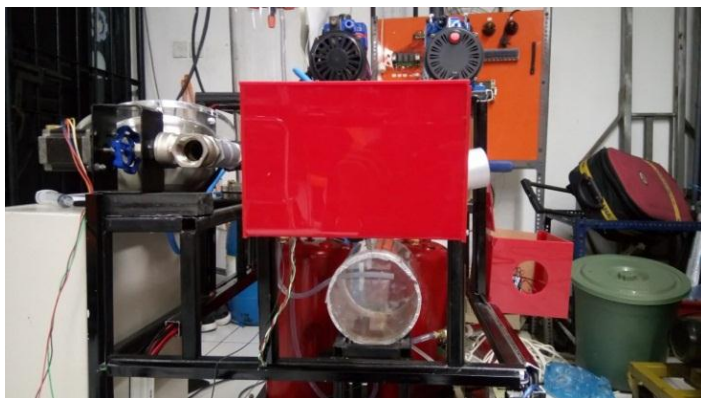
Sistem monitoring akan diproses oleh pemrosesan sinyal menggunakan ATmega 128. Berikut ini adalah port yang akan disambungkan dari beberapa komponen yang digunakan ke ATmega 128.

**Tabel 3.2** Alokasi Port yang digunakan

No.	Port	Fungsi
1.	PortC	LCD
2.	PortD.0	SCL (TWI RTC)
3.	PortD.1	SDA (TWI RTC)
4.	PortE.0	RX (SDCard)
5.	PortE.1	TX (SDCard)
6.	PortE.2	SDA (Sensor Gas)
7.	PortE.3	SCL (Sensor Gas)
8.	PortF.2	Sensor H2S (Input)
9.	PortF.3	Sensor H2S (Output)
10.	PortF4	Sensor CH4 (Input)
11.	PortF5	Sensor CH4 (Output)



**Gambar 3.10** Realisasi Peletakan Sensor



**Gambar 3.11** Packaging Sensor

b. Pembuatan *Software* Alat

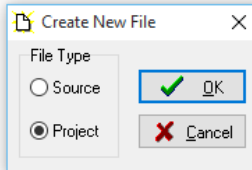
Tahap pembuatan software alat meliputi cara mengkonfigurasi seluruh komponen agar dapat dikontrol dengan ATmega 128. Kemudian untuk pemrograman menggunakan *software* *Code Vision AVR* dilakukan dengan langkah-langkah sebagai berikut:

- 1) *Software Code Vision AVR* dibuka.



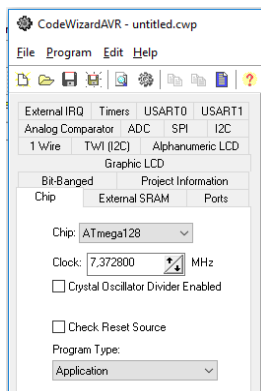
**Gambar 3.12 Open Software**

- 2) *File* dipilih, kemudian *New* dipilih. Kemudian akan muncul gambar seperti dibawah ini.



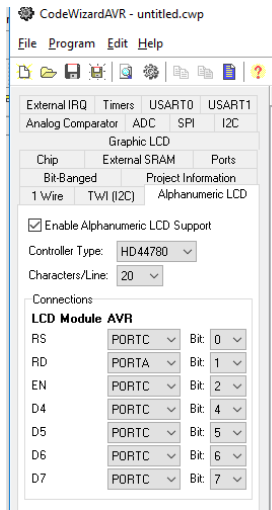
**Gambar 3.13 Create New File**

- 3) Pada *File Type*, *Project* dipilih, kemudian *OK* dipilih.  
 4) Pada *Chip*, ATmega128 dipilih dan pada frekuensi *clock* diisi seperti gambar 3.14



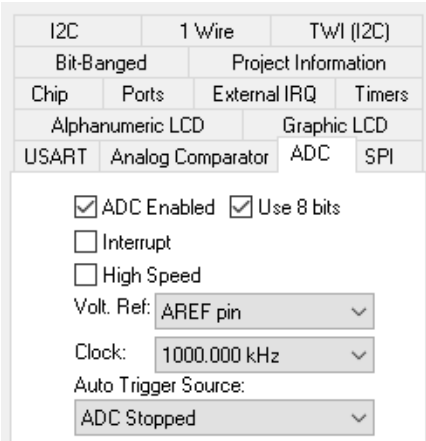
**Gambar 3.14 Chip** pada *Code Vision AVR*

- 6) Pada *Alphanumeric LCD*, *Enable Alphanumeric LCD Support* dipilih, kemudian pada *Characters/Line* dipilih 20, dan pada *LCD Module AVR* dipilih *PORTC*.



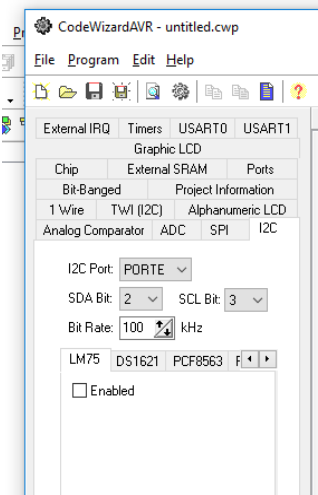
**Gambar 3.15** *Alphanumeric LCD* pada *Code Vision*

- 7) Pada *ADC*, *ADC Enable* dipilih dan *Use 8 bits* dipilih.



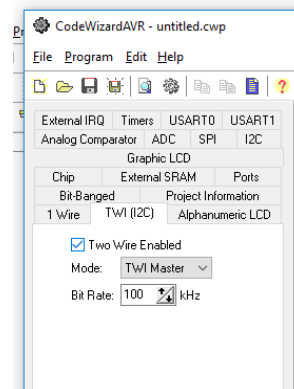
**Gambar 3.16** *ADC* pada *Code Vision AVR*

- 8) Konfigurasi *I2C*, digunakan untuk membaca data dari modul sensor gas dengan menggunakan komunikasi *I2C*.



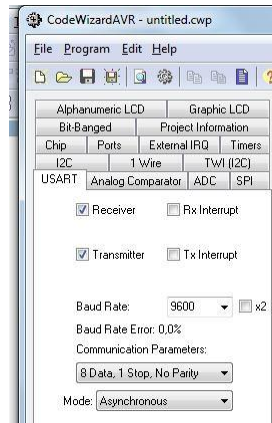
**Gambar 3.17** *I2C* pada *Code Vision AVR*

- 9) Pada *TWI (I2C)*, konfigurasi komunikasi *TWI* digunakan untuk *Real Time Clock* pada CVAVR dapat dilihat pada Gambar 3.18.



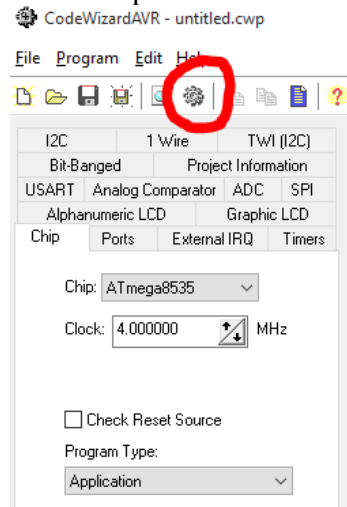
**Gambar 3.18** Konfigurasi *TWI* untuk RTC DS1307

- 10) Konfigurasi USART, untuk melakukan pengiriman data datalogger menggunakan konfigurasi USART pada CVAVR yang ditunjukkan seperti pada Gambar 3.19



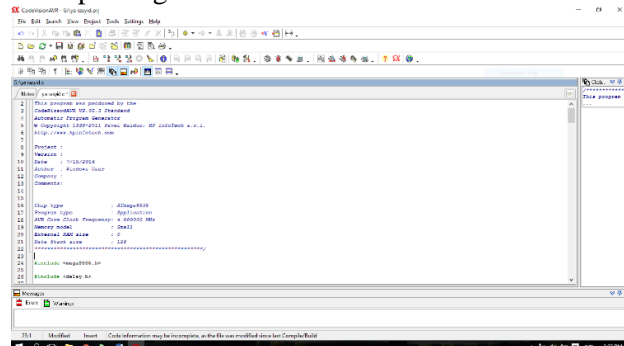
Gambar 3.19 Konfigurasi USART

- 11) Kemudian tombol seperti dibawah ini dipilih.



Gambar 3.20 Tombol *Generate*

- 12) Setelah itu akan muncul program yang telah diatur dan pemrograman bisa dilakukan.



Gambar 3.21 Tampilan Awal Program

Setelah melakukan konfigurasi pada *software* CAVAR selanjutnya akan melakukan pemrograman untuk komponen yang akan digunakan.

### a. Pemrograman Sensor

Cara agar dapat membaca data dari modul sensor gas adalah dengan menggunakan komunikasi I2C. Berikut ini perintah untuk membaca data dari modul sensor gas metana dan karbon dioksida pada input dan output plant purifikasi biogas.

```
//Co2 input
i2c_start(); // Start Condition
i2c_write(0xE6); // Write to DT-SENSE module
i2c_write(0x41); // "Read Sensor" Command
i2c_stop(); // Stop Condition
delay_us(10); // 10 us delay
i2c_start(); // Start Condition
i2c_write(0xE7); // Read from DT-SENSE module
temp3a = i2c_read(1); // Data Sensor MSB
temp3b = i2c_read(0); // Data Sensor LSB
i2c_stop(); // Stop Condition
sensor3 = (temp3a * 256) + temp3b ;
itoa(sensor3,tampil3);
```

```

delay_ms(10);

//Co2 output
i2c_start(); // Start Condition
i2c_write(0xE4); // Write to DT-SENSE module
i2c_write(0x41); // "Read Sensor" Command
i2c_stop(); // Stop Condition
delay_us(10); // 10 us delay
i2c_start(); // Start Condition
i2c_write(0xE5); // Read from DT-SENSE module
temp4a = i2c_read(1); // Data Sensor MSB
temp4b = i2c_read(0); // Data Sensor LSB
i2c_stop(); // Stop Condition
sensor4 = (temp4a * 256) + temp4b ;
itoa(sensor4,tampil4);
delay_ms(10);

```

### **b. Pemrograman RTC (*Real Time Clock*)**

konfigurasi akses data pada *real time clock* dengan TWI sudah bisa memanfaatkan *library* dari *ds1307\_twi.h*. Dari *library* tersebut sudah disediakan fungsi-fungsi yang dibutuhkan untuk membaca data dari *real time clock*.

Agar dapat dipakai, terlebih dahulu harus dilakukan inisialisasi awal berupa pengaturan jam dan tanggal yang sesuai, lalu *download* program ke mikrokontroler. Setelah sudah diberikan inisialisasi awal maka baris program pengaturan jam dan tanggal dapat dihilangkan kemudian *download* program lagi ke mikrokontroler. Berikut baris program untuk melakukan inisialisasi awal.

```

rtc_set_time(06,56,00); //set time
rtc_set_date(0,11,06,17); //set date

```

Jika inisialisasi awal sudah dilakukan, maka untuk membaca data dapat dilakukan dengan fungsi yang sudah disediakan oleh *library* TWI. Berikut menunjukkan baris perintah untuk membaca dari RTC.

```

//jam dan menit
rtc_get_time(&h,&m,&s);

```

```

rtc_get_date(0,&dd,&mm,&yy);
sprintf(buf0,"Jam : %02d:%02d.%02d",h,m,s);
lcd_gotoxy(0,2);
lcd_puts(buf0);

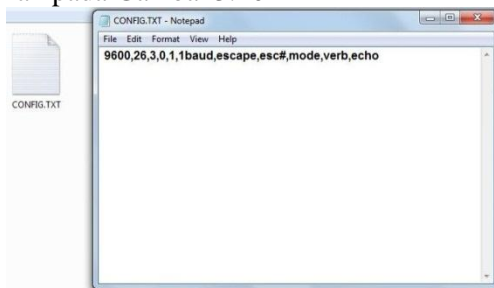
//tanggal dan bulan
rtc_get_date(0,&dd,&mm,&yy);
sprintf(buf1,"Date:%02d:%02d:%02d",dd,mm,yy);
//+2000;
lcd_gotoxy(0,3);
lcd_puts(buf1);

```

### c. Pembuatan Data Logger

Modul *Openlog* dapat diatur konfigurasinya dengan mengubah isi file CONFIG.TXT yang terdapat pada *memory card* yang sebelumnya sudah dimasukkan ke dalam modul *Openlog* yang sudah diberi catu daya. Konfigurasi yang diubah disesuaikan dengan kebutuhan penggeraan Tugas Akhir. Konfigurasi yang diubah adalah penggunaan mode *Sequential Log*.

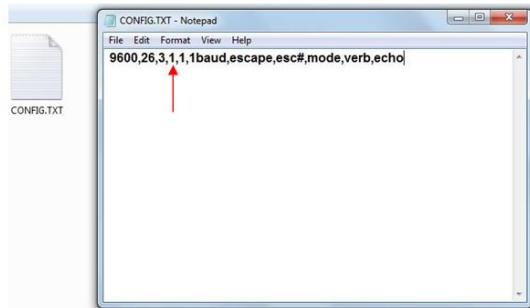
Untuk dapat mengubah konfigurasi ke mode *Sequential Log* maka masukkan *memory card* pada computer dan buka file *CONFIG.TXT* yang ada pada *memory card* dengan notepad. Setelah itu akan muncul serangkaian baris kode perintah seperti yang ditunjukkan pada Gambar 3.20



**Gambar 3.22 Pengaturan CONFIG.TXT**

Setiap 1 jenis konfigurasi dibatasi dengan tanda “ , ” (koma). Konfigurasi *Sequential Log* didapatkan dengan cara mengubah angka secara manual dengan keyboard pada konfigurasi keempat

atau setelah tanda koma ketiga. Ubah angka 0 (nol) menjadi 1 (satu) seperti yang ditunjukkan pada Gambar 3.21 Setelah konfigurasi selesai, tekan CTRL+S untuk menyimpan perubahan. Setelah itu keluar dari program notepad dan lakukan *safely remove* pada *memory card*.



**Gambar 3.23 Konfigurasi Sequential Log**

Jika proses tersebut sudah dilakukan, maka masukkan lagi *memory card* pada *OpenLog* dan berikan catu daya. Setelah itu, *led* pada *Openlog* akan berkedip selama beberapa kali, yang menandakan proses konfigurasi berhasil dilakukan. Kemudian, untuk memeriksa apakah konfigurasi berhasil maka matikan lagi catu daya *OpenLog*. Ambil *memory card* dan masukkan lagi ke dalam komputer. Jika proses konfigurasi berhasil, maka akan ada dua file .*txt* yaitu *SEQLOG00.TXT* dan *CONFIG.TXT*.

Berikut ini barisan program yang mengirimkan data pembacaan sensor-sensor, serta data jam dan tanggal.

```
//send Data ke Data Logger
printf("%02i:%02i:%02i",h,m,s); //jam
delay_ms(10);
printf(",");
printf("%02i:%02i:%02i",dd,mm,yy); //Tanggal
delay_ms(10);
printf(",");
printf("%i",sensor1); //CH4 Input
delay_ms(10);
```

```
printf(",");
printf("%i",sensor2); //CH4 Output
delay_ms(10);
printf(",");
printf("%i",H2S2); //H2S Input
delay_ms(10);
printf(",");
printf("%i",H2S3); //H2S Output
delay_ms(10);
printf(",");
printf("%i",sensor3); //CO2 Input
delay_ms(10);
printf(",");
printf("%i",sensor4); //CO2 Output
delay_ms(10);
printf(",");
printf("%02d",freq); //Flow
delay_ms(10);
printf(",");
printf("%i",H2S1); //H2S Control
delay_ms(10);
printf(",");
printf("%i",tekanan1); //tekanan 1
delay_ms(10);
printf(",");
printf("%i",tekanan2); //tekanan 2
printf("\n");
}
```

Kemudian, untuk pengiriman antar data memerlukan *delay* sebesar 10 ms. Hal ini merupakan pengaturan yang disarankan oleh pabrikan modul jika mode *Sequential Log* digunakan. Data yang disimpan pada *memory SDCard* adalah semua data variable yang telah diukur maupun yang di *control*.

- **Uji Coba Alat**

Pengujian uji coba alat diuji dengan cara membandingkan nilai pada alat ukur standar dengan alat ukur yang telah dibuat.

Pada tahap ini sensor MQ-1, MQ-136 dan MG811 akan dibandingkan dengan alat ukur yang standar yang telah dipinjam dari Perusahaan Gas Negara (PGN) Surabaya.

**a. Sensor Gas Metane (MQ-4)**

Pengujian sensor gas metan menggunakan alat ukur LMM (Laser Methane Mini). Dari sample biogas yang diletakan pada ban mobil akan diukur dengan alat standard dan alat uji dan kemudian membandingkan pembacaan dari 2 alat tersebut. Dibawah ini adalah proses uji coba sensor MQ-4.



Gambar 3.24 Uji Coba Sensor MQ-4

**b. Sensor Gas H2S (MQ-136)**

Pengujian sensor gas H2S menggunakan alat ukur Gas-Pro. Sample pada pengujian sensor MQ-136 menggunakan serbuk sulfur yang dibakar. Hasil uji coba alat dengan cara membandingkan alat standar dan alat uji. Dibawah ini adalah proses uji coba sensor MQ-136.



**Gambar 3.25 Uji Coba Sensor MQ-136**

**c. Sensor Gas Karbon dioksida (MG-811)**

Pengujian sensor dengan cara membandingkan alat kalibrator yang berada di Perusahaan Gas Negara Surabaya dengan pembacaan alat ukur yang diuji. Sample yang digunakan untuk pengujian sensor MG-811 adalah dengan menggunakan *baking soda* yang ditetesi oleh air cuka atau bisa juga dengan menggunakan cara ditiup.



**Gambar 3.26 Uji Coba Sensor MG-811**

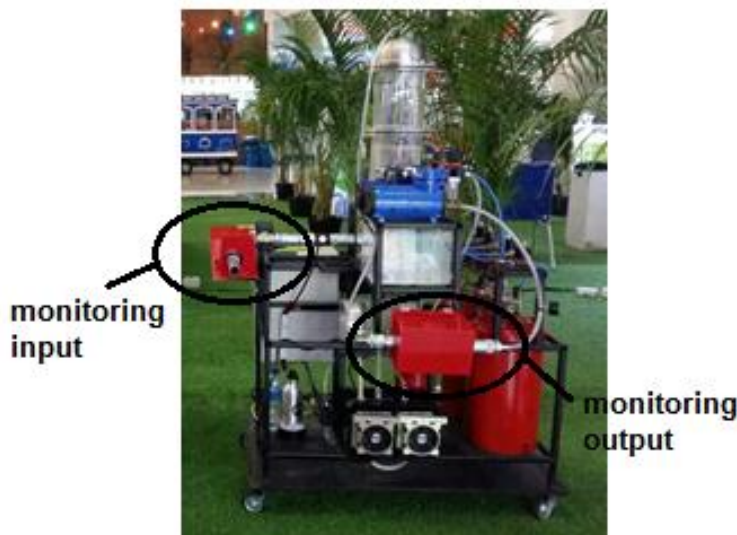
*Halaman ini sengaja dikosongkan.*

## BAB IV

### HASIL DATA DAN PEMBAHASAN

#### 4.1 Hasil Rancang Bangun Alat

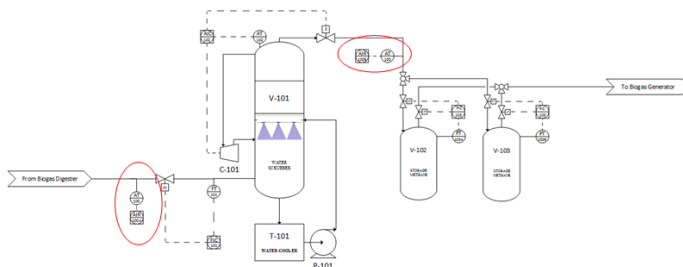
Berikut ini adalah perancangan sistem monitoring gas CH<sub>4</sub>, CO<sub>2</sub>, H<sub>2</sub>S pada purifikasi biogas berbasis ATMega128.



**Gambar 4.1** Purification System Plant

Untuk mengetahui apakah kerja system purifikasi ini efektif atau tidak, dapat dilihat dari perbandingan nilai kandungan gas yang terdapat pada inlet dan outlet purifikasi biogas. Pada proses Sistem Monitoring Kadar CH<sub>4</sub>, CO<sub>2</sub> Dan H<sub>2</sub>S Pada Proses Purifikasi Biogas Dengan Water Scrubber System ini digunakan 6 buah sensor dengan 3 jenis sensor yang berbeda. Sensor yang digunakan pada adalah *sensor* MQ-4, MQ-136 dan MG-811 yang mempunyai nilai karakteristik yang berbeda-beda.

Pada sistem ini juga dilengkapi dengan RTC(real time clock) yang berfungsi untuk menampilkan waktu yang sebenarnya, openlog datalogger yang digunakan untuk penyimpanan data ke memory SDCard dan LCD sebagai *indicator* penampil data.



**Gambar 4.2 Penempatan Sistem Monitoring**

Sebelum memasuki sistem purifikasi maka, dilakukan beberapa pengendalian yang dilakukan untuk mengurangi kadar pengotor pada biogas diantaranya adalah pengendalian flow pada inlet kolom purifikasi dan pengendalian kadar H<sub>2</sub>S pada kolom purifikasi. Setelah melewati kedua proses pengendalian tersebut maka aliran yang keluar dari kolom purifikasi di monitoring untuk menentukan keberhasilan dari kerja kolom purifikasi dan hasil dari pengendalian tersebut.

Dari hasil monitoring yang sudah dilakukan pada inlet dan out let kolom purifikasi ini didapatkan nilai bahwa kandungan gas CH<sub>4</sub> meningkat. Berikut adalah hasil monitoring yang telah dilakukan :

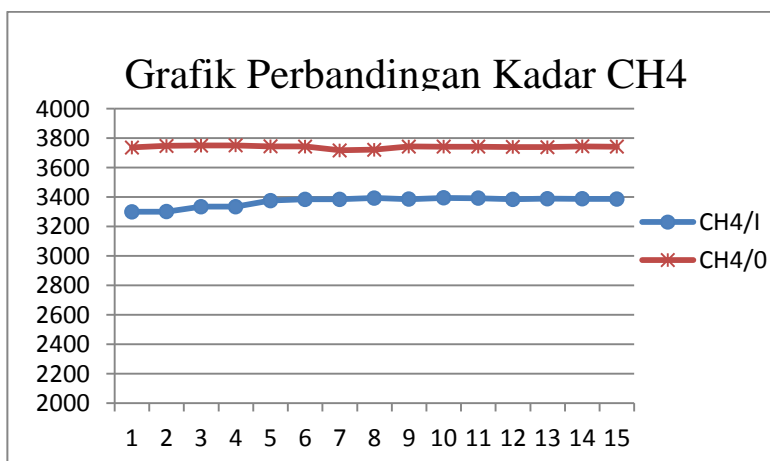
**Tabel 4.1 Hasil Monitoring Purifikasi Biogas**

No.	CH4/I	CH4/O	H2S/I	H2S/O	CO2/I	CO2/O
1	3300	3737	34.06	2.05	1512	1420
2	3301	3748	33.08	1.59	1527	1412
3	3334	3750	33.04	1.12	1513	1423
4	3335	3751	31.08	1.05	1522	1440
5	3376	3744	30.03	0.95	1526	1440
6	3385	3743	27.02	3.91	1533	1412
7	3385	3717	26.04	0.88	1534	1412
8	3393	3722	24.08	1.93	1534	1412
9	3386	3743	23.07	1.97	1551	1442

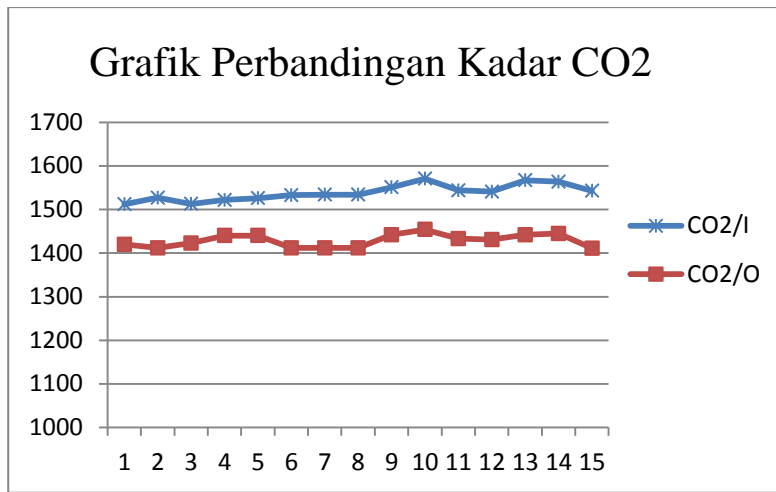
**Tabel 4.1** Hasil *Monitoring* Purifikasi Biogas (Lanjutan)

No.	<b>CH4/I</b>	<b>CH4/O</b>	<b>H2S/I</b>	<b>H2S/O</b>	<b>CO2/I</b>	<b>CO2/O</b>
10	3394	3742	22.09	1.12	1571	1454
11	3392	3742	21.07	1.23	1544	1433
12	3384	3740	28.02	1.39	1541	1431
13	3389	3739	27.01	1.64	1567	1442
14	3388	3744	25.09	2.18	1564	1445
15	3387	3742	22.06	1.23	1543	1411

Dari hasil pengukuran tersebut dapat dilihat hasil grafik dari setiap *variable* gas yang telah diukur. Dibawah ini adalah grafik hasil monitoring input dan output system purifikasi biogas yang telah dilakukan :

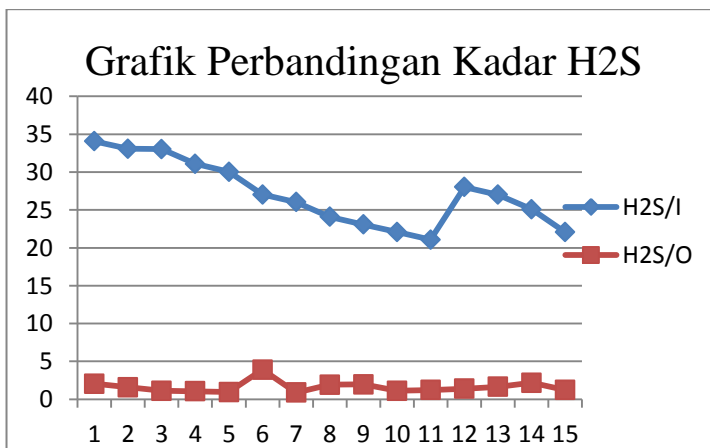
**Gambar 4.3** Grafik Kadar CH4

Dapat dilihat bahwa nilai kadar gas CH4 pada output purifikasi terjadi kenaikan ppm sebesar 27.15%. Peningkatan nilai konsentrasi CH4 terjadi setelah melewati kolom purifikasi.



**Gambar 4.4** Grafik Kadar CO<sub>2</sub>

Dapat dilihat pada Gambar 4.4 bahwa nilai kadar gas CO<sub>2</sub> pada output purifikasi terjadi penurunan. Besarnya penurunan ini sebanyak 7.16% . Dibawah ini adalah grafik perbandingan sebelum dan sesudah kolom purifikasi pada gas H<sub>2</sub>S terjadi penurunan sebear 94.04%.



### Gambar 4.5 Grafik Kadar H2S

#### 4.2 Hasil Pengujian Alat

Setelah melakukan pengujian alat yang telah dijelaskan pada bab sebelumnya, berikut ini merupakan hasil dari pengujian alat.

- **Hasil Sensor CH<sub>4</sub>**

Untuk mendapatkan hasil nilai ppm diperlukan pengambilan nilai RO yang merupakan nilai RS pada konsentrasi gas metana sebesar 1000 ppm. RS dapat dicari menggunakan rumus seperti berikut :

$$RS = \left( \frac{5}{VRL} - 1 \right) \times RL \quad (4.1)$$

Keterangan :

RS = Resistansi Sensor

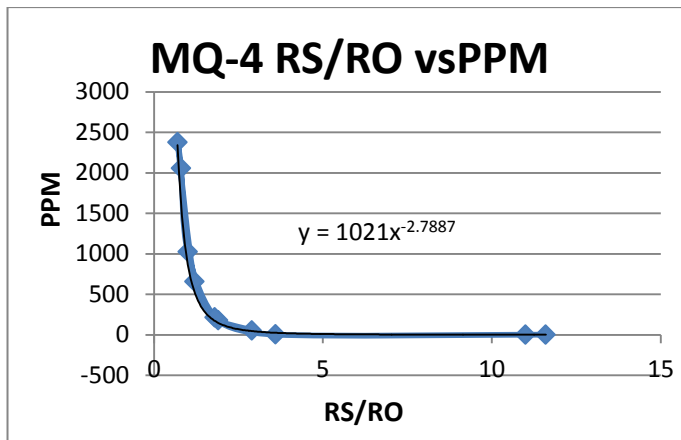
VRL = Tegangan Sensor

RL = *Load resistance (adjustable)*

Didapatkan nilai RO = 10 dengan RL = 4.7. Nilai PPM didapatkan dengan cara menghitung persamaan regresi dari nilai RS/RO dengan PPM. Berikut ini adalah tabel pengambilan data, RS/RO didapatkan dari pembacaan alat dan PPM standar adalah nilai PPM pada kalibrator.

**Tabel 4.2** Data Hasil Pengujian Sensor MQ-4

No.	RS/RO	PPM Std
1.	11.6	1.8
2.	11.0	1.7
3.	3.6	2.9
4.	1.9	177.9
5.	1.0	1022.7
6.	0.8	2055.2
7.	0.7	2376.7
8.	1.2	657.3
9.	1.8	215.5
10.	2.9	53.2

**Gambar 4.6** Grafik RS/RO vs PPM

Hasil nilai persamaan regresi yang telah didapatkan, konsentrasi nilai sensor gas MQ-4 dapat dicari dengan rumus sebagai berikut:

$$PPM = 1021 \left( \frac{RS}{RO} \right)^{-2.7887} \quad (4.2)$$

Dari hasil perhitungan diatas didapatkan data perbandingan antara PPM MQ-4 dengan PPM alat standart adalah sebagai berikut:

**Tabel 4.3** Pengambilan data sensor MQ-4

NO.	RS	RO	RS/RO	PPM	PPM Std
1.	125.24	10	12.52	0.88	0.9
2.	121.82	10	12.18	0.95	1.2
3.	107.11	10	10.71	1.37	1.5
4.	60.27	10	6.02	6.81	6
5.	59.4	10	5.94	7.09	6
6.	40.65	10	4.06	20.42	20.3
7.	39.01	10	3.90	22.93	22.2
8.	38.61	10	3.86	23.58	24.0
9.	14.3	10	1.43	376.24	367.3

**Tabel 4.3** Pengambilan data sensor MQ-4 (Lanjutan)

<b>NO.</b>	<b>RS</b>	<b>RO</b>	<b>RS/RO</b>	<b>PPM</b>	<b>PPM Std</b>
10.	10.09	10	1.009	994.6	1000
11.	10.04	10	1.004	1007.24	1012.5
12.	5.66	10	0.566	4987.21	5017
13.	5.64	10	0.564	5042.35	5210.7

Untuk mengetahui pembacaan konsentrasi gas pada alat yang telah dibuat sudah benar maka karakteristik sensor dibandingkan dengan karakteristik sensitivitas yang terdapat pada datasheet sesuai pada tabel 4.4 berikut ini.

**Tabel 4.4** Karakteristik Sensitivitas Sensor MQ-4

Symbol	Parameter name	Technical parameter
Rs	Sensing Resistance	10K $\Omega$ - 60K $\Omega$ (1000ppm CH <sub>4</sub> )
$\alpha$ (1000ppm/ 5000ppm CH <sub>4</sub> )	Concentration slope rate	$\leq 0.6$

*Sensing Resistance :*

$$RS_{1000\text{ppm}} = 10.04$$

*Concentration slope rate :*

$$RS(1000 \text{ ppm}) / RS(5000 \text{ ppm CH}_4) < 0.6$$

$$((10.04 \text{ k}\Omega) / 5.64 \text{ k}\Omega) < 0.6$$

$$0.56 < 0.6$$

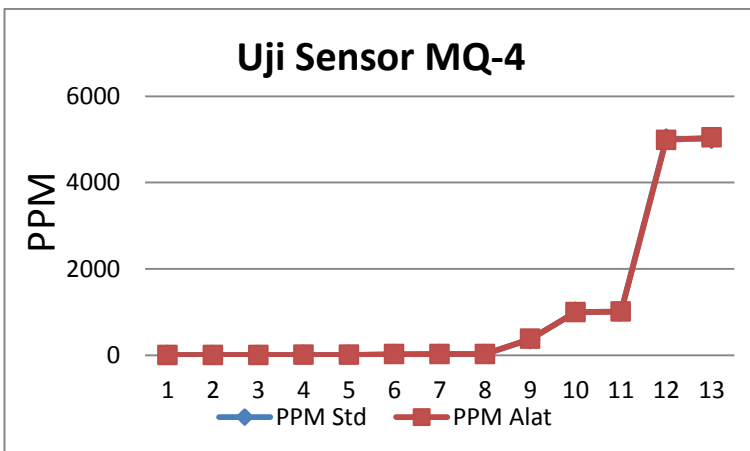
**Tabel 4.5** Perbandingan MQ-4 dengan Standar

<b>No.</b>	<b>PPM</b>	<b>PPM Std</b>	<b>Koreksi</b>
1.	0.88	0.9	0.02
2.	0.95	1.2	0.25
3.	1.37	1.5	0.13
4.	6.81	6	-0.81
5.	7.09	6	-1.09

**Tabel 4.5** Perbandingan MQ4 dengan Standar (Lanjutan)

No.	PPM Alat	PPM Std	Koreksi
6.	20.42	21.3	0.88
7.	25.93	25.2	-0.73
8.	23.58	24.0	0.42
9.	366.24	367.3	1.06
10.	997.6	1000	2.40
11.	1010.24	1012.5	2.26
12.	5015.21	5017	1.79
13.	5012.35	5010.7	-1.65
$\Sigma$	12488.67	12493.6	4.93
Rata-Rata	960.67	961.04	0.25

Dari hasil pengukuran tersebut dapat dilihat hasil grafik dari perbandingan nilai alat uji dan alat standart. Dibawah ini adalah grafik hasil pengujian MQ-4 yang telah dilakukan :

**Gambar 4.7** Grafik Uji Sensor MQ-4

Dari gambar 4.7 dapat dilihat bahwa pembacaan alat sudah mendekati dengan standar. Namun masih terdapat beberapa titik yang masih terdapat *error* pembacaan. Berdasarkan data yang

telah didapatkan dari pengujian alat, maka dapat diperoleh nilai karakteristik static dari alat ukur kadar gas CH<sub>4</sub> sebagai berikut:

- Range : 0 – 10.000 ppm
- Span : 10.000
- Resolusi : 0.01
- Sensitivitas : 0,258 mV/ppm
- Non-linieritas : 0.02 %
- Akurasi : 0.29%

Berikut ini hasil perhitungan nilai karakteristik statik kadar gas CH<sub>4</sub> berdasarkan data pada tabel 4.5 yang dihitung menggunakan rumus persamaan pada BAB II [18] :

- Sensitivitas =  $\frac{\Delta Output}{\Delta Input} = \frac{(2580-0)mV}{(10000-0)ppm} = 0,258mV/ppm$
- Non-linieritas  
 $O_{Ideal} = KI + \alpha$   
Dengan K adalah kemiringan garis:

$$\begin{aligned} K &= \frac{O_{max} - O_{min}}{I_{max} - I_{min}} \\ &= \frac{5012.35 - 0.88}{5010.7 - 0.9} \\ &= 1.0003 \end{aligned}$$

Dan  $\alpha$  adalah pembuat nol (*zero bias*):

$$\begin{aligned} \alpha &= O_{min} - KI_{min} \\ &= 0.88 - (1.0003 \times 0.9) \\ &= -0.0203 \end{aligned}$$

Sehingga didapatkan nilai Non-linieritas:

$$\begin{aligned} N &= \frac{[O - KI + \alpha]_{max}}{O_{max} - O_{min}} \times 100\% \\ &= \frac{1.108}{5012.35 - 0.88} \times 100\% \\ &= 0.02 \% \end{aligned}$$

- Akurasi

$$\text{Akurasi} = \frac{(100\%)}{n} \sum_{t=1}^n \frac{|X_t - F_t|}{X_t}$$

dengan

$X_t$  = Nilai pembacaan standart (PPM)

$F_t$  = Nilai pembacaan alat (PPM)

n = Jumlah data

$$\begin{aligned}\text{Akurasi} &= \frac{(100\%)}{13} \sum_{t=1}^n 0.037 \\ &= 0.29\%\end{aligned}$$

Nilai akurasi berarti ketakakuratan (*inaccuracy*), yaitu selisih maksimum antara nilai keluaran sensor dari nilai masukan ideal/sesungguhnya (*actual input*). Nilai akurasi ini diperoleh dengan menggunakan persamaan MAPE (*Mean Absolute Percentage Error*) yaitu salah satu metode yang dapat digunakan untuk menghitung validasi.

Berikut ini merupakan hasil pengukuran kalibrasi untuk mencari nilai ketidakpastian alat ukur, dimana kalibrasi dilakukan di ruangan terbuka:

- Nilai Ketidakpastian Type A:

$$\begin{aligned}\sigma (\text{Standar Deviasi}) &= \sqrt{\frac{\sum (y_i - \bar{y})^2}{n-1}} \\ \sigma &= 1.28\end{aligned}$$

Sehingga nilai ketidakpastian hasil pengukuran:

$$U_{a1} = \frac{\sigma}{\sqrt{n}}$$

$$U_{a1} = \frac{1.28}{\sqrt{13}} = 0.35$$

$$\text{Sedangkan nilai ketidakpastian regresi } U_{a2} = \sqrt{\frac{SSR}{n-2}}$$

Dimana:

$$Y_{reg} = a + (b \cdot xi)$$

$$a = \frac{(\sum x_i^2)(\sum y_i) - (\sum x_i)(\sum x_i y_i)}{n \cdot \sum x_i^2 - (\sum x_i)^2} = 0.35$$

$$b = \frac{n \cdot \sum x_i y_i - \sum x_i \sum y_i}{n \cdot \sum x_i^2 - (\sum x_i)^2} = 0.000026$$

Dimana:

$xi$  = Pemb. standar,

$yi$  = Nilai koreksi,

$n$  = Jumlah data

$$SSR = \sum (y_i - Y_{reg})^2 = 2040.73$$

Sehingga menghasilkan nilai SSR =

$$U_{a2} = \sqrt{\frac{SSR}{n-2}} = \sqrt{\frac{19.43}{13-2}} = 1.32$$

b. Nilai Ketidakpastian Type B:

Pada tipe ini terdapat 2 parameter ketidakpastian, yaitu ketidakpastian Resolusi ( $U_{b1}$ ) dan Ketidakpastian alat standar *pressure gauge* ( $U_{b2}$ ). Dengan perhitungan sebagai berikut:

$$U_{b1} = \frac{\frac{1}{2}x \text{ Resolusi}}{\sqrt{3}} = \frac{\frac{1}{2}x 0,01}{\sqrt{3}} = 0.0029$$

$U_{b2} = \frac{a}{k}$  dikarenakan pada alat standar tidak ada sertifikat kalibrasinya maka nilai a (ketidakpastian sertifikat kalibrasi) dianggap mendekati 0, dan nilai faktor cakupan dianggap 2,0. Sehingga hasil :  $U_{b2} = 0$

c. Nilai Ketidakpastian Kombinasi  $U_c$

$$U_c = \sqrt{U_{a1}^2 + U_{a2}^2 + U_{b1}^2 + U_{b2}^2}$$

$$U_c = \sqrt{(0.35)^2 + 1.32^2 + 0.0029^2 + 0^2}$$

$$U_c = 1.37$$

Dengan kondisi V atau derajat kebebasan dari kedua tipe ketidakpastian,  $V = n-1$ , sehingga :

$V_1 = 12$ ;  $V_2 = 12$ ;  $V_3 = \infty$ ;  $V_4 = 60$  (berdasarkan table *T-Student*)

Dengan nilai  $V_{eff}$  (Nilai derajat kebebasan effektif) sebagai berikut :

$$V_{eff} = \frac{\frac{(U_c)^4}{\sum(U_i)^4/V_i}}{(1.37)^4}$$

$$V_{eff} = \frac{(0.35)^4/12 + (1.32)^4/12 + (0,0029)^4/\infty + (0.00)^4/60}{(1.37)^4}$$

$V_{eff} = 13,70$ , sehingga jika dibulatkan menjadi 14, dimana pada table *T-student* menghasilkan nilai k (faktor koreksi) sebesar 2.145.

Oleh karena itu, hasil nilai ketidakpastian diperluas sebesar :

$$U_{exp} = k \times U_c$$

$$U_{exp} = 2.145 \times 1.37 = 2.95$$

- **Hasil Sensor CO2**

Untuk mendapatkan hasil nilai ppm, diperlukan pengambilan nilai EMF yang merupakan tegangan yang keluar dari sensor.

$$EMF = \left( \frac{read\_adc}{1023} \times 5 \right) \times 1000 \quad (4.3)$$

Keterangan :

EMF = Keluaran Tegangan Sensor (mV)

. Nilai PPM didapatkan dengan cara menghitung persamaan regresi dari nilai EMF dengan PPM nilai pada kalibrator. Sehingga konsentrasi nilai sensor gas MG-811 dapat dicari dengan rumus sebagai berikut:

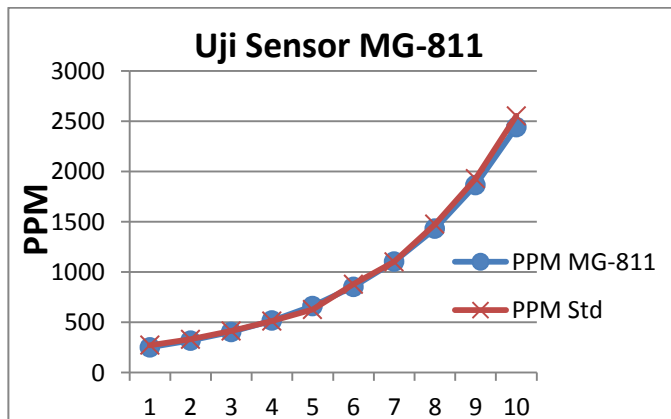
$$PPM = -17.644 \ln(x) + 264.76 \quad (4.4)$$

Dari hasil perhitungan diatas didapatkan data sebagai berikut:

**Tabel 4.6** Data Hasil Pengujian Sensor MG-811

No.	EMF	PPM MG-811	PPM Std	Koreksi
1.	332.35	310.36	312	1.64
2.	327.46	400.58	400	-0.58
3.	322.58	424.14	423	-1.14
4.	317.69	516.29	512	-4.29
5.	312.80	522.06	527	4.94
6.	307.91	972.31	978	5.69
7.	303.03	1001.6	1000	-1.60
8.	298.14	1679.9	1674	-5.90
9.	293.25	2024.1	2029	4.90
10.	288.36	2850.9	2853	2.10
$\Sigma$	3103.57	10702.24	10708	5.76
Rata-rata	310.35	1070.22	1070.8	0.58

Dari hasil pengukuran tersebut dapat dilihat hasil grafik dari perbandingan nilai alat uji dan alat standart. Dibawah ini adalah grafik hasil pengujian MG-811 yang telah dilakukan :



**Gambar 4.8** Grafik Uji Sensor MG-811

Dari gambar 4.8 dapat dilihat bahwa pembacaan alat sudah mendekati dengan standar. Namun masih terdapat beberapa titik yang masih terdapat *error* pembacaan. Berdasarkan data yang telah didapatkan dari pengujian alat, maka dapat diperoleh nilai karakteristik static dari alat ukur kadar gas CO<sub>2</sub> sebagai berikut:

- Range : 300 – 10.000 ppm
- Span : 9700
- Resolusi : 0.01
- Sensitivitas : 0,0096 mV/°C
- Non-linieritas : 0.3 %
- Akurasi : 0.42%

Berikut ini hasil perhitungan nilai karakteristik statik kadar gas CH<sub>4</sub> berdasarkan data pada tabel 4.6 yang dihitung menggunakan rumus persamaan pada BAB II [18] ::

- Sensitivitas =  $\frac{\Delta \text{Output}}{\Delta \text{Input}} = \frac{(356.79 - 263.92) \text{mV}}{(10.000 - 300)^\circ\text{C}} = 0,0096 \text{ mV/}^\circ\text{C}$
- Non-linieritas

$$O_{\text{Ideal}} = KI + \alpha$$

Dengan K adalah kemiringan garis:

$$\begin{aligned} K &= \frac{O_{\max} - O_{\min}}{I_{\max} - I_{\min}} \\ &= \frac{2850.9 - 310.36}{2853 - 312} \\ &= 0.99 \end{aligned}$$

Dan  $\alpha$  adalah pembuat nol (*zero bias*):

$$\begin{aligned} \alpha &= O_{\min} - KI_{\min} \\ &= 310.36 - (0.99 \times 312) \\ &= -1.58 \end{aligned}$$

Sehingga didapatkan nilai Non-linieritas:

$$N = \frac{[O - KI + \alpha]_{\max}}{O_{\max} - O_{\min}} \times 100\%$$

$$= \frac{7.78}{2850.9 - 310.36} \times 100\% = 0.3\%$$

- Akurasi

$$\text{Akurasi} = \frac{(100\%)}{n} \sum_{t=1}^n \frac{|X_t - F_t|}{X_t}$$

dengan

$X_t$  = Data aktual pada periode t

$F_t$  = Data pemodelan pada periode t

n = Jumlah data

$$\begin{aligned}\text{Akurasi} &= \frac{(100\%)}{10} \sum_{t=1}^n 0.042 \\ &= 0.42\%\end{aligned}$$

Nilai akurasi berarti ketakakuratan (*inaccuracy*), yaitu selisih maksimum antara nilai keluaran sensor dari nilai masukan ideal/sesungguhnya (*actual input*). Nilai akurasi ini diperoleh dengan menggunakan persamaan MAPE (*Mean Absolute Percentage Error*) yaitu salah satu metode yang dapat digunakan untuk menghitung validasi.

Berikut ini merupakan hasil pengukuran kalibrasi untuk mencari nilai ketidakpastian alat ukur, dimana kalibrasi dilakukan di ruangan terbuka:

- Nilai Ketidakpastian Type A:

$$\begin{aligned}\sigma (\text{Standar Deviasi}) &= \sqrt{\frac{\sum(y_i - \bar{y})^2}{n-1}} \\ \sigma &= 3.97\end{aligned}$$

Sehingga nilai ketidakpastian hasil pengukuran:

$$U_{a1} = \frac{\sigma}{\sqrt{n}}$$

$$U_{a1} = \frac{3.97}{\sqrt{10}} = 1.25$$

Sedangkan nilai ketidakpastian regresi  $U_{a2} = \sqrt{\frac{SSR}{n-2}}$

Dimana:

$$Y_{reg} = a + (b \cdot xi)$$

$$a = \frac{(\sum x_i^2)(\sum y_i) - (\sum x_i)(\sum x_i y_i)}{n \cdot \sum x_i^2 - (\sum x_i)^2} = -0.09$$

$$b = \frac{n \cdot \sum x_i y_i - \sum x_i \sum y_i}{n \cdot \sum x_i^2 - (\sum x_i)^2} = 0.001$$

Dimana:

$xi$  = Pemb. standar,

$yi$  = Nilai koreksi,

$n$  = Jumlah data

$$SSR = \sum (y_i - Y_{reg})^2 = 139.45$$

Sehingga menghasilkan nilai SSR =

$$U_{a2} = \sqrt{\frac{SSR}{n-2}} = \sqrt{\frac{139.45}{10-2}} = 4.17$$

#### b. Nilai Ketidakpastian Type B:

Pada tipe ini terdapat 2 parameter ketidakpastian, yaitu ketidakpastian Resolusi ( $U_{b1}$ ) dan Ketidakpastian alat standar *pressure gauge* ( $U_{b2}$ ). Dengan perhitungan sebagai berikut:

$$U_{b1} = \frac{\frac{1}{2}x \text{ Resolusi}}{\sqrt{3}} = \frac{\frac{1}{2}x 0,01}{\sqrt{3}} = 0.0029$$

$U_{b2} = \frac{a}{k}$  dikarenakan pada alat standar tidak ada sertifikat kalibrasinya maka nilai a (ketidakpastian sertifikat kalibrasi) dianggap mendekati 0, dan nilai faktor cakupan dianggap 2,0. Sehingga hasil :  $U_{b2} = 0$

#### c. Nilai Ketidakpastian Kombinasi Uc

$$U_c = \sqrt{U_{a1}^2 + U_{a2}^2 + U_{b1}^2 + U_{b2}^2}$$

$$U_c = \sqrt{(1.25)^2 + 4.17^2 + 0.0029^2 + 0^2}$$

$$U_c = 4.36$$

Dengan kondisi V atau derajat kebebasan dari kedua tipe ketidakpastian,  $V = n-1$ , sehingga :  $V1 = 9$ ;  $V2 = 9$ ;  $V3 = \infty$ ;  $V4 = 60$  (berdasarkan table *T-Student*)

Dengan nilai  $V_{eff}$  (Nilai derajat kebebasan effektif) sebagai berikut :

$$V_{eff} = \frac{(U_c)^4}{\sum(U_i)^4/V_i}$$

$$V_{eff} = \frac{(4.36)^4}{(1.25)^4/9 + (4.17)^4/9 + (0,0029)^4/\infty + (0.00)^4/60}$$

$V_{eff} = 10.61$ , sehingga jika dibulatkan menjadi 11, dimana pada table *T-student* menghasilkan nilai k (faktor koreksi) sebesar 2.201.

Oleh karena itu, hasil nilai ketidakpastian diperluas sebesar :

$$U_{exp} = k \times U_c$$

$$U_{exp} = 2.201 \times 4.36 = 9.59$$

#### 4.2.3 Hasil Sensor H2S

Untuk mendapatkan hasil nilai konsentrasi gas H2S dalam satuan PPM (*part per million*) diperlukan pengambilan nilai RO. RO adalah ketetapan yang didapatkan dari hasil pengambilan nilai RS pada konsentrasi gas H2S sebesar 40 ppm. RS adalah hambatan yang berubah-ubah sesuai konsentrasi gas H2S yang telah dideteksi oleh sensor MQ-136. Berikut ini adalah rumus untuk menghitung nilai RS :

$$RS = \left( \frac{5}{VRL} - 1 \right) \times RL \quad (4.5)$$

Keterangan :

RS = Resistansi Sensor

VRL = Tegangan Sensor

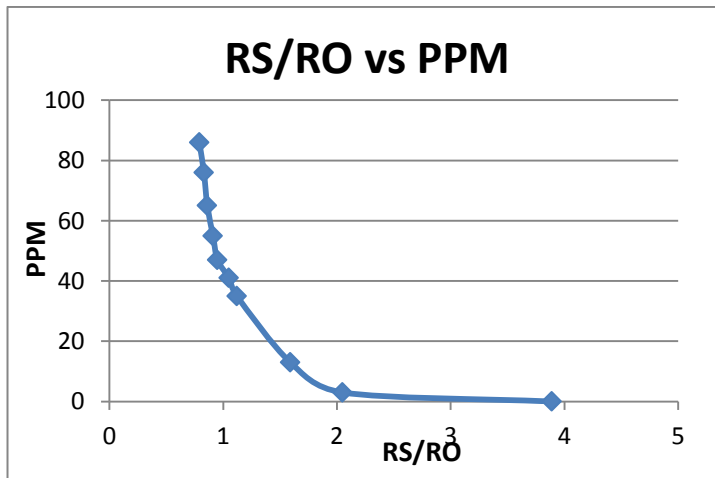
RL = *Load resistance (adjustable)*

Didapatkan nilai  $RO = 104.611$  dengan  $RL = 53$ . Nilai PPM didapatkan dengan cara menghitung persamaan regresi dari hasil perbandingan nilai  $RS/RO$  dengan PPM standart yang sudah diukur.

**Tabel 4.7** Data Hasil Pengujian Sensor MQ-136

No.	RS/RO	PPM Standard
1	3.89	0
2	2.05	3
3	1.59	13
4	1.12	35
5	1.05	41
6	0.95	47
7	0.91	55
8	0.86	65
9	0.83	76
10	0.79	86

Dari hasil pengukuran tersebut dapat dilihat hasil grafik dari perbandingan nilai alat uji dan alat standart. Dibawah ini adalah grafik hasil pengujian MQ-136 yang telah dilakukan :



**Gambar 4.8** Grafik MQ-136 RS/RO vs PPM

Pada Gambar 4.8 didapatkan nilai persamaan regresi yang telah didapatkan. Konsentrasi nilai sensor gas MQ-136 dapat dicari dengan rumus sebagai berikut:

$$PPM = 39.996 \left( \frac{RS}{RO} \right)^{-3.303} \quad (4.6)$$

Dari hasil perhitungan diatas didapatkan data sebagai berikut:

**Tabel 4.8** Pengambilan Data Sensor MQ-136

NO.	RS	RO	RS/RO	PPM
1	308.46	104.611	2.948638	1.12
2	303.7	104.611	2.903136	1.18
3	253.32	104.611	2.421543	2.15
4	249.89	104.611	2.388755	2.25
5	194.57	104.611	1.859989	5.15
6	186.9	104.611	1.786619	5.8
7	160.46	104.611	1.533873	9.7
8	157.9	104.611	1.509401	10.25
9	144.16	104.611	1.378058	13.8
10	143.4	104.611	1.370793	14.09
11	139.26	104.611	1.331275	15.54
12	135.26	104.611	1.292981	17.11
13	134.6	104.611	1.286672	17.39
14	129.55	104.611	1.238397	19.73
15	120.73	104.611	1.221	20.6

Untuk mengetahui pembacaan konsentrasi gas pada alat yang telah dibuat sudah benar maka karakteristik sensor dibandingkan dengan karakteristik sensitivitas yang terdapat pada datasheet sesuai pada tabel 4.9 berikut ini.

**Tabel 4.9** Karakteristik Sensitivitas Sensor MQ-136

Symbol	Parameter name	Technical parameter
Rs	Sensing Resistance	30K $\Omega$ -200K $\Omega$ (10ppm H <sub>2</sub> S)
$\alpha$ (20/5) H <sub>2</sub> S	Concentration Slope rate	$\leq 0.65$

*Sensing Resistance :*

$$RS_{10\text{ppm}} = 157.9$$

*Concentration slope rate :*

$$Rs(20 \text{ ppm}) / Rs(5 \text{ ppm H}_2S) < 0.65$$

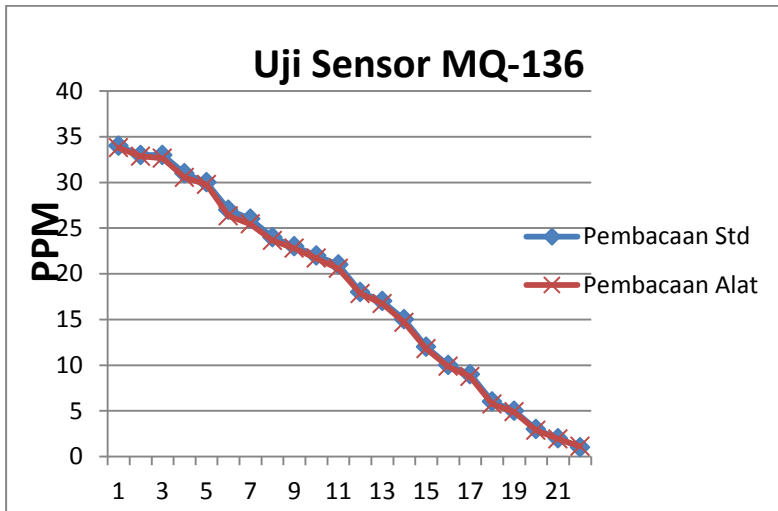
$$((120.73 \text{ k}\Omega) / 194.57 \text{ k}\Omega) < 0.6$$

$$0.62 < 0.65$$

**Tabel 4.10** Perbandingan MQ-136 dengan Standar

No.	Hasil Ukur Konsentrasi H <sub>2</sub> S (ppm)		Koreksi
	Pembacaan Std	Pembacaan Alat	
1	34	33.78	0.22
2	33	32.85	0.15
3	33	32.65	0.35
4	31	30.54	0.46
5	30	29.78	0.22
6	27	26.34	0.66
7	26	25.45	0.55
8	24	23.65	0.35
9	23	22.79	0.21
10	22	21.69	0.31
11	21	20.58	0.42
12	18	17.82	0.18
13	17	16.74	0.26
14	15	14.68	0.32
15	12	11.79	0.21
16	10	9.86	0.14
17	9	8.74	0.26
18	6	5.75	0.25
19	5	4.89	0.11
20	3	2.87	0.13
21	2	1.92	0.08
22	1	1.11	-0.11
$\Sigma$	402	396.27	5.73
<b>Rata-rata</b>	18.2727273	18.01227	0.26

Dari hasil pengukuran tersebut dapat dilihat hasil grafik dari perbandingan nilai alat uji dan alat standart. Dibawah ini adalah grafik hasil pengujian MQ-136 yang telah dilakukan :



**Gambar 4.9** Grafik Uji Sensor MQ-136

Dari Gambar 4.9 dapat dilihat bahwa pembacaan alat sudah mendekati dengan standar. Namun masih terdapat beberapa titik yang masih terdapat *error* pembacaan. Berdasarkan data yang telah didapatkan dari pengujian alat, maka dapat diperoleh karakteristik dari alat ukur kadar gas H<sub>2</sub>S sebagai berikut:

- *Range* : 0 – 100 ppm
- *Span* : 100
- Resolusi : 0.01
- Sensitivitas :  $0,02 \text{ V}/\text{ppm}$
- Non-linieritas : 0.18 %
- Akurasi : 1.32%

Berikut ini hasil perhitungan nilai karakteristik statik kadar gas CH<sub>4</sub> berdasarkan data pada tabel 4.10 yang dihitung menggunakan rumus persamaan pada BAB II [18] :

- Sensitivitas =  $\frac{\Delta O_{output}}{\Delta I_{Input}} = \frac{(2.00-0)V}{(100-0)ppm} = 0,02 V/ppm$

- Non-linieritas

$$O_{Ideal} = KI + \alpha$$

Dengan K adalah kemiringan garis:

$$\begin{aligned} K &= \frac{O_{max} - O_{min}}{I_{max} - I_{min}} \\ &= \frac{33.78 - 1.11}{34 - 1} \\ &= 0,99 \end{aligned}$$

Dan  $\alpha$  adalah pembuat nol (*zero bias*):

$$\begin{aligned} \alpha &= O_{min} - KI_{min} \\ &= 1.11 - (0,99 \times 1) \\ &= -0,12 \end{aligned}$$

Sehingga didapatkan nilai Non-linieritas:

$$\begin{aligned} N &= \frac{[O - KI + \alpha]_{max}}{O_{max} - O_{min}} \times 100\% \\ &= \frac{0.06}{33.78 - 1.11} \times 100\% \\ &= 0.18 \% \end{aligned}$$

- Akurasi

$$\text{Akurasi} = \frac{(100\%)}{n} \sum_{t=1}^n \frac{|X_t - F_t|}{X_t}$$

dengan

X<sub>t</sub> = Data aktual pada periode t

F<sub>t</sub> = Data pemodelan pada periode t

n = Jumlah data

$$\text{Akurasi} = \frac{(100\%)}{22} \sum_{t=1}^n 0.291$$

$$= 1.32\%$$

Nilai akurasi berarti ketakakuratan (*inaccuracy*), yaitu selisih maksimum antara nilai keluaran sensor dari nilai masukan ideal/sesungguhnya (*actual input*). Nilai akurasi ini diperoleh dengan menggunakan persamaan MAPE (*Mean Absolute Percentage Error*) yaitu salah satu metode yang dapat digunakan untuk menghitung validasi.

Berikut ini merupakan hasil pengukuran kalibrasi untuk mencari nilai ketidakpastian alat ukur, dimana kalibrasi dilakukan di ruangan terbuka:

a. Nilai Ketidakpastian *Type A*:

$$\sigma (\text{Standar Deviasi}) = \sqrt{\frac{\sum (y_i - \bar{y})^2}{n-1}}$$

$$\sigma = 1.23$$

Sehingga nilai ketidakpastian hasil pengukuran:

$$U_{a1} = \frac{\sigma}{\sqrt{n}}$$

$$U_{a1} = \frac{1.23}{\sqrt{22}} = 0.26$$

$$\text{Sedangkan nilai ketidakpastian regresi } U_{a2} = \sqrt{\frac{SSR}{n-2}}$$

Dimana:

$$Y_{reg} = a + (b \cdot xi)$$

$$a = \frac{(\sum x_i^2)(\sum y_i) - (\sum xi)(\sum xi \cdot yi)}{n \cdot \sum xi^2 - (\sum xi)^2} = 0.009$$

$$b = \frac{n \cdot \sum xi \cdot yi - \sum xi \cdot \sum yi}{n \cdot \sum xi^2 - (\sum xi)^2} = 0.42$$

Dimana:

$xi$  = Pemb. standar,

$yi$  = Nilai koreksi,

$n$  = Jumlah data

$$SSR = \sum(y_i - Y_{reg})^2 = 2.688$$

Sehingga menghasilkan nilai SSR =

$$U_{a2} = \sqrt{\frac{SSR}{n-2}} = \sqrt{\frac{2.688}{22-2}} = 0.366$$

b. Nilai Ketidakpastian Type B:

Pada tipe ini terdapat 2 parameter ketidakpastian, yaitu ketidakpastian Resolusi ( $U_{b1}$ ) dan Ketidakpastian alat standar *pressure gauge* ( $U_{b2}$ ). Dengan perhitungan sebagai berikut:

$$U_{b1} = \frac{\frac{1}{2}x \text{ Resolusi}}{\sqrt{3}} = \frac{\frac{1}{2}x 0,01}{\sqrt{3}} = 0.0029$$

$U_{b2} = \frac{a}{k}$  dikarenakan pada alat standar tidak ada sertifikat kalibrasinya maka nilai a (ketidakpastian sertifikat kalibrasi) dianggap mendekati 0, dan nilai faktor cakupan dianggap 2,0. Sehingga hasil :  $U_{b2} = 0$

c. Nilai Ketidakpastian Kombinasi  $U_c$

$$U_c = \sqrt{U_{a1}^2 + U_{a2}^2 + U_{b1}^2 + U_{b2}^2}$$

$$U_c = \sqrt{(1.23)^2 + 0.366^2 + 0.0029^2 + 0^2}$$

$$U_c = 1.36$$

Dengan kondisi V atau derajat kebebasan dari kedua tipe ketidakpastian,  $V = n-1$ , sehingga :

$V1 = 21$ ;  $V2 = 21$ ;  $V3 = \infty$ ;  $V4 = 60$  (berdasarkan table *T-Student*)

Dengan nilai  $V_{eff}$  (Nilai derajat kebebasan effektif) sebagai berikut :

$$V_{eff} = \frac{(U_c)^4}{\sum(U_i)^4/V_i}$$

$$V_{eff} = \frac{(1.36)^4}{(1.23)^4/21 + (0.366)^4/21 + (0.0029)^4/\infty + (0.00)^4/60}$$

$V_{eff} = 10,46$ , sehingga jika dibulatkan menjadi 10, dimana pada table *T-student* menghasilkan nilai k (faktor koreksi) sebesar 2.228.

Oleh karena itu, hasil nilai ketidakpastian diperluas sebesar :

$$U_{exp} = k \times U_c$$

$$U_{exp} = 2.042 \times 1.36 = 2.77$$

#### 4.2.3 Hasil RTC

Hasil dari waktu modul ds1307 dengan waktu pada handphone.



**Gambar 4.10** Hasil RTC DS1073

Pada gambar diatas menunjukkan bahwa keterangan waktu pada RTC sama dengan keterangan waktu yang ditampilkan oleh handphone.

#### 4.2.3 Hasil *Openlog Datalogger*

Penyimpanan data menggunakan *openlog datalogger* dapat berhasil disimpan pada *Microsoft excel*. Pada modul ini menggunakan pin TX yang akan disambungkan pada RX mikrokontroler dan pin RX modul akan disambungkan pada pin TX mikrokontroler.

A	B	C	D	E	F	G	H	I	J	K	L	M	N	O	P	Q	R	S	T	U	V	W	
1	TANGGAL JAM	(CH4) CH4/H2S	CO2/H2O	CO2/O2	CO2/O2 FLOW	H2S/C	TEKANAN 1	TEKANAN 2															
2	2010/07/17 9:59:58	0	0	0.000	0.000	0	0	2.00	0.00	2.08	0.00	2.01											
3	2010/07/17 9:59:59	0	0	0.000	0.000	0	0	2.00	0.00	2.08	0.00	2.01											
4	2010/07/17 9:59:11	0	0	0.000	0.000	0	0	2.00	0.00	2.08	0.00	2.01											
5	2010/07/17 9:59:12	0	0	0.000	0.000	0	0	3.00	0.00	3.08	0.00	3.01											
6	2010/07/17 9:59:13	0	0	0.000	0.000	0	0	3.00	0.00	3.08	0.00	3.01											
7	2010/07/17 9:59:14	0	0	0.000	0.000	0	0	3.00	0.00	3.08	0.00	3.01											
8	2010/07/17 9:59:15	0	0	0.000	0.000	0	0	3.00	0.00	3.08	0.00	3.01											
9	2010/07/17 9:59:16	0	0	0.000	0.000	0	0	6.00	0.00	6.08	0.00	6.01											
10	2010/07/17 9:59:17	0	0	0.000	0.000	0	0	6.00	0.00	6.08	0.00	6.01											
11	2010/07/17 9:59:18	0	0	0.000	0.000	0	0	5.00	0.00	5.08	0.00	5.01											
12	2010/07/17 9:59:19	0	0	0.000	0.000	0	0	4.00	0.00	4.08	0.00	4.01											
13	2010/07/17 9:59:20	0	0	0.000	0.000	0	0	5.00	0.00	5.08	0.00	5.01											
14	2010/07/17 9:59:21	0	0	0.000	0.000	0	0	4.00	0.00	4.08	0.00	4.01											
15	2010/07/17 9:59:22	0	0	0.000	0.000	0	0	5.00	0.00	5.08	0.00	5.01											
16	2010/07/17 9:59:23	0	0	0.000	0.000	0	0	5.00	0.00	5.08	0.00	5.01											
17	2010/07/17 9:59:24	0	0	0.000	0.000	0	0	4.00	0.00	4.08	0.00	4.01											
18	2010/07/17 9:59:25	0	0	0.000	0.000	0	0	5.00	0.00	5.08	0.00	5.01											
19	2010/07/17 9:59:26	0	0	0.000	0.000	0	0	5.00	0.00	5.08	0.00	5.01											
20	2010/07/17 9:59:27	0	0	0.000	0.000	0	0	4.00	0.00	4.08	0.00	4.01											
21	2010/07/17 9:59:28	0	0	0.000	0.000	0	0	5.00	0.00	5.08	0.00	5.01											
22	2010/07/17 9:59:29	0	0	0.000	0.000	0	0	4.00	0.00	4.08	0.00	4.01											
23	2010/07/17 9:59:30	0	0	0.000	0.000	0	0	5.00	0.00	5.08	0.00	5.01											
24	2010/07/17 9:59:31	0	0	0.000	0.000	0	0	4.00	0.00	4.08	0.00	4.01											
25	2010/07/17 9:59:32	0	0	0.000	0.000	0	0	4.00	0.00	4.08	0.00	4.01											
26	2010/07/17 9:59:33	0	0	0.000	0.000	0	0	4.00	0.00	4.08	0.00	4.01											
27	2010/07/17 9:59:34	0	0	0.000	0.000	0	0	4.00	0.00	4.08	0.00	4.01											
28	2010/07/17 9:59:35	0	0	0.000	0.000	0	0	4.00	0.00	4.08	0.00	4.01											
29	2010/07/17 9:59:36	0	0	0.000	0.000	0	0	4.00	0.00	4.08	0.00	4.01											
30	2010/07/17 9:59:37	0	0	0.000	0.000	0	0	4.00	0.00	4.08	0.00	4.01											

Gambar 4.11 Penyimpanan Data

Sistem Monitoring Kadar CH<sub>4</sub>, CO<sub>2</sub> Dan H<sub>2</sub>S Pada Proses Purifikasi Biogas ini menggunakan modul *openlog datalogger* sebagai penyimpanan data dan *SD Card* yang berkapasitas 16 GB. Pencatatan data yang dilakukan selama satu menit membutuhkan ruang penyimpanan pada *SD Card* rata-rata sebesar 3 KB=0.003 MB sehingga dalam waktu 1 hari akan membutuhkan kapasitas memory sebanyak 4.37MB, *SD Card* dengan kapasitas 16 GB memiliki nilai kapasitas maksimal yang bisa digunakan adalah 15567 MB, Sehingga jumlah pencatatan yang dapat dilakukan dengan menggunakan *SD Card* yang bekapasitas 16GB adalah sebagai berikut :

$$\text{Lama Waktu} = \frac{\text{Kapasitas SD Card}}{\text{Ukuran File per hari}} \quad (4.7)$$

Dengan persamaan 4.7 maka penggunaan memory dapat digunakan selama 3562.24 hari atau kurang labih selama 10 tahun.

## BAB V

### PENUTUP

#### 5.1 Kesimpulan

Berdasarkan rancang bangun dan analisa data yang telah dilakukan maka dapat disimpulkan bahwa :

- Perancangan monitoring CH<sub>4</sub> menggunakan persamaan regresi ppm =  $1021x^{-2.7887}$ , kadar gas CH<sub>4</sub> mengalami peningkatan ppm sebesar 27.15%. Perancangan monitoring CO<sub>2</sub> menggunakan persamaan regresi ppm =  $-17.644\ln(x) + 264.76$ , kadar gas CO<sub>2</sub> mengalami penurunan sebesar 7.16%. Perancangan monitoring H<sub>2</sub>S menggunakan persamaan regresi ppm =  $39.996x^{-3.303}$ , kadar gas CH<sub>4</sub> mengalami penurunan ppm sebesar 94.04%.
- Nilai karakteristik statis sensor CH<sub>4</sub> pada *range* pengukuran 0-10000 memiliki nilai akurasi sebesar 0.29%, sensitifitas sebesar 0.258 mV/ppm, *non-linieritas* sebesar 0.02% dan nilai ketidakpastian sebesar 2.95. Sedangkan nilai karakteristik statis sensor CO<sub>2</sub> pada *range* pengukuran 0-10000 memiliki nilai akurasi sebesar 0.42%, sensitifitas sebesar 0.0096 mV/ppm, *non-linieritas* sebesar 0.3% dan nilai ketidakpastian sebesar 9.59. Dan nilai karakteristik statis sensor H<sub>2</sub>S pada *range* pengukuran 0-100 memiliki nilai akurasi sebesar 1.32%, sensitifitas sebesar 0.2 V/ppm, *non-linieritas* sebesar 0.18% dan nilai ketidakpastian sebesar 2.77.

#### 5.2 Saran

Adapun saran untuk penelitian selanjutnya agar hasil yang dicapai dapat memenuhi harapan, antara lain:

- Sebaiknya *preheating* pada sensor dilakukan selama lebih dari 24 jam untuk menghasilkan nilai keakurasi yang lebih bagus.
- Pastikan sudah mendapatkan kalibrator sebelum melakukan pengujian.



## DAFTAR PUSTAKA

- [<sup>11</sup>] Abdurrakhman, A., Soehartanto, T., (2014), **Analisis Karakterisasi Water Scrubber pada Alat Purifikasi Biogas Tipe Kombinasi Spray Tower dan Tray Tower.** Seminar Nasional Teknologi Terapan, Universitas Gadjah Mada, Yogyakarta.
- [<sup>12</sup>] Dirjen EBTKE, (2015), **Laporan Perkembangan Energi Terbarukan Indonesia.** Kementerian Energi dan Sumber Daya Mineral.
- [<sup>13</sup>] Gosh, D. P. (2007). **Wet H<sub>2</sub>S Cracking Problem in Oil Refinery Processes - Material selection and operation control issues,** *The 2007 Tri-Service Corrosion Conference*, December 3-7, 2007, Denver, Colorado, USA
- [<sup>14</sup>] Horikawa, M.S.; Rossi, M.L.; Gimenes, M.L.; Costa, C.M.M. & da Silva, M.G.C. (2004). **Chemical Absorption of H<sub>2</sub>S for biogas purification,** *Brazilian Journal of Chemical Engineering*, Vol. 21, No. 3, July-September 2004, pp. 415-422
- [<sup>15</sup>] Ratna IP , M. Sarosa , Heli T, Sri R, **Pendeteksi Gas Metana pada Sistem Biogas Berbasis Mikrokontroler,** Jurnal ELTEK, Vol 12 No 01, April 2014 ISSN 1693-4024
- [<sup>16</sup>] Faiz, Suyanto, **Uji Kinerja Taguchi Gas Sensor (TGS) untuk Monitoring Gas Methane pada Portable Biodegester Nucleotide Composition and Amino Acid Usage in AT-Rich Hyperthermophilic Species,** *The Open Bioinformatics Journal*, Vol. 2, 2008, pp. 11-19.
- [<sup>17</sup>] Andrean, Cristian, **Rancang Bangun Monitor Suhu Gas Metana dan Karbon Dioksida pada Biogas,** JCONES, Vol. 3, No. 1 (2014) 11-17
- [<sup>18</sup>] <http://www.karangmulya.com/mengenal-biogas-dan-contoh-pemanfaatannya/> diakses pada tanggal 29 Agustus 2014
- [<sup>19</sup>] Dwinanda, Vincensius.2012.**Design Of Wet Scrubber As H<sub>2</sub>s Content Reducter Unit In Biogas Production At Pt Enero Mojokerto.**Jurusan Teknik Fisika.Institut Teknologi Sepuluh Nopember

- [<sup>10</sup>] [www.hwsensor.com/datasheet-MQ-4/](http://www.hwsensor.com/datasheet-MQ-4/)
- [<sup>11</sup>] [www.hwsensor.com/datasheet-MQ-136/](http://www.hwsensor.com/datasheet-MQ-136/)
- [<sup>12</sup>] [www.hwsensor.com/datasheetMG-811/](http://www.hwsensor.com/datasheetMG-811/)
- [<sup>13</sup>] Applied Analytics, (2013), **Measuring Hydrogen Sulfide in Biogas & Landfill Gas**, Applied Analytic Application Note No. AN-018.
- [<sup>14</sup>] Atmel. (2011). **Atmega128**. San Jose, USA.
- [<sup>15</sup>] Innovativeelectronics. (2012). **Manual DT-Sense Gas Sensor**. Surabaya, Indonesia.
- [<sup>16</sup>] <https://proyekarduino.wordpress.com/2015/04/01/pengetahuan-dasar-rtc-ds1307/> diakses pada tanggal 01 April 2015
- [<sup>17</sup>] <https://www.sparkfun.com/products/13712> **SparkFun OpenLog**, diakses pada tahun 2003
- [<sup>18</sup>] Bentley, John P. 2005. **Principles of Measurement Systems**. Prentice Hall, London
- [<sup>19</sup>] Alladany, Ziyaurrohman., Arrofiq, Muhammad., (2014), **Purwapura Pemantau Gas Hidrogen Sulfida dalam Ruangna Industri Kimia**, Simposium Nasional RAPI XIII - FT UMS

## **LMPIRAN A**

# **DATA KALIBRASI SENSOR**

## 1. Data Kalibrasi CH4 (MQ-4)

- #### - Data Ketidakpastian Alat

- Data Karakteristik Alat

No.	Pemb. Std	Pemb. Alat	(Std-Alat) /Std	O Ideal	Non-Linearitas
1	0.9	0.88	0.022222222	0.88	0
2	1.2	0.95	0.208333333	1.1801	-0.230100004
3	1.5	1.37	0.086666667	1.4802	-0.11020
4	6	6.81	-0.135	5.9817	0.82830
5	6	7.09	-0.181666667	5.9817	1.10830
6	21.3	20.42	0.041314554	21.2868	-0.86680
7	25.2	25.93	-0.028968254	25.1881	0.74190
8	24	23.58	0.0175	23.9877	-0.40770
9	367.3	366.24	0.002885924	367.4021	-1.16214
10	1000	997.6	0.0024	1000.313	-2.71305
11	1012.5	1010.24	0.002232099	1012.817	-2.57721
12	5017	5015.21	0.000356787	5018.652	-3.44210
13	5010.7	5012.35	-0.000329295	5012.35	0.000000
<b>Jumlah</b>		12488.67	0.03794737		1.108299932
<b>Rata-rata</b>		960.6669231			
<b>kemiringan garis (k)</b>		1.000333347	a=	-0.0203	

## 2. Data Kalibrasi CO<sub>2</sub> (MG-811)

#### - Data Ketidakpastian Alat

- Data Karakteristik Alat

No.	Pemb. Std	Pemb. Akat	(Std-Alat) /Std	O Ideal	Non-Linearitas
1	312	310.36	0.00525641	310.36	0
2	400	400.58	-0.00145	398.3441	2.235930736
3	423	424.14	-0.002695035	421.3399	2.800094451
4	512	516.29	-0.008378906	510.3238	5.966206218
5	527	522.06	0.009373814	525.3211	-3.261078316
6	978	972.31	0.005817996	976.2394	-3.929433294
7	1000	1001.6	-0.0016	998.2355	3.36454939
8	1674	1679.9	-0.003524492	1672.113	7.786564345
9	2029	2024.1	0.002414983	2027.049	-2.949169618
10	2853	2850.9	0.000736067	2850.9	0
<b>Jumlah</b>		10702.24	0.005950836		7.786564345
<b>Rata-rata</b>		1070.224			
a=	-1.5835183	<b>kemiringan garis (k) =</b>	0.999819		

### 3. Data Kalibrasi H2S (MQ-136)

#### - Data Ketidakpastian Alat

- Data Karakteristik Alat

No.	Pemb. Std	Pemb. Alat	(Std-Alat) /Std	O Ideal	Non-Linearitas per Input
1	34	33.78	0.006470588	33.78	0
2	33	32.85	0.004545455	32.79	0.06
3	33	32.65	0.010606061	32.79	-0.14000
4	31	30.54	0.01483871	30.81	-0.27000
5	30	29.78	0.007333333	29.82	-0.04000
6	27	26.34	0.024444444	26.85	-0.51000
7	26	25.45	0.021153846	25.86	-0.41000
8	24	23.65	0.014583333	23.88	-0.23000
9	23	22.79	0.009130435	22.89	-0.10000
10	22	21.69	0.014090909	21.9	-0.21000
11	21	20.58	0.02	20.91	-0.33000
12	18	17.82	0.01	17.94	-0.12000
13	17	16.74	0.015294118	16.95	-0.21000
14	15	14.68	0.021333333	14.97	-0.29000
15	12	11.79	0.0175	12	-0.21000
16	10	9.86	0.014	10.02	-0.16000
17	9	8.74	0.028888889	9.03	-0.29000
18	6	5.75	0.041666667	6.06	-0.31000
19	5	4.89	0.022	5.07	-0.18000
20	3	2.87	0.043333333	3.09	-0.22000
21	2	1.92	0.04	2.1	-0.18000
22	1	1.11	-0.11	1.11	0.00000
Jumlah		396.27	0.291213454		0.06000
Rata-rata		18.01227273			
kemiringan garis (k)		0.99	a=	0.12	

## **LAMPIRAN B**

### **LISTING PROGRAM PADA CAVAR**

```
*****  
*
```

This program was produced by the  
CodeWizardAVR V2.05.3 Standard  
Automatic Program Generator  
© Copyright 1998-2011 Pavel Haiduc, HP InfoTech s.r.l.  
<http://www.hpinfotech.com>

Project : TA\_TEAM BIOGAS

Version :

Date : 08/06/2017

Author :

Company : ITS

Comments:

Chip type : ATmega128

Program type : Application

AVR Core Clock frequency: 7,372800 MHz

Memory model : Small

External RAM size : 0

Data Stack size : 1024

```
*****
```

/

```
#include <mega128.h>
```

```
#include <delay.h>
```

```
#include <ds1307_twi.h> //HEADER REAL TIME CLOCK
```

```
#include <math.h>
```

```
// Standard Input/Output functions
```

```
#include <stdio.h>
```

```
#include <stdlib.h>
```

```
#define xmin 25
#define ymin 23
#define a 35 //pembacaan pressure sensor MPX5500DP (max)
#define b 255 //8 bits (max)
#define e 8925 //a*b

// I2C Bus functions
#include <i2c.h> //HEADER MENAKTIFKAN PORT
UNTUK ALAMAT I2C

#asm
    .equ __lcd_port=0x15 ;PORTC
#endifasm
#include <lcd.h>

#ifndef RXB8
#define RXB8 1
#endif

#ifndef TXB8
#define TXB8 0
#endif

#ifndef UPE
#define UPE 2
#endif

#ifndef DOR
#define DOR 3
#endif

#ifndef FE
#define FE 4
#endif
```

```
#ifndef UDRE
#define UDRE 5
#endif

#ifndef RXC
#define RXC 7
#endif

#define FRAMING_ERROR (1<<FE)
#define PARITY_ERROR (1<<UPE)
#define DATA_OVERRUN (1<<DOR)
#define DATA_REGISTER_EMPTY (1<<UDRE)
#define RX_COMPLETE (1<<RXC)

// Write a character to the USART1 Transmitter
#pragma used+
void putchar1(char c)
{
while ((UCSR1A & DATA_REGISTER_EMPTY)==0);
UDR1=c;
}
#pragma used-

#define ADC_VREF_TYPE 0x20

// Read the 8 most significant bits
// of the AD conversion result
unsigned char read_adc(unsigned char adc_input)
{
ADMUX=adc_input | (ADC_VREF_TYPE & 0xff);
// Delay needed for the stabilization of the ADC input voltage
delay_us(10);
// Start the AD conversion
ADCSRA|=0x40;
// Wait for the AD conversion to complete
while ((ADCSRA & 0x10)==0);
```

```

ADCSRA|=0x10;
return ADCH;
}

// TWI functions
#include <twi.h>
// Declare your global variables here

/*****
*****
Declare variables sistem MONITORING GAS PADA
PURIFIKASI
=====ENDLY DEVIRA Y -2414031030- =====
*****
****/
```

//----- Gas Metana Input -----

```

float Xc, vinc, RL1c, RS1c, RO1c, Rasio1c;
char ppm1c[33];
float a3=1021;
float b3=-2.7887;
float c3=0.8964;
float zc,ppmc;
```

//----- Gas Metana Output -----

```

float Xd, vind, RL1d, RS1d, RO1d, Rasio1d;
char ppm1d[33];
float a4=1021;
float b4=-2.7887;
float c4=0.8964;
float zd,ppmd;
```

//----- Gas CO2 Input -----

```

float temp14f,temp24f,refyf,ppmf, vinf, sensorf;
unsigned char tampil3 [5] ;
```

//----- Gas CO2 Output -----

```

float temp14g,temp24g,refyg,ppmg, ving, sensorg;
unsigned char tampil4 [5] ;
```

//----- Gas H2S Input -----



```
*****  
*****  
  
*****  
*****  
  
*****  
*****  
  
Declare variables sistem MONITORING GAS PADA  
PURIFIKASI  
====LAYLY DIAN E -2414031005- ====  
*****  
*****  
*****/  
//-----Sensor Tekanan-----  
//int sensor1, sensor2;  
float x,y;  
float c1,c2,d1,d2,f1,f2,h1,h2;  
float l=0;  
float j=0;  
float k=0;  
float tangki1, tangki2;  
char buf3[33];  
char buf4[33];  
*****  
*****  
//*****  
*****  
*****  
  
*****  
*****  
  
Declare variables sistem MONITORING GAS PADA  
PURIFIKASI  
====EKA WAHYU P -24140310XX- ====  
*****  
*****  
*****/  
//-----Sensor gas H2s Kontrol-----  
float Xe, vine, RL1e, RSe, ROe, Rasioe,ppme,z1e;  
char ppm1e[33];  
float a5=39.996;
```

```
float b5=-3.303 ;
float c5=0.6975 ;
//*****
*****  
//*****
*****  
*****  
  
void tampil_LCD(void);
void devi (void);
void indra (void);
void layli (void);
void wahyu (void);
void date(void);
void berotasi(unsigned char b3, unsigned char b2,unsigned char b1, unsigned char b0);
void startup(void);
void cond_1(void);
void cond_2(void);
void cond_3(void);
void cond_4(void);
void cond_5(void);
void cond_6(void);
void cond_7(void);
void cond_8(void);
```

```
*****  
*****
```

Syntak\_1(PEMBACAAN FLOW) sistem Pengendalian flow inlet pada kolom purifikasi

=====RADIAN INDRA MUKROMIN -2414031034- =====  
\*\*\*\*\*  
\*\*\*\*\* /

```
// External Interrupt 7 service routine
interrupt [EXT_INT7] void ext_int7_isr(void)
{
    countx++;
}
```



```
// Func7=Out Func6=Out Func5=Out Func4=Out Func3=Out
Func2=Out Func1=Out Func0=Out
// State7=0 State6=0 State5=0 State4=0 State3=0 State2=0
State1=0 State0=0
PORTA=0x00;
DDRA=0xFF;

// Port B initialization
// Func7=Out Func6=Out Func5=Out Func4=Out Func3=In
Func2=Out Func1=In Func0=In
// State7=0 State6=0 State5=0 State4=0 State3=T State2=0
State1=T State0=T
PORTB=0x00;
DDRB=0xFF;

// Port C initialization
// Func7=In Func6=In Func5=In Func4=In Func3=In Func2=In
Func1=In Func0=In
// State7=T State6=T State5=T State4=T State3=T State2=T
State1=T State0=T
PORTC=0x00;
DDRC=0x00;

// Port D initialization
// Func7=In Func6=In Func5=In Func4=In Func3=In Func2=In
Func1=In Func0=In
// State7=T State6=T State5=T State4=T State3=T State2=T
State1=T State0=T
PORTD=0x00;
DDRD=0x00;

// Port E initialization
// Func7=In Func6=In Func5=In Func4=In Func3=In Func2=In
Func1=In Func0=In
// State7=T State6=T State5=T State4=T State3=T State2=T
State1=T State0=T
```

```
PORTE=0xFF;
DDRE=0x00;

// Port F initialization
// Func7=In Func6=In Func5=In Func4=In Func3=In Func2=In
Func1=In Func0=In
// State7=T State6=T State5=T State4=T State3=T State2=T
State1=T State0=T
PORTF=0x00;
DDRF=0x00;

// Port G initialization
// Func4=In Func3=In Func2=In Func1=In Func0=In
// State4=T State3=T State2=T State1=T State0=T
PORTG=0x00;
DDRG=0x00;

// Timer/Counter 0 initialization
// Clock source: System Clock
// Clock value: 7,200 kHz
// Mode: Normal top=0xFF
// OC0 output: Disconnected
ASSR=0x00;
TCCR0=0x00;
TCNT0=0x00;
OCR0=0x00;

// Timer/Counter 1 initialization
// Clock source: System Clock
// Clock value: Timer1 Stopped
// Mode: Normal top=0xFFFF
// OC1A output: Discon.
// OC1B output: Discon.
// OC1C output: Discon.
// Noise Canceler: Off
// Input Capture on Falling Edge
```

```
// Timer1 Overflow Interrupt: Off
// Input Capture Interrupt: Off
// Compare A Match Interrupt: Off
// Compare B Match Interrupt: Off
// Compare C Match Interrupt: Off
TCCR1A=0x00;
TCCR1B=0x00;
TCNT1H=0x00;
TCNT1L=0x00;
ICR1H=0x00;
ICR1L=0x00;
OCR1AH=0x00;
OCR1AL=0x00;
OCR1BH=0x00;
OCR1BL=0x00;
OCR1CH=0x00;
OCR1CL=0x00;

// Timer/Counter 2 initialization
// Clock source: System Clock
// Clock value: Timer2 Stopped
// Mode: Normal top=0xFF
// OC2 output: Disconnected
TCCR2=0x00;
TCNT2=0x00;
OCR2=0x00;

// Timer/Counter 3 initialization
// Clock source: System Clock
// Clock value: Timer3 Stopped
// Mode: Normal top=0xFFFF
// OC3A output: Discon.
// OC3B output: Discon.
// OC3C output: Discon.
// Noise Canceler: Off
// Input Capture on Falling Edge
```

```
// Timer3 Overflow Interrupt: Off
// Input Capture Interrupt: Off
// Compare A Match Interrupt: Off
// Compare B Match Interrupt: Off
// Compare C Match Interrupt: Off
TCCR3A=0x00;
TCCR3B=0x00;
TCNT3H=0x00;
TCNT3L=0x00;
ICR3H=0x00;
ICR3L=0x00;
OCR3AH=0x00;
OCR3AL=0x00;
OCR3BH=0x00;
OCR3BL=0x00;
OCR3CH=0x00;
OCR3CL=0x00;

// External Interrupt(s) initialization
// INT0: Off
// INT1: Off
// INT2: Off
// INT3: Off
// INT4: Off
// INT5: Off
// INT6: Off
// INT7: on
EICRA=0x00;
EICRB=0x00;
EIMSK=0x00;
EIFR=0x00;

// Timer(s)/Counter(s) Interrupt(s) initialization
TIMSK=0x04;

ETIMSK=0x04;
```

```
// USART0 initialization
// USART0 disabled
UCSR0B=0x00;

// USART0 initialization
// Communication Parameters: 8 Data, 1 Stop, No Parity
// USART0 Receiver: On
// USART0 Transmitter: On
// USART0 Mode: Asynchronous
// USART0 Baud Rate: 9600
UCSR0A=0x00;
UCSR0B=0x18;
UCSR0C=0x06;
UBRR0H=0x00;
UBRR0L=0x2F;

// Analog Comparator initialization
// Analog Comparator: Off
// Analog Comparator Input Capture by Timer/Counter 1: Off
ACSR=0x80;
SFIOR=0x00;

// ADC initialization
// ADC Clock frequency: 921,600 kHz
// ADC Voltage Reference: AREF pin
// Only the 8 most significant bits of
// the AD conversion result are used
ADMUX=ADC_VREF_TYPE & 0xff;
ADCSRA=0x83;

// SPI initialization
// SPI disabled
SPCR=0x00;
```

```
// TWI initialization
// Mode: TWI Master
// Bit Rate: 100 kHz
twi_master_init(100);

// I2C Bus initialization
// I2C Port: PORTE
// I2C SDA bit: 2
// I2C SCL bit: 3
// Bit Rate: 100 kHz
// Note: I2C settings are specified in the
// Project|Configure|C Compiler|Libraries|I2C menu.
i2c_init();

// Alphanumeric LCD initialization
// Connections are specified in the
// Project|Configure|C Compiler|Libraries|Alphanumeric LCD
menu:
// RS - PORTC Bit 0
// RD - PORTC Bit 1
// EN - PORTC Bit 2
// D4 - PORTC Bit 4
// D5 - PORTC Bit 5
// D6 - PORTC Bit 6
// D7 - PORTC Bit 7
// Characters/line: 20
lcd_init(20);
    //send Data ke Data Logger JUDUL-HEADER
    printf("TANGGAL,");
    delay_ms(10);
    printf("JAM,");
    delay_ms(10);
    printf("CH4/I,");
    delay_ms(10);
    printf("CH4/0,");
    delay_ms(10);
```

```
printf("H2S/I,");
delay_ms(10);
printf("H2S/O,");
delay_ms(10);
printf("CO2/I,");
delay_ms(10);
printf("CO2/O,");
delay_ms(10);
printf("FLOW,");
delay_ms(10);
printf("H2S/C,");
delay_ms(10);
printf("TEKANAN 1,");
delay_ms(10);
printf("TEKANAN 2\n");
delay_ms(10);

// 
//    rtc_set_time(00,56,00); //set time 12:00:00
//    rtc_set_date(0,18,07,17);
//

// Global enable interrupts
#asm("sei")

while (1)
{
    // Place your code here

    devi ();
    indra ();
    layli ();
    wahyu ();
    tampil_LCD();
    date();

    //send Data ke Data Logger
}
```

```
printf("%02i:%02i:%02i",dd,mm,yy); //Tanggal
delay_ms(10);
printf(",");
printf("%02i:%02i:%02i",h,m,s); //jam
delay_ms(10);
printf(",");
printf("%i",ppmc); //CH4 Input
delay_ms(10);
printf(",");
printf("%i",ppmc); //CH4 Output
delay_ms(10);
printf(",");
printf("%.i",ppma); //H2S Input
delay_ms(10);
printf(",");
printf("%.i",ppmb); //H2S Output
delay_ms(10);
printf(",");
printf("%i",ppmf); //CO2 Input
delay_ms(10);
printf(",");
printf("%i",ppmg); //CO2 Output
delay_ms(10);
printf(",");
printf("%i",freq); //Flow
delay_ms(10);
printf(",");
printf("%.i",ppme); //H2S Control
delay_ms(10);
printf(",");
printf("%.i",tangki1); //tekanan 1
delay_ms(10);
printf(",");
printf("%.i",tangki2); //tekanan 2
printf("\n");
// delay_ms(1000);
```

```
    }

}

/*****
***** Syntak sistem MONITORING GAS PADA PURIFIKASI
=====ENDLY DEVIRA Y -2414031030- =====
***** */

void devi ()
{
    delay_ms(10);

    // //Metana input
    Xc=read_adc(5);
    vinc= (Xc/255)*5;
    RL1c= 4.7;
    RS1c=((5/vinc)-1)*RL1c;
    RO1c=10 ;
    Rasio1c= RS1c/RO1c;
    zc=pow(Rasio1c,b3);
    ppmc=a3*zc;

    //Metana output
    Xd=read_adc(6);
    vind= (Xd/255)*5;
    RL1d= 4.7;
    RS1d=((5/vind)-1)*RL1d;
    RO1d=10 ;
    Rasio1d= RS1d/RO1d;
    zd=pow(Rasio1d,b4);
    ppmd=a4*zd;

    //Co2 input
    i2c_start(); // Start Condition
```

```
i2c_write(0xE2); // Write to DT-SENSE module
i2c_write(0x41); // "Read Sensor" Command
i2c_stop(); // Stop Condition
delay_us(10); // 10 us delay
i2c_start(); // Start Condition
i2c_write(0xE3); // Read from DT-SENSE module
temp14f = i2c_read(1); // Data Sensor MSB
temp24f = i2c_read(0); // Data Sensor LSB
i2c_stop(); // Stop Condition
sensorf = (temp14f * 256) + temp24f ;
vinf=(sensorf/1023)*5000;
refyf = (vinf-264.76)/-17.644;
ppmf=pow(2.71828, refyf);

delay_ms(10);

//Co2 output
i2c_start(); // Start Condition
i2c_write(0xE4); // Write to DT-SENSE module
i2c_write(0x41); // "Read Sensor" Command
i2c_stop(); // Stop Condition
delay_us(10); // 10 us delay
i2c_start(); // Start Condition
i2c_write(0xE5); // Read from DT-SENSE module
temp14g = i2c_read(1); // Data Sensor MSB
temp24g = i2c_read(0); // Data Sensor LSB
i2c_stop(); // Stop Condition
sensorg = (temp14g * 256) + temp24g ;
ving=(sensorg/1023)*5000;
refyg = (ving-264.76)/-17.644;
ppmg=pow(2.71828, refyg);
delay_ms(10);

//sensor H2s Input
Xa=read_adc(2);
vina= (Xa/255)*5;
```

```

RL1a= 53;
RSa=(RL1a*(1023-Xa))/Xa;
ROa=104.611 ;
Rasioa= RSa/ROa;
z1a=pow(Rasioa,b1);
ppma=a1*z1a;

//sensor H2s Output
Xb=read_adc(3);
vinb= (Xb/255)*5;
RL1b= 53;
RSb=(RL1b*(1023-Xb))/Xb;
ROb=104.611 ;
Rasiob= RSb/ROb;
z1b=pow(Rasiob,b2);
ppmb=a2*z1b;
}

/******************
*****
Syntak_2 sistem Pengendalian flow inlet pada kolom
purifikasi
====RADIAN INDRA MUKROMIN -2414031034- ====
*****
*******/

void indra ()
{
    //Pembacaan sensor Flow
    TIMSK=0x04;
    TCCR1B=0x07;
    // delay_ms(1000);
    TCCR1B=0x00;
    TIMSK=0x00;
    dur=TCNT1;
    freq = (((dur + i*65536)*60)/4.8)*0.00226;
    TCNT1=0x0000;
}

```

```
i=0;

/***********************
*****MOV_AKTUATOR STEPPER FULL STEP
************/

if (freq<=5.5) // Valve membuka
{
    berotasi (0,0,0,1); //step1
    berotasi (0,0,1,0); //step2
    berotasi (0,1,0,0); //step3
    berotasi (1,0,0,0); //step4
}

else if (freq>=5.5) // Valve Menutup
{
    //Half Step
    tampil_LCD();
    berotasi (1,0,0,0); //step1
    berotasi (0,1,0,0); //step2
    berotasi (0,0,1,0); //step3
    berotasi (0,0,0,1); //step4
}
else if (freq>=5.2) {berotasi (0,0,0,0);} // valve berhenti
else if (freq<=5.8) {berotasi (0,0,0,0);}

}

//Fungsi Deklarasi Port Yang digunakan menggerakkan Stepper
void berotasi(unsigned char b3, unsigned char b2,unsigned char b1, unsigned char b0)
{
    PORTA.0 = b3;
    PORTA.2 = b2;
    PORTA.4 = b1;
    PORTA.6 = b0;
```

```
delay_ms (5);
//*****
*****}
{/*****}

/*****
***** Syntak sistem Pengendalian Pressure pada storage
=====LAYLY DIAN E -2414031005- =====
*****}
*****void layli ()
{
    startup();
    cond_1();
    cond_2();
    cond_3();
    cond_4();
    cond_5();
    cond_6();
    cond_7();

    lcd_clear();

/*****
***** MPX5500DP => Sensor 1 pada tangki 1
*****}
*****x=read_adc(0);
c1=b-xmin;
d1=a*c1;
f1=e-d1;
```

```

tangki1=((a/c1)*x)-(f1/c1); //Pembacaan pressure pada
sensor 1 => Psi
h1=((float)(x*5)/255);

/***********************
*****
MPX5500DP => Sensor 2 pada tangki 2

*****
y=read_adc(1);
c2=b-ymin;
d2=a*c2;
f2=e-d2;
tangki2=((a/c2)*y)-(f2/c2); //Pembacaan pressure pada
sensor 2 => Psi
h2=((float)(y*5)/255);
/***********************
*****
}

/***********************
*****
Syntak Pengendalian Looping pada gas
=====EKA WAHYU P -24140310XX- =====
*****
void wahyu ()
{
    cond_8(); //FUNCTION UNTUK MEMBRIKAN AKSI
PADA AKTUATOR
    //sensor H2s Kontrol
    Xe=read_adc(4);
    vine= (Xe/1023)*5;
    RL1e= 53;
    RSe=(RL1e*(1023-Xe))/Xe;
}

```

```

ROe=104.611 ;
Rasioe= RSe/ROe;
z1e=pow(Rasioe,b5);
ppme=a5*z1e;
}
//*****
*****
```

void tampil\_LCD()

```

{
    //-----Out LCD Monitoring Input-----
    //-----
    if (PINE.5==0)
    {
        lcd_clear();
        lcd_gotoxy(0,0);
        lcd_puts("MONITORING GAS int(Ppm)");

        lcd_gotoxy(0,1);
        lcd_puts("CH4:");
        sprintf(ppm1c,"% .2f",ppmc);
        lcd_puts(ppm1c);

        lcd_gotoxy(0,2);
        lcd_puts("CO2:");
        sprintf(tampil3,"% .2f",ppmf);
        lcd_puts(tampil3);

        lcd_gotoxy(0,3);
        lcd_puts("H2S:");
        sprintf(ppm1b,"% .2f",ppmb);
        lcd_puts(ppm1b);
    }
}
```

```
//-----Out LCD Monitoring Output-----  
----//  
else if (PINE.6 == 0)  
{    lcd_clear();  
lcd_gotoxy(0,0);  
lcd_puts("MONITORING GAS Out(Ppm)");  
  
lcd_gotoxy(0,1);  
lcd_puts("CH4:");  
    sprintf(ppm1d,"% .2f",ppmd);  
lcd_puts(ppm1d);  
  
lcd_gotoxy(0,2);  
lcd_puts("CO2:");  
sprintf(tampil4,"% .2f",ppmg);  
lcd_puts(tampil4);  
  
lcd_gotoxy(0,3);  
lcd_puts("H2S:");  
    sprintf(ppm1a,"% .2f",ppma);  
lcd_puts(ppm1a);  
}  

```

```
//-----Out LCD Kontrol-----  
----//  
else if (PINE.4==0)  
{  
lcd_clear();  
lcd_gotoxy(0,0);  
lcd_puts("Flow1 =");  
    lcd_gotoxy(11,0);  
    ftoa(freq,2,buf2);  
    lcd_puts(buf2);  
    lcd_gotoxy(17,0);
```

```

    lcd_putsf("L/m");
    lcd_gotoxy(0,1);
    lcd_puts("H2S      =");
        sprintf(ppm1e,"% .2f",ppme);
    lcd_puts(ppm1e);
    lcd_gotoxy(17,1);
    lcd_puts("Ppm");
    lcd_gotoxy(0,2);
    lcd_puts("Pressure1=");
        sprintf(buf4,"% .2f",tangki1);
    lcd_gotoxy(11,2);
    lcd_puts(buf4);
    lcd_gotoxy(17,2);
    lcd_puts("Psi");
    lcd_gotoxy(0,3);
    lcd_puts("Pressure2=");
        sprintf(buf3,"% .2f",tangki2);
    lcd_gotoxy(11,3);
    lcd_puts(buf3);
    lcd_gotoxy(17,3);
    lcd_puts("Psi");
}
//-----Out LCD Real Time Clock-----
-----
else
{
    lcd_clear();
    lcd_gotoxy(0,0);
    lcd_puts(" PURIFIKASI BIOGAS ");
    lcd_gotoxy(0,1);
    lcd_puts("-----");
//jam dan menit
    rtc_get_time(&h,&m,&s);
    rtc_get_date(0,&dd,&mm,&yy);
    sprintf(buf0,"Jam : %02d:%02d:%02d",h,m,s);
    lcd_gotoxy(0,2);
}

```

```
lcd_puts(buf0);

//tanggal dan bulan
rtc_get_date(0,&dd,&mm,&yy);
sprintf(buf1,"Date: %02d:%02d:%02d",dd,mm,yy); //+2000);
lcd_gotoxy(0,3);
lcd_puts(buf1);
}

void date()
{
    rtc_get_time(&h,&m,&s);
    rtc_get_date(0,&dd,&mm,&yy);
}

void startup()
{
if (tangki1 <= 5 && tangki2 <= 5)
{
    PORTA.5=1; //SV 1 => inputan tangki 1
    PORTB.7=0; //SV 2 => inputan tangki 2
    PORTA.7=1; //SV 3 => outputan tangki 1
    PORTA.1=0; //SV 4 => outputan tangki 2
}
}

void cond_1()
{
if (tangki1 >= 25 && tangki2 <= 5)
{
    PORTA.5=0;
    PORTB.7=1;
    PORTA.7=1;
    PORTA.1=0;
```

```
i=1;
}
}
void cond_2()
{
if ((tangki1 <= 5 && (tangki2 <= 25 || tangki2 >= 25) && l==1))
{
    PORTA.5=0;
    PORTB.7=1;
    PORTA.7=0;
    PORTA.1=0;
    j=1;
}
}
void cond_3()
{
if ((tangki1 <= 5 && tangki2 >=25) && j==1)
{
    PORTA.5=1;
    PORTB.7=0;
    PORTA.7=0;
    PORTA.1=1;
    l=0;
    k=1;
}
}
void cond_4()
{
if ((tangki1 >=5 && tangki2 <=5) && j==1 && l==0)
{
    PORTA.5=1;
    PORTB.7=0;
    PORTA.7=0;
    PORTA.1=0;
}
}
```

```
void cond_5()
{
if ((tangki1 >= 25 && tangki2 <=5))
{
    PORTA.5=0;
    PORTB.7=1;
    PORTA.7=1;
    PORTA.1=0;
    j=0;
    i=1;
}
}

void cond_6()
{
if (tangki1 >= 25 && (tangki2 <25 && tangki2 >5) && j==1)
{
    PORTA.5=0;
    PORTB.7=0;
    PORTA.7=0;
    PORTA.1=1;
}
}

void cond_7()
{
if ((tangki1 <25 && tangki1 >5) && (tangki2 >= 25) && k==1)
{
    PORTA.5=0;
    PORTB.7=0;
    PORTA.7=1;
    PORTA.1=0;
    j=1;
}
}

void cond_8() //LOOPING WAHYU
{
```

```
if (ppme>=3)
{
    PORTB.4=1;
    PORTB.2=0;
    PORTB.0=1;
    PORTA.3=0;

}

else if (ppme<=3)
{
    PORTB.4=0;
    PORTB.2=1;
    PORTB.0=0;
}
}
```

## LAMPIRAN C

### Data Sheet Sensor MQ-4

## TECHNICAL DATA

## MQ-4 GAS SENSOR

### FEATURES

- \* High sensitivity to CH<sub>4</sub>, Natural gas.
- \* Small sensitivity to alcohol, smoke.
- \* Fast response .. \* Stable and long life .. \* Simple drive circuit

### APPLICATION

They are used in gas leakage detecting equipments in family and industry, are suitable for detecting of CH<sub>4</sub>, Natural gas, LNG, avoid the noise of alcohol and cooking fumes, and cigarette smoke.

### SPECIFICATIONS

#### A. Standard work condition

Symbol	Parameter name	Technical condition	Remarks
V <sub>c</sub>	Circuit voltage	5V±0.1	AC OR DC
V <sub>H</sub>	Heating voltage	5V±0.1	AC OR DC
P <sub>H</sub>	Load resistance	20KΩ	
R <sub>H</sub>	Heater resistance	33Ω ± 5%	Room Temp
P <sub>H</sub>	Heating consumption	less than 750mW	

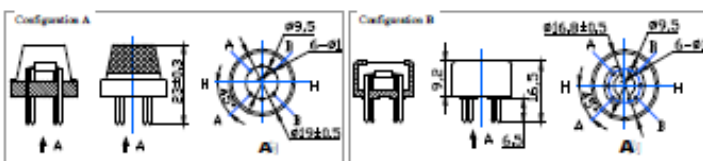
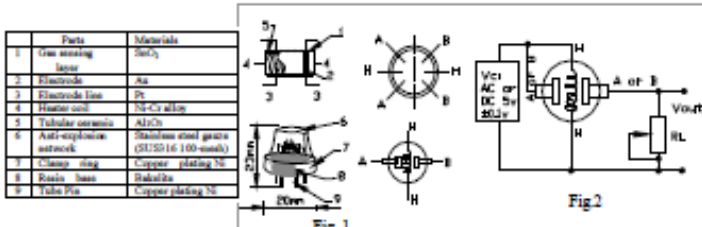
#### B. Environmental condition

Symbol	Parameter name	Technical condition	Remarks
T <sub>so</sub>	Using Temp	-10°C~50°C	
T <sub>st</sub>	Storage Temp	-20°C~70°C	
R <sub>w</sub>	Related humidity	less than 95%RH	
O <sub>2</sub>	Oxygen concentration	21%(standard condition) Oxygen concentration can affect sensitivity	minimum value is over 2%

#### C. Sensitivity characteristic

Symbol	Parameter name	Technical parameter	Remark 2
R <sub>s</sub>	Sensing Resistance	10KΩ ~ 60KΩ (1000ppm CH <sub>4</sub> )	Detecting concentration scope: 200-1000ppm CH <sub>4</sub> , natural gas
α (1000ppm/ 5000ppm CH <sub>4</sub> )	Concentration slope rate	≤0.6	
Standard detecting condition	Temp: 20°C ± 2°C Humidity: 65%~95% V <sub>c</sub> : 5V±0.1 V <sub>H</sub> : 5V±0.1		
Preheat time	Over 24 hour		

#### D. Structure and configuration, basic measuring circuit



Structure and configuration of MQ-4 gas sensor is shown as Fig. 1 (Configuration A or B), sensor composed by micro  $\text{Al}_2\text{O}_3$  ceramic tube, Tin Dioxide ( $\text{SnO}_2$ ) sensitive layer, measuring electrode and heater are fixed into a crust made by plastic and stainless steel net. The heater provides necessary work conditions for work of sensitive compound. The enveloped MQ-4 have 6 pin, 4 of them are used to fetch signals, and other 2 are used for providing heating current.

Electric parameter measurement circuit is shown as Fig.2

#### E. Sensitivity characteristic curve

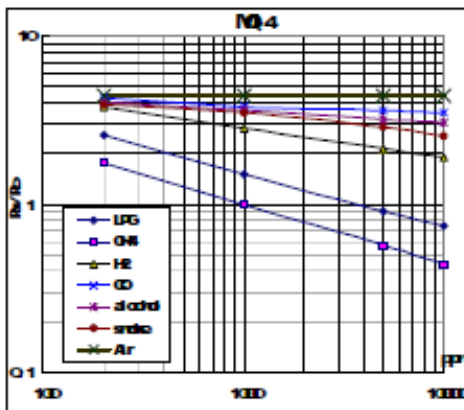


Fig.2 sensitivity characteristics of the MQ-4

Fig.3 is shows the typical sensitivity characteristics of the MQ-4 for several gases.

in their: Temp: 20°C.

Humidity: 65%.

O<sub>2</sub> concentration 21%

R<sub>L</sub>=20kΩ

R<sub>x</sub>: sensor resistance at 1000ppm of

CH<sub>4</sub> in the clean air.

Sensor resistance at various

concentrations of gases.

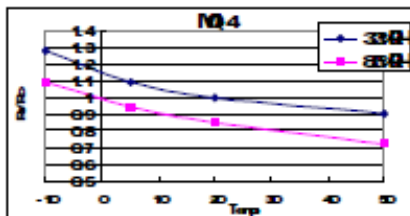


Fig.4 is shows the typical dependence of the MQ-4 on temperature and humidity.

R<sub>x</sub>: sensor resistance at 1000ppm of CH<sub>4</sub> in air at 33%RH and 20 degrees.

R<sub>x</sub>: sensor resistance at 1000ppm of CH<sub>4</sub> in air at different temperatures and humidities.

#### SENSITIVITY ADJUSTMENT

Resistance value of MQ-4 is difference to various kinds and various concentration gases. So, When using this component, sensitivity adjustment is very necessary. we recommend that you calibrate the detector for 500ppm of CH<sub>4</sub> concentration in air and use value of Load resistance (R<sub>L</sub>) about 20KΩ (10KΩ to 47KΩ).

When accurately measuring, the proper alarm point for the gas detector should be determined after considering the temperature and humidity influence.

# LAMPIRAN D

## Data Sheet Sensor MQ-136

HANWEI ELECTRONICS CO.,LTD

MQ-136

<http://www.hwsensor.com>

### TECHNICAL DATA

### MQ-136 GAS SENSOR

#### FEATURES

Fast response and High sensitivity  
Stable and long life      Simple drive circuit

#### APPLICATION

They are used in air quality control equipments for buildings/offices, are suitable for detecting of H<sub>2</sub>S.

#### SPECIFICATIONS

##### A. Standard work condition

Symbol	Parameter name	Technical condition	Remarks
V <sub>C</sub>	Circuit voltage	5V±0.1	AC, OFF, DC
V <sub>H</sub>	Heating voltage	5V±0.1	AC, OFF, DC
R <sub>L</sub>	Load resistance	can adjust	
R <sub>H</sub>	Heater resistance	31Ω±5%	Room Temp
P <sub>H</sub>	Heating consumption	less than 800mW	

##### B. Environment condition

Symbol	Parameter name	Technical condition	Remarks
T <sub>so</sub>	Using Tem	-10°C~45°C	
T <sub>st</sub>	Storage Tem	-20°C~70°C	
R <sub>H</sub>	Related humidity	less than 95%RH	
O <sub>2</sub>	Oxygen concentration	21% (standard condition) Oxygen concentration can affect sensitivity	minimum value is over 2%

##### C. Sensitivity characteristic

Symbol	Parameter name	Technical parameter	Remark 2
R <sub>s</sub>	Sensing Resistance	30KΩ~200KΩ (10ppm H <sub>2</sub> S)	Detecting concentration scope: 1~100ppm H <sub>2</sub> S
(20%) H <sub>2</sub> S	Concentration Slope rate	≤0.65	
Standard Detecting Condition	Temp: 20°C, 1.2°C, Vc: 5V±0.1 Humidity: 65%±5%, Vh: 5V±0.1		
Prefuse time	Over 24 hour		

##### D. Structure and configuration, basic measuring circuit

Part	Material
1 Gas sensing layer	SnO <sub>2</sub>
2 Electrode	Au
3 Ceramic tube	Al <sub>2</sub> O <sub>3</sub>
4 Heater coil	Ni-Cr alloy
5 Tabular ceramic	Al <sub>2</sub> O <sub>3</sub>
6 Anti-explosion network	Stainless steel gauge (203316 100-mesh)
7 Clamp ring	Copper plating Ni
8 Paste base	Haloflex
9 Tube Pin	Copper plating Ni

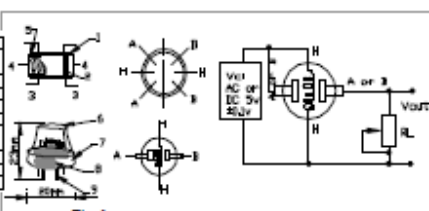
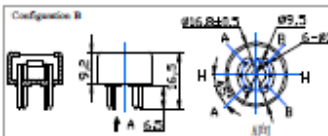
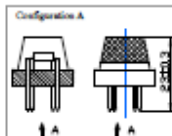


Fig. 1

Fig. 2



Structure and configuration of MQ-136 gas sensor is shown as Fig. 1 (Configuration A or B), sensor composed by micro Al<sub>2</sub>O<sub>3</sub> ceramic tube, Tin Dioxide (SnO<sub>2</sub>) sensitive layer, measuring electrode and heater are fixed into a crust made by plastic and stainless steel net. The heater provides necessary work conditions for work of

TEL: 86-371-5333008 5333009 FAX: 86-371-5333000

E-mail: [sensor@371.net](mailto:sensor@371.net)

sensitive component. The enveloped MQ-136 have 6 pin, 4 of them are used to fetch signals, and other 2 are used for providing heating current.

Electric parameter measurement circuit is shown as Fig.2

#### E. Sensitivity characteristic curve

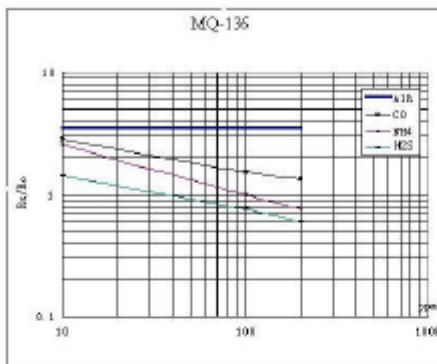
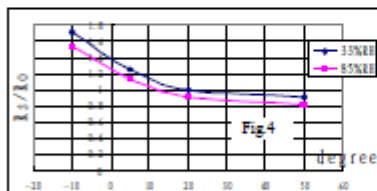


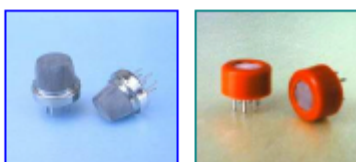
Fig.3 sensitivity characteristics of the MQ-136



#### SENSITIVITY ADJUSTMENT

Resistance value of MQ-136 is difference to various kinds and various concentration gases. So, When using this component, sensitivity adjustment is very necessary. we recommend that you calibrate the detector for 10ppm H<sub>2</sub>S concentration air and use value of Load resistance that (R<sub>L</sub>) about 20 KΩ(10KΩ to 47 KΩ).

When accurately measuring, the proper alarm point for the gas detector should be determined after considering the temperature and humidity influence.



## Lampiran E

### Data Sheet Sensor MG-811

HANWEI ELECTRONICS CO., LTD

MG-811

<http://www.hwsensor.com>

### MG811 CO<sub>2</sub> Sensor

#### Features

- Good sensitivity and selectivity to CO<sub>2</sub>
- Low humidity and temperature dependency
- Long stability and reproducibility

#### Application

- Air Quality Control
- Ferment Process Control
- Room Temperature CO<sub>2</sub> concentration Detection



#### Structure and Testing Circuit

Sensor Structure and Testing Circuit as Figure. It composed by solid electrolyte layer (1), Gold electrodes (2), Platinum Lead (3), Heater (4), Porcelain Tube (5), 100m double-layer stainless net (6), Nickel and copper plated ring (7), Bakelite (8), Nickel and copper plated pin (9).

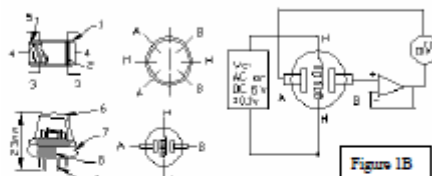
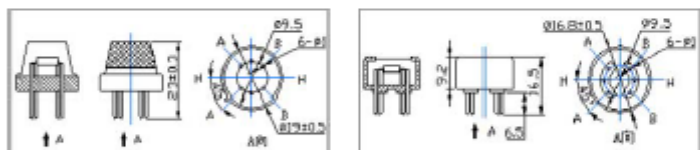


Figure 1B



#### Working Principle

Sensor adopt solid electrolyte cell principle. It is composed by the following solid cells :

Air|Au|NASICON||carbonate|Au, air|CO<sub>2</sub>

When the sensor exposed to CO<sub>2</sub>, the following electrode reaction occurs :

Cathodic reaction : 2Li<sup>+</sup> + CO<sub>2</sub> + 1/2O<sub>2</sub> + 2e<sup>-</sup> → Li<sub>2</sub>CO<sub>3</sub>

Anodic reaction : 2Na<sup>+</sup> + 1/2O<sub>2</sub> + 2e<sup>-</sup> → Na<sub>2</sub>O

Overall chemical reaction : Li<sub>2</sub>CO<sub>3</sub> + 2Na<sup>+</sup> + 1/2O<sub>2</sub> + 2e<sup>-</sup> → Na<sub>2</sub>O + 2Li<sup>+</sup> + CO<sub>2</sub>

The Electromotive force (EMF) result from the above electrode reaction, accord with according to Nernst's equation :

$$\text{EMF} = E_0 - (R \times T) / (2F) \ln(P(\text{CO}_2))$$

P(CO<sub>2</sub>)—CO<sub>2</sub>—partial Pressure    E<sub>0</sub>—Constant Volume    R—Gas Constant volume

T—Absolute Temperature (K)   F—Faraday constant

From Figure 1B, Sensor Heating voltage supplied from other circuit , When its surface temperature is high enough , the sensor equals to a cell, its two sides would output voltage signal ,and its result accord with Nernst's equation. In sensor testing, the impedance of amplifier should be within 100—1000GΩ. Its testing

current should be controlled below 1pA.

#### Specifications :

Symbol	Parameter Name	Technical	Remarks
$V_H$	Heating Voltage	6.0±0.1 V	AC or DC
$R_H$	Heating Resistor	30±5%Ω	Room Temperature
$I_H$	Heating Current	@200mA	
$P_H$	Heating Power	@1200mW	
$T_{ao}$	Operating Temperature	-20...+50°C	
$T_{as}$	Storage Temperature	-20...+70°C	
EMF	Output	30—50mV	350—10000ppm CO <sub>2</sub>

#### Sensitivity :

Figure 2 Shows gas sensor sensitivity curve. :

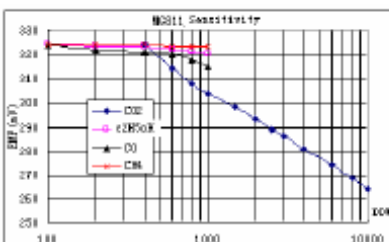
Conditions:

Temp : 28°C,

RH : 65%,

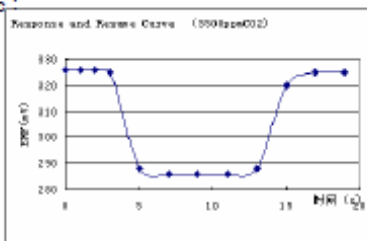
Oxygen : 21%

EMF: sensor EMF under different gas and concentration.

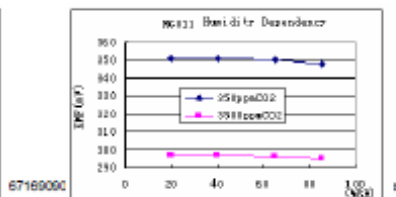
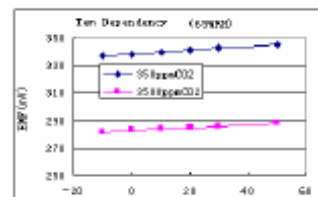


#### Response and Resume Characteristics :

Figure 3 shows Solid electrolyte sensor response and resume characteristics.



#### Temperature and Humidity Dependency :



## Lampiran F

### *DT-Sense MG-811*

#### 1. PENDAHULUAN

DT-SENSE GAS SENSOR merupakan sebuah modul sensor cordis yang mampu memonitor perubahan konsentrasi gas LPG, iso-butana, propana, karbon monoksida (CO), karbon dioksida ( $\text{CO}_2$ ), metana ( $\text{CH}_4$ ), Alkohol, atau kualitas udara (tergantung dari sensor yang digunakan). Modul ini kompatibel dengan sensor gas MQ-3 (alkohol), MQ-4 (metana), MQ-6 (LPG, iso-butana, dan propana), MQ-7 (CO), MQ-135 (kualitas udara), dan MG-811 ( $\text{CO}_2$ ). Selain itu, modul sensor cordis ini dapat berfungsi sebagai kendali konsentrasi gas mandiri secara ON/OFF mengikuti setpoint yang kita tentukan. Modul sensor ini dilengkapi dengan antarmuka UART TTL dan I<sup>2</sup>C.

#### 1.1. SPESIFIKASI

Spesifikasi DT-SENSE GAS SENSOR sebagai berikut:

- Sumber catu daya menggunakan tegangan 5 Volt.
- Kompatibel dengan sensor gas MQ-3, MQ-4, MQ-6, MQ-7, MQ-135, dan MG-811
- Menggunakan ADC dengan resolusi 10 bit.
- Tersedia 1 jalur output kendali ON/OFF.
- Pin Input/Output kompatibel dengan level tegangan TTL dan CMOS.
- Dilengkapi dengan antarmuka UART TTL dan I<sup>2</sup>C.
- Jika menggunakan I<sup>2</sup>C, DT-SENSE GAS SENSOR dapat di-cascade hingga 8 modul.

#### 1.2. SISTEM YANG DIANJURKAN

Sistem yang dianjurkan untuk penggunaan DT-SENSE GAS SENSOR adalah:

Perangkat keras:

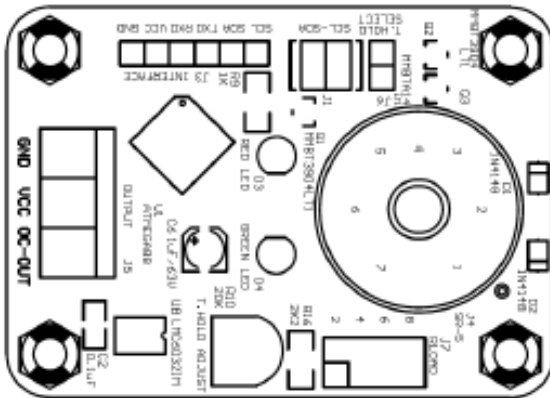
- PC<sup>®</sup> AT<sup>™</sup> Pentium<sup>®</sup> IBM<sup>™</sup> Compatible.
- DT-51 Minimum System, DT-51 Low Cost Series, atau DT-AVR Low Cost Series.
- DVD-ROM Drive dan Hard disk.

Perangkat lunak:

- Sistem operasi Windows<sup>®</sup> XP.
- BASCOM-8051<sup>®</sup>, BASCOM-AVR<sup>®</sup>, atau CodeVisionAVR<sup>®</sup>.
- File-file yang ada pada CD/DVD program:  
DATASHEET, CONTOH\_I2C.C, CONTOH\_I2C.HEX, CONTOH\_UART.C, CONTOH\_UART.HEX, dan MANUAL DT-SENSE GAS SENSOR.

## 2. PERANGKAT KERAS

### 2.1. TATA LETAK KOMPONEN



### 2.2. KONEKTOR DAN PENGATURAN JUMPER

Konktor INTERFACE (J3) berfungsi sebagai koneksi untuk catu daya modul, antarmuka UART TTL, dan antarmuka I<sup>C</sup>.

Pin	Nama	Fungsi
1	GND	Titik referensi untuk catu daya input
2	VCC	Terhubung ke catu daya (5 Volt)
3	RX TTL	Input serial level TTL ke modul DT-SENSE
4	TX TTL	Output serial level TTL dari modul DT-SENSE
5	SDA	I <sup>C</sup> -bus data input / output
6	SCL	I <sup>C</sup> -bus clock input

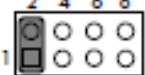
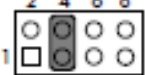
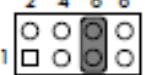
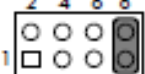
Jumper SCL SDA (J1) berfungsi untuk mengaktifkan resistor pull-up untuk pin SDA dan SCL pada antarmuka I<sup>C</sup>.

Jumper SCL SDA (J1)	Fungsi
()	Pull-up tidak aktif (jumper terlepas)
()	Pull-up aktif (jumper terpasang)

**Penting !**

Apabila lebih dari satu modul dihubungkan pada I<sup>C</sup>-bus maka jumper J1 (SCL/SDA) salah satu modul saja yang perlu dipasang.

Jumper RLOAD (J7) berfungsi untuk memilih resistor beban yang akan digunakan pada rangkaian pengondisi sinyal modul DT-Sensor. Oleh karena modul ini dapat digunakan untuk lebih dari 1 macam sensor dan karakteristik tiap sensor berbeda-beda.

Jumper RLOAD (J7)	Nilai Resistor Beban dan Rekomendasi Sensor
	Nilai Resistor 2K2 Ohm Sensor MQ-4 dan MQ-135
	Nilai Resistor 3K3 Ohm Sensor MQ-3 dan MQ-7
	Nilai Resistor 5K1 Ohm Sensor MQ-6
	Nilai Resistor 100K Ohm Sensor MG-811

Soket SR-5 (J4) sebagai konktor untuk sensor gas yang digunakan.

Pin	Nama	Koneksi
1	A	Terhubung dengan tegangan catu daya 5 Volt
2	H	Terhubung dengan tegangan catu daya 5 Volt
3	A	Terhubung dengan tegangan catu daya 5 Volt
4	B	Terhubung dengan rangkaian pengondisi sinyal
5	H	Terhubung dengan rangkaian pengondisi heater
6	B	Terhubung dengan rangkaian pengondisi sinyal

Konktor OUTPUT (J5) sebagai konktor untuk output open collector.

Pin	Nama	Fungsi
1	GND	Terhubung dengan titik referensi catu daya
2	VCC	Terhubung dengan tegangan catu daya 5 Volt
3	OC-OUT	Pin output kendali ON/OFF bersifat Open Collector

#### 4.3. COMMAND SET

Berikut ini daftar lengkap perintah-perintah dalam antarmuka UART dan PC.

##### 4.3.1. READ SENSOR

Fungsi	Baca nilai sensor
Perintah	0x41
Parameter	-
Respon	<dataSensor> 0 – 1023 → data hasil konversi ADC
Delay antara Command dan Respon	10 µs
Keterangan	-

Contoh dengan antarmuka UART untuk memperoleh nilai hasil pembacaan sensor:

User : 0x41  
DT-SENSE : <dataSensor>

Berikut ini contoh pseudo code C untuk menggunakan perintah ini dengan antarmuka PC (misalkan alamat PC = 0xE0):

```
i2c_start();           // Start Condition
i2c_write(0xE0);       // Tulis ke modul DT-SENSE
i2c_write(0x41);       // Perintah "Read Sensor"
i2c_stop();            // Stop Condition

delay_us(10);          // delay 10 us

i2c_start();           // Start Condition
i2c_write(0xE1);       // Baca ke modul DT-SENSE
temp1 = i2c_read(1);   // Data Sensor MSB
temp2 = i2c_read(0);   // Data Sensor LSB
i2c_stop();            // Stop Condition
```

Sensor = (temp1 x 256) + temp2

##### 4.3.2. READ VR

Fungsi	Baca nilai resistor variabel
Perintah	0x42
Parameter	-
Respon	<dataVR> 0 – 1023 → data hasil konversi ADC
Delay antara Command dan Respon	10 µs
Keterangan	-

Contoh dengan antarmuka UART untuk memperoleh nilai hasil pengaturan resistor variabel:

User : 0x42  
DT-SENSE : <dataVR>

Berikut ini contoh pseudo code C untuk menggunakan perintah ini dengan antarmuka PC (misalkan alamat PC = 0xE0):

```
i2c_start();           // Start Condition
i2c_write(0xE0);       // Tulis ke modul DT-SENSE
```

```

i2c_write(0x42); // Perintah "Read VR"
i2c_stop(); // Stop Condition
delay_us(10); // delay 10 us
i2c_start(); // Start Condition
i2c_write(0xE1); // Baca ke modul DT-SENSE
temp1 = i2c_read(1); // Data VR MSB
temp2 = i2c_read(0); // Data VR LSB
i2c_stop(); // Stop Condition

```

$$\text{NilaiVR} = (\text{temp1} \times 256) + \text{temp2}$$

#### 4.3.3. READ UPPER THRESHOLD

Fungsi	Baca nilai batas atas
Perintah	0x43
Parameter	-
Respon	<Threshold_A> 0 – 1023 → pengaturan batas atas
Delay antara Command dan Respon	10 $\mu$ s
Keterangan	-

Contoh dengan antarmuka UART untuk membaca data batas atas yang telah tersimpan di EEPROM:

User : 0x43  
 DT-SENSE : <Threshold\_A>

Berikut ini contoh pseudo code C untuk menggunakan perintah ini dengan antarmuka I<sup>2</sup>C (misalkan alamat I<sup>2</sup>C = 0xE0):

```

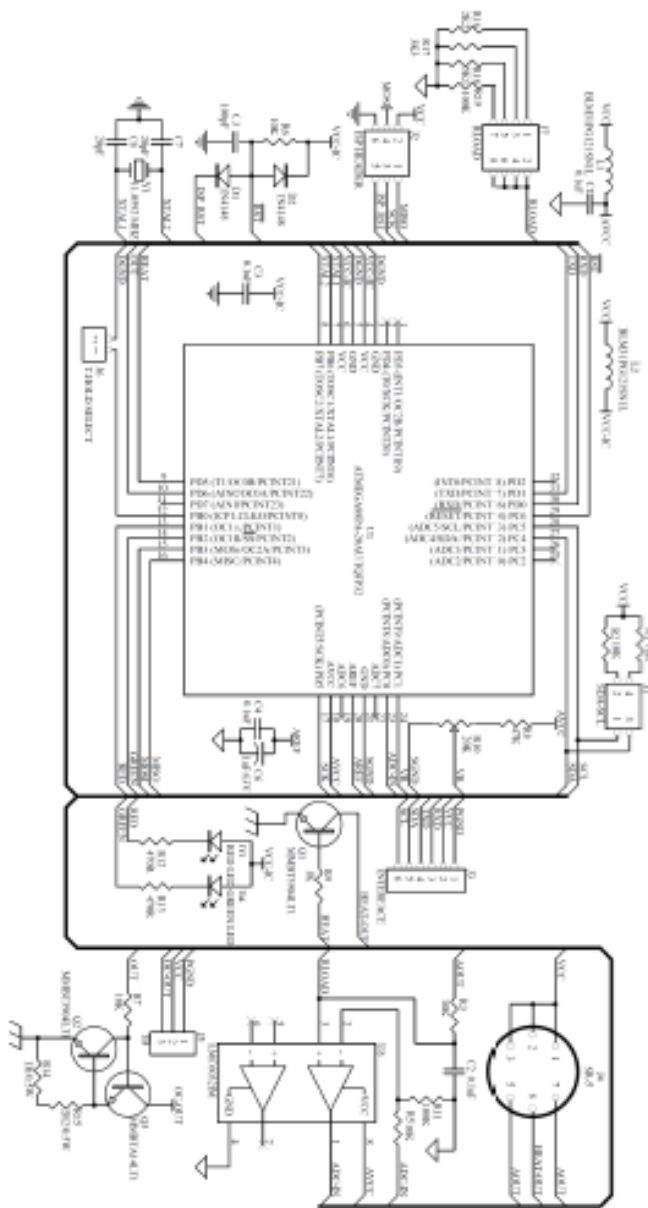
i2c_start(); // Start Condition
i2c_write(0xE0); // Tulis ke modul DT-SENSE
i2c_write(0x43); // Perintah "Read Upper Threshold"
i2c_stop(); // Stop Condition
delay_us(10); // delay 10 us
i2c_start(); // Start Condition
i2c_write(0xE1); // Baca ke modul DT-SENSE
temp1 = i2c_read(1); // Data Batas Atas MSB
temp2 = i2c_read(0); // Data Batas Atas LSB
i2c_stop(); // Stop Condition

```

$$\text{BatasAtas} = (\text{temp1} \times 256) + \text{temp2}$$

#### 4.3.4. SET UPPER THRESHOLD

Fungsi	Atur nilai batas atas
Perintah	0x44
Parameter	<Threshold_A> 0 – 1023 → pengaturan batas atas
Respon	-
Delay antara Command dan Respon	-
Keterangan	<ul style="list-style-type: none"> <li>Agar nilai batas atas dianggap valid dan tersimpan ke EEPROM, maka nilai batas atas harus lebih besar dari nilai batas bawah.</li> </ul>



## LAMPIRAN G

### (DATA SHEET SYSTEM ATMEGA128)

#### Features

- High-performance, Low-power Atmel® AVR® 8-bit Microcontroller
  - Advanced RISC Architecture
  - 133 Powerful Instructions – Most Single Clock Cycle Execution
  - 32 x 8 General Purpose Working Registers + Peripheral Control Registers
  - Fully Static Operation
  - Up to 16 MIPS Throughput at 16MHz
  - On-chip 2-cycle Multiplier
- High Endurance Non-volatile Memory segments
  - 128Kbytes of In-System Self-programmable Flash program memory
  - 4Kbytes EEPROM
  - 4Kbytes Internal SRAM
  - Write/Erase cycles: 10,000 Flash/100,000 EEPROM
  - Data retention: 20 years at 85°C/100 years at 25°C<sup>10</sup>
  - Optional Boot Code Section with Independent Lock Bits
  - In-System Programming by On-chip Boot Program
  - True Read-While-Write Operation
  - Up to 64Kbytes Optional External Memory Space
  - Programming Lock for Software Security
  - SPI Interface for In-System Programming
- QTouch™ Library support
  - Capacitive touch buttons, sliders and wheels
  - QTouch and QMatrix acquisition
  - Up to 64 sense channels
- JTAG (IEEE std. 1149.1 Compliant) Interface
  - Boundary-scan Capabilities According to the JTAG Standard
  - Extensive On-chip Debug Support
  - Programming of Flash, EEPROM, Fuses and Lock Bits through the JTAG Interface
- Peripheral Features
  - Two 8-bit Timer/Counters with Separate Prescalers and Compare Modes
  - Two Expanded 16-bit Timer/Counters with Separate Prescaler, Compare Mode and Capture Mode
  - Real Time Counter with Separate Oscillator
  - Two 8-bit PWM Channels
  - 6 PWM Channels with Programmable Resolution from 2 to 16 Bits
  - Output Compare Modulator
  - 8-channel, 10-bit ADC
    - 8 Single-ended Channels
    - 7 Differential Channels
    - 2 Differential Channels with Programmable Gain at 1x, 10x, or 200x
  - Byte-oriented Two-wire Serial Interface
  - Dual Programmable Serial USARTs
  - Master/Slave SPI Serial Interface
  - Programmable Watchdog Timer with On-chip Oscillator
  - On-chip Analog Comparator
- Special Microcontroller Features
  - Power-on Reset and Programmable Brown-out Detection
  - Internal Calibrated RC Oscillator
  - External and Internal Interrupt Sources
  - Six Sleep Modes: Idle, ADC Noise Reduction, Power-save, Power-down, Standby, and Extended Standby
  - Software Selectable Clock Frequency
  - ATmega103 Compatibility Mode Selected by a Fuse
  - Global Pull-up Disable
- I/O and Packages
  - 53 Programmable I/O Lines
  - 64-pin TQFP and 64-pad QFN/MILF
- Operating Voltages
  - 2.7...5.5V ATmega128L
  - 4.5...5.5V ATmega128
- Speed Grades
  - 0...8MHz ATmega128L
  - 0...16MHz ATmega128



**8-bit Atmel  
Microcontroller  
with 128KBytes  
In-System  
Programmable  
Flash**

**ATmega128  
ATmega128L**

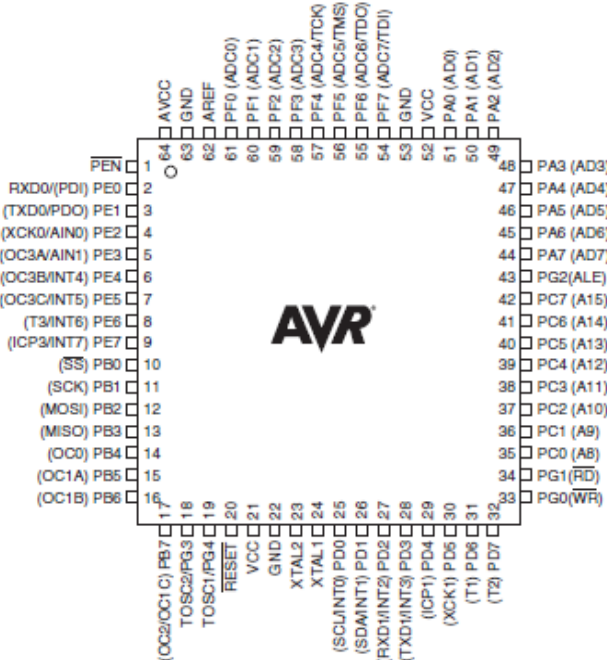
#### Summary



## ATmega128

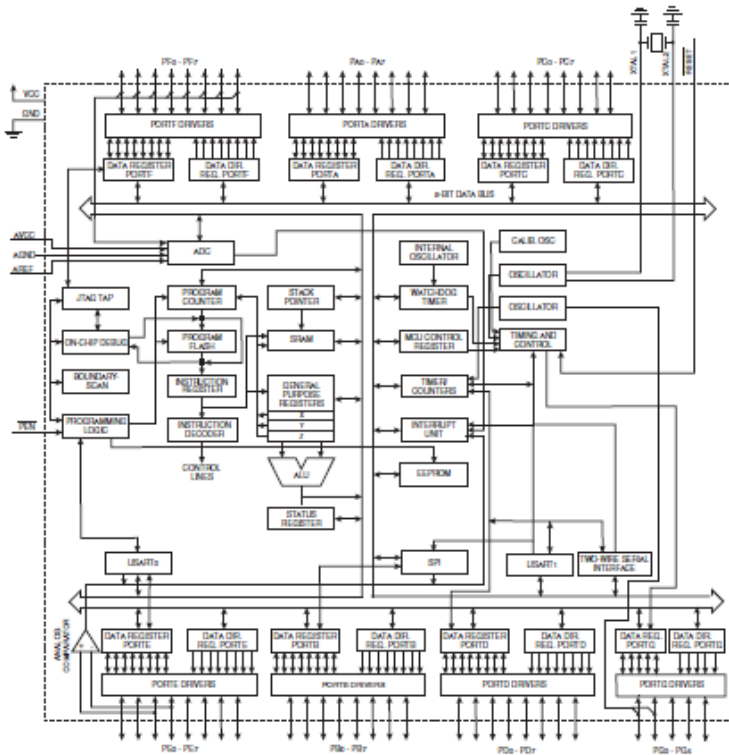
### Pin Configurations

Figure 1. Pinout ATmega128



## Block Diagram

Figure 2. Block Diagram



## ATmega128

### Instruction Set Summary

Mnemonics	Operands	Description	Operation	Flags	#Clocks
<b>ARITHMETIC AND LOGIC INSTRUCTIONS</b>					
AADD	Rd, Rr	Add two Registers.	Rd = Rd + Rr	Z,C,N,V,H	1
ACAS	Rd, Rr	Add Immediate to Registers.	Rd = Rd + Rr + C	Z,C,N,V	1
ACSW	Rd,K	Add Immediate to Word.	Rd(Rd) = Rd(Rd) + K	Z,C,N,V,S	2
SADD	Rd,Rr	Subtract two Registers.	Rd = Rd - Rr	Z,C,N,V,H	1
SACAS	Rd,K	Subtract Constant from Register.	Rd = Rd - K	Z,C,N,V,H	1
SSACAS	Rd,Rr	Subtract with Carry Two Registers.	Rd = Rd - Rr - C	Z,C,N,V,H	1
SSACAS	Rd,K	Subtract with Carry Constant from Reg.	Rd = Rd - K - C	Z,C,N,V,H	1
SSRW	Rd,K	Subtract Immediate from Word.	Rd(Rd) = Rd(Rd) - K	Z,C,N,V,S	2
AND	Rd,Rr	Logical AND Registers.	Rd = Rd & Rr	Z,N,V	1
ANCI	Rd,K	Logical AND Register and Constant.	Rd = Rd & K	Z,N,V	1
ORI	Rd,Rr	Logical OR Registers.	Rd = Rd   Rr	Z,N,V	1
OCNI	Rd,K	Logical OR Register and Constant.	Rd = Rd   K	Z,N,V	1
CSWI	Rd,Rr	Exclusive OR Registers.	Rd = Rd ^ Rr	Z,N,V	1
CMWI	Rd	Clears Complement Register.	Rd = ~Rd	Z,C,N,V	1
NEG	Rd	Two's Complement.	Rd = ~Rd + 1	Z,C,N,V,H	1
SBBI	Rd,K	Set Bit(s) in Register.	Rd = Rd   K	Z,N,V	1
CBSR	Rd,K	Clear Bit(s) in Register.	Rd = Rd & (~Rt - K)	Z,N,V	1
INC	Rd	Increment.	Rd = Rd + 1	Z,N,V	1
DEC	Rd	Decrement.	Rd = Rd - 1	Z,N,V	1
TST	Rd	Test for Zero or Minus.	Rd = Rd < Rd	Z,N,V	1
CLR	Rd	Clear Register.	Rd = ~Rd	Z,N,V	1
SETR	Rd	Set Register.	Rd = R	Z,N,V	1
MULS	Rd,Rr	Multiply Unsigned.	Rd(Rd) = Rd(Rd) * Rr	Z,C	2
MULSI	Rd,Rr	Multiply Signed.	Rd(Rd) = Rd(Rd) * Rr	Z,C	2
MULSU	Rd,Rr	Multiply Signed with Unsigned.	Rd(Rd) = Rd(Rd) * Rr << 1	Z,C	2
FMLA	Rd,Rr	Fractional Multiply Unsigned.	Rd(Rd) = Rd(Rd) * Rr << 1	Z,C	2
FMULS	Rd,Rr	Fractional Multiply Signed.	Rd(Rd) = Rd(Rd) * Rr << 1	Z,C	2
FMULSU	Rd,Rr	Fractional Multiply Signed with Unsigned.	Rd(Rd) = Rd(Rd) * Rr << 1	Z,C	2
<b>BRANCH INSTRUCTIONS</b>					
BLJP	k	Relative Jump.	PC = PC + k + 1	None	2
BLJR	k	Indirect Jump.	PC = R	None	2
RECALL	k	Return, Subroutine Call.	PC = PC + k + 1	None	2
CALL	k	Subroutine Call (P).	PC = R	None	2
RET		Subroutine Return.	PC = STACK	None	2
RETI		Interrupt Return.	PC = STACK	1	4
CPS	Rd,Rr	Compare, Set if Equal.	Rd(Rd) = Rr(Rr) PC = PC + 2 or 3	None	1/2/3
CPI	Rd,Rr	Compare.	Rd = Rr	Z,N,V,C,H	1
CPSI	Rd,Rr	Compare with Carry.	Rd = Rr - C	Z,N,V,C,H	1
CPIK	Rd,K	Compare Register with Immediate.	Rd = K	Z,N,V,C,H	1
BRBC	Rd,B	Branch If Register is Set.	Rd(Rd) = 0 PC = PC + 2 or 3	None	1/2/3
BRBB	Rd,B	Branch If Register is Not Set.	Rd(Rd) = 1 PC = PC + 2 or 3	None	1/2/3
BRBK	P,B	Branch If X0 Register Cleared.	Rd(Rd) = 0 PC = PC + 2 or 3	None	1/2/3
BRBS	P,B	Branch If X0 Register is Set.	Rd(Rd) = 1 PC = PC + 2 or 3	None	1/2/3
BRBZ	k,k	Branch If Status Flag Set.	Rd(Rd) = 1 Then PC = PC + k + 1	None	1/2
BRBNC	k,k	Branch If Status Flag Cleared.	Rd(Rd) = 0 Then PC = PC + k + 1	None	1/2
BREQ	k	Branch If Equal.	Rd = R Then PC = PC + k + 1	None	1/2
BRNE	k	Branch If Not Equal.	Rd ≠ R Then PC = PC + k + 1	None	1/2
BRIC0	k	Branch If Carry Set.	Rd = 1 Then PC = PC + k + 1	None	1/2
BRIC0	k	Branch If Carry Cleared.	Rd = 0 Then PC = PC + k + 1	None	1/2
BRIS0	k	Branch If Set or Higher.	Rd = 1 Then PC = PC + k + 1	None	1/2
BRIS0	D	Branch If Set or Lower.	Rd = 0 Then PC = PC + k + 1	None	1/2
BRIM	k	Branch If Minus.	Rd = 1 Then PC = PC + k + 1	None	1/2
BRIP	k	Branch If Plus.	Rd = 0 Then PC = PC + k + 1	None	1/2
BRGE	k	Branch If Greater or Equal, Signed.	Rd(N) = 0 Then PC = PC + k + 1	None	1/2
BRLT	k	Branch If Less Than Zero, Signed.	Rd(N) = 1 Then PC = PC + k + 1	None	1/2
BRHS	k	Branch If Half-Carry Flag Set.	Rd(H) = 1 Then PC = PC + k + 1	None	1/2
BRHC	k	Branch If Half-Carry Flag Cleared.	Rd(H) = 0 Then PC = PC + k + 1	None	1/2
BRIT	k	Branch If T Flag Set.	Rd(T) = 1 Then PC = PC + k + 1	None	1/2
BRITC	k	Branch If T Flag Cleared.	Rd(T) = 0 Then PC = PC + k + 1	None	1/2
BRIF	k	Branch If Overflow Flag Set.	Rd(V) = 1 Then PC = PC + k + 1	None	1/2
BRIFC	k	Branch If Overflow Flag Cleared.	Rd(V) = 0 Then PC = PC + k + 1	None	1/2



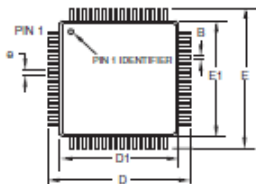
## Instruction Set Summary (Continued)

Mnemonics	Operands	Description	Operation	Flags	#Clocks
SBRK	k	Branch if interrupt enabled	IF (I = 1) then PC <- PC + k + 1	None	1/2
	I	Branch if interrupt enabled	IF (I = 1) then PC <- PC + k + 1	None	1/2
<b>DATA TRANSFER INSTRUCTIONS</b>					
MOV	Rd, Rr	Move Between Registers	Rd <- Rr	None	1
MOVW	Rd, Rr	Copy Register Word	Rd <- Rr + Rv1 Rr	None	1
LDI	Rd, K	Load Immediate	Rd <- K	None	1
LD	Rd, X	Load Indirect	Rd <- (X)	None	2
LD	Rd, X+	Load Indirect and Post Inc.	Rd <- (X), X <- X + 1	None	2
LD	Rd, X-	Load Indirect and Pre-Dec	X <- X - 1, Rd <- (X)	None	2
LD	Rd, Y	Load Indirect	Rd <- (Y)	None	2
LD	Rd, Y+	Load Indirect and Post Inc.	Rd <- (Y), Y <- Y + 1	None	2
LD	Rd, Y-	Load Indirect and Pre-Dec	Y <- Y - 1, Rd <- (Y)	None	2
LDD	Rd, Y+Z	Load Indirect with Displacement	Rd <- (Y + Z)	None	2
LDZ	Rd, Z	Load Direct	Rd <- (Z)	None	2
LDZ	Rd, Z+	Load Direct and Post Inc.	Rd <- (Z), Z <- Z + 1	None	2
LDZ	Rd, Z-	Load Direct and Pre-Dec	Z <- Z - 1, Rd <- (Z)	None	2
LDDZ	Rd, Z+Y	Load Indirect with Displacement	Rd <- (Z + Y)	None	2
LDS	Rd, k	Load Direct from SREG	Rd <- k	None	2
SLD	X, Rr	Store Indirect	(Rr) <- Rd	None	2
SLT	X, Rr	Store Indirect and Post Inc.	(Rr) <- Rd, X <- X + 1	None	2
SLT	X, Rr	Store Indirect and Pre-Dec	X <- X - 1, (Rr) <- Rd	None	2
SLT	Y, Rr	Store Indirect	(Rr) <- Rd	None	2
SLT	Y, Rr	Store Indirect and Post Inc.	(Rr) <- Rd, Y <- Y + 1	None	2
SLT	Y, Rr	Store Indirect and Pre-Dec	Y <- Y - 1, (Rr) <- Rd	None	2
SLTD	Y, Rr, Yr	Store Indirect with Displacement	(Y + k) <- Rd	None	2
SLD	Z, Rr	Store Indirect	(Rr) <- Rd	None	2
SLT	Z, Rr	Store Indirect and Post Inc.	(Rr) <- Rd, Z <- Z + 1	None	2
SLT	Z, Rr	Store Indirect and Pre-Dec	Z <- Z - 1, (Rr) <- Rd	None	2
STD	Z, Rr	Store Indirect with Displacement	(Z + k) <- Rd	None	2
STIS	k, Rr	Store Direct in SREG	(Rr) <- k	None	2
LDPM	Rd, Z	Load Program Memory	Rd <- (Z)	None	3
LDPM	Rd, Z+	Load Program Memory	Rd <- (Z + 1)	None	3
LDPM	Rd, Z-	Load Program Memory and Post Inc.	Rd <- (Z), Z <- Z + 1	None	3
ELDM	Rd, Z	Extended Load Program Memory	Rd <- (SREG/Z, Z)	None	3
ELDM	Rd, Z+	Extended Load Program Memory	Rd <- (SREG/Z, Z + 1)	None	3
ELDM	Rd, Z-	Extended Load Program Memory and Post Inc.	Rd <- (SREG/Z, RAM/Z, RAM/Z + 1)	None	3
SDM		Store Program Memory	(Z) <- Rd	None	-
IN	Rd, P	In Port	Rd <- P	None	1
OUT	P, Rr	Out Port	P <- Rd	None	1
POP	Rd	Push Register on Stack	Rd <- STACK	None	2
PEPOP	Rd	Pop Register from Stack	RD <- STACK	None	2
<b>BIT AND BIT TEST INSTRUCTIONS</b>					
SBS	Rd, I	Set Bit in Rr Register	RD(0) <- 1	None	2
CBS	Rd, I	Clear Bit in Rr Register	RD(0) <- 0	None	2
LSL	Rd	Logical Shift Left	Rd <- (1, Rd(0), Rd(1))	Z,C,N,V	1
LSR	Rd	Logical Shift Right	Rd <- (0, Rd(1), Rd(0))	Z,C,N,V	1
ROL	Rd	Rotate Left Through Carry	Rd <- (C, Rd(0), ..., Rd(n-1), C, Rd(0))	Z,C,N,V	1
RRN	Rd	Rotate Right Through Carry	Rd <- (C, Rd(0), Rd(n-1), C, Rd(0))	Z,C,N,V	1
ASR	Rd	Arithmetic Shift Right	Rd <- (0, Rd(n), ..., Rd(0))	Z,C,N,V	1
SWAP		Swap Nibbles	Rd(0) <- Rd(7), Rd(7) <- Rd(0)	None	1
SBIT	I	Flag Set	RD(0) <- 1	S,R,I,D,E	1
BCLR	I	Flag Clear	RD(0) <- 0	S,R,I,D,E	1
BSR	Rd, I	Bit Move from Register to T	I <- Rd(I)	None	1
BSR	Rd, I	Bit Move from Register to Register	Rd(I) <- 1	None	1
BSR	I	Set Carry	I <- 1	S,C	1
CLC		Clear Carry	I <- 0	S,C	1
SEN		Set Negative Flag	N <- 1	S	1
CUN		Clear Negative Flag	N <- 0	S	1
SEZ		Set Zero Flag	Z <- 1	Z	1
CUZ		Clear Zero Flag	Z <- 0	Z	1
SEI		Global Interrupt Enable	I <- 1	I	1
CEI		Global Interrupt Disable	I <- 0	I	1
SEI		Set Signed Test Flag	S <- 1	S	1
CEI		Clear Signed Test Flag	S <- 0	S	1



## Packaging Information

64A

COMMON DIMENSIONS  
(Unit of Measure = mm)

SYMBOL	MIN	NOM	MAX	NOTE
A	—	—	1.20	
A1	0.05	—	0.15	
A2	0.95	1.00	1.05	
D	15.75	16.00	16.25	
D1	13.90	14.00	14.10	Note 2
E	15.75	16.00	16.25	
E1	13.90	14.00	14.10	Note 2
B	0.30	—	0.45	
C	0.09	—	0.20	
L	0.45	—	0.75	
g	0.80 TYP			

## Notes:

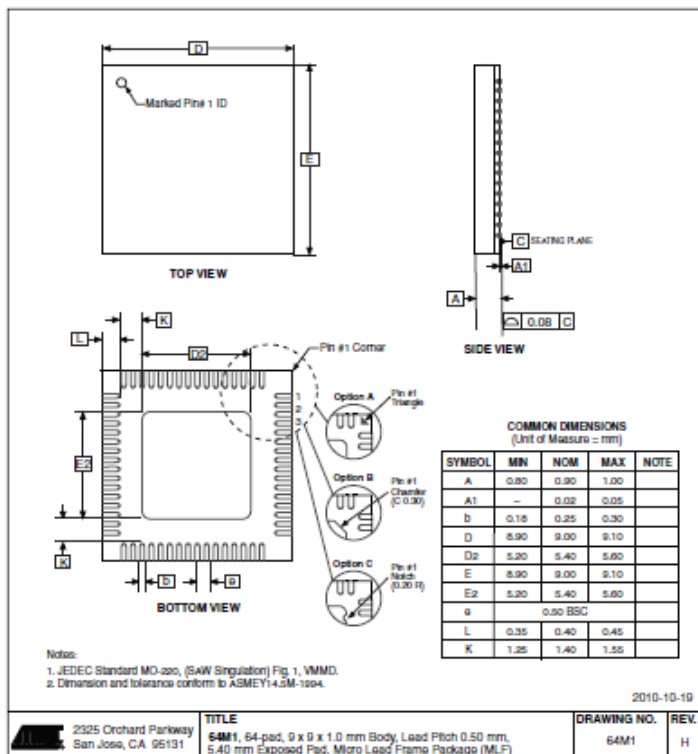
1. This package conforms to JEDEC reference MS-026, Variation AEB.
2. Dimensions D1 and E1 do not include mold protrusion. Allowable protrusion is 0.05 mm per side. Dimensions D1 and E1 are maximum plastic body size dimensions including mold mismatch.
3. Lead coplanarity is 0.10 mm maximum.

2010-10-20

2325 Orchard Parkway San Jose, CA 95131	TITLE 64A, 64-lead, 14 x 14 mm Body Size, 1.0 mm Body Thickness, 0.8 mm Lead Pitch, Thin Profile Plastic Quad Flat Package (TQFP)	DRAWING NO. 64A	REV. C
--	---	-----------------	--------

# ATmega128

64M1



Notes:

1. JEDEC Standard MO-220, (SAW Simulation) Fig. 1, VMMO.
2. Dimension and tolerance conform to ASME Y14.5M-1994.

2010-10-19

 2325 Orchard Parkway San Jose, CA 95131	<b>TITLE</b> <b>64M1, 64-pad, 9 x 9 x 1.0 mm Body, Lead Pitch 0.50 mm, 5.40 mm Exposed Pad, Micro Lead Frame Package (MLF)</b>	<b>DRAWING NO.</b> 64M1	<b>REV.</b> H
--	---	-------------------------	---------------

# BIOGAS PURIFICATION SYSTEM

## MANUAL BOOK



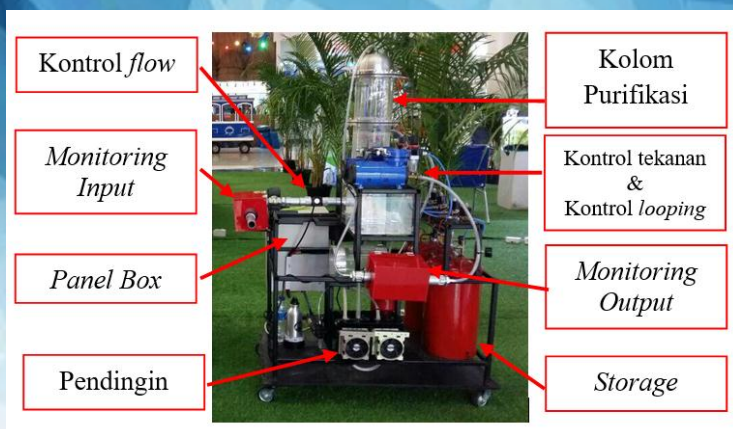
## GAMBARAN UMUM ALAT

**Biogas Purification System** adalah gagasan inovasi dalam pemurnian biogas yang mengkombinasikan antara sistem absorpsi fisika dengan sistem adsorpsi kimia dalam satu kolom yang dirancang secara otomatis. Sistem absorpsi fisika yang digunakan pada alat ini menggunakan *water scrubber* dengan temperatur air antara 10-15°C. Hasil dari absorpsi fisika ini dapat melarutkan kadar H<sub>2</sub>S, CO<sub>2</sub> dan PM dengan tingkat kelarutan gas sebanding dengan rendahnya temperatur air pada *water scrubber*. Sedangkan pada sistem adsorpsi kimia alat ini menggunakan zat kimia CaO apabila bereaksi dengan gas biogas dapat mengurangi kadar CO<sub>2</sub> dan CaCl<sub>2</sub> apabila bereaksi dengan gas biogas dapat mengurangi kadar air dalam biogas. Selain itu **Biogas Purification System** juga dilengkapi dengan sistem kontrol meliputi sistem kontrol temperatur pada *water cooling system*, sistem kontrol tekanan pada *biogas storage*, serta sistem *monitoring* kadar gas H<sub>2</sub>S, CO<sub>2</sub>, CH<sub>4</sub> pada *inlet* dan *outlet* purifikasi biogas yang saling terintegrasi. **Biogas Purification System** sangat sesuai digunakan oleh pengguna biogas di Indonesia karena alat ini merupakan alat purifikasi yang efektif, efisien, dan sekaligus menggunakan bahan pemurnian yang relatif mudah untuk diregenerasi secara lokal di wilayah Indonesia.

## SPESIFIKASI ALAT

1. Sistem Pendingin Air
2. Sensor Gas
  - H<sub>2</sub>S : MQ-136
  - CH<sub>4</sub> : MQ-4
  - CO<sub>2</sub> : MG-811
3. Sensor Tekanan (MPX5500DP)
4. Mini Kompresor
5. Sensor Flow G1
6. *Water Scrubber System*
7. Mikrokontroller ATMega128
8. *Storage Tank*
  - Tinggi : 38 cm
  - Diameter: 21 cm
9. *Display LCD 4x20*
10. Kolom Purifikasi
  - Tinggi : 80 cm
  - Diameter: 15 cm
11. *Spray atau Nozzle*
12. *Sieve Plate Tray Trap*
13. *Stepper*
14. *Solenoid Valve*
15. Sensor DHT

## DESKRIPSI ALAT



Gambar Plant Purifikasi Biogas

Plant ini dilengkapi dengan kontrol flow gas inlet, monitoring gas, kontrol H<sub>2</sub>S, kontrol tekanan dan juga IoT. Adapun penjelasannya sebagai berikut :

### 1. Kontrol Flow Inlet

Sistem *control flow* ini bertujuan untuk mengatur lajualiran yang akan memasuki kolom purifikasi agar hasil dari biogas dalam purifikasi dapat lebih efektif.

Berikut adalah komponen yang digunakan pada sistem control flow inlet pada purifikasi biogas :

- Sensor Flowmeter G 1"

Sensor ini berfungsi untuk mendeteksi aliran biogas yang melewati pipa inlet purifikasi biogas. Sensor ini diatur dengan setpoint sebesar 5 L/min.

- ATmega 128

ATmega 128 merupakan kontroler yang berfungsi untuk mengontrol semua sinyal yang diperintahkan oleh sensor untuk menggerakan actuator.

- Motor Stepper

Motor stepper adalah actuator atau penggerak. Motor stepper ini juga bisa disebut keran otomatis yang dapat membuka atau menutup secara otomatis ketika laju aliran yang telah dideteksi oleh sensor tidak sesuai dengan set point yang telah ditetapkan yaitu 5 L/min.

Motor stepper ini juga dilengkapi dengan driver motor yang berada pada panel box guna untuk pengkondisian sinyal yang akan diproses pada ATmega128.

## 2. Monitoring Gas

Sistem monitoring kadar gas ini meliputi gas CH<sub>4</sub>, CO<sub>2</sub>, dan H<sub>2</sub>S. sistem monitoring ini berfungsi untuk tujuan sehingga dapat mengetahui kualitas kandungan gas CH<sub>4</sub>, karena kadar CH<sub>4</sub> sangat menentukan kualitas dari biogas. Sedangkan kadar CO<sub>2</sub> dan H<sub>2</sub>S perlu dimonitoring untuk memastikan keamanan, melindungi, mengantisipasi serta menyiapkan pemeliharaan / maintenance peralatan sebab kadang gas tersebut merupakan kadar pengotor pada biogas yang dapat merusak peralat pengaplikasian biogas.

Sistem monitoring ini terletak pada bagian inlet dan outlet kolom purifikasi, sehingga dapat terlihat perbandingan antara biogas sebelum atau sesudah

memasuki kolom purifikasi dan dapat terlihat efektifitas dari proses purifikasi tersebut.

Berikut ini adalah komponen yang digunakan untuk sistem monitoring kadar gas pada sistem purifikasi biogas :

- Sensor (MG-811, MQ-136 dan MQ-4)  
Sensor ini berfungsi untuk mendeteksi kandungan gas yang berada pada biogas. Sensor MG-811 berfungsi untuk mendeteksi kadar CO<sub>2</sub>. MQ-136 berfungsi untuk mendeteksi H<sub>2</sub>S. dan sensor MQ-4 dapat berfungsi untuk mendeteksi gas CH<sub>4</sub>.
- ATmega 128  
ATmega 128 berfungsi sebagai prosesor yang memproses seluruh sinyal agar dapat bekerja sesuai yang diinginkan.
- RTC (Real Time Clock)  
RTC ini berfungsi sebagai penampil waktu yang sebenarnya. Dilengkapi dengan baterai CMOS agar dapat selalu berkerja meskipun pant dalam kondisi mati, dan ketika dihidupkan maka waktu yang ditampilkan dapat menunjukkan waktu sebenarnya tanpa harus mensetting ulang.
- SDcard  
SDcard merupakan memory yang digunakan untuk merekam/menyimpan seluruh hasil variable yang telah diukur. SDcard ini mampu menyimpan data yang bekerja setiap detik.

### 3. Kontrol H<sub>2</sub>S

Sistem *control* H<sub>2</sub>S ini berfungsi untuk mengatur kadar H<sub>2</sub>S yang akan keluar pada kolom purifikasi, agar kadar biogas yang keluar dari kolom purifikasi dapat memenuhi standar yang telah diinginkan.

Berikut adalah komponen yang digunakan pada sistem control H<sub>2</sub>S :

- Sensor H<sub>2</sub>S (MQ-136)

Sensor ini berfungsi untuk mendeteksi kadar H<sub>2</sub>S yang ada pada biogas. Sensor ini diatur dengan setpoint sebesar 3 ppm.

- ATmega 128

ATmega 128 merupakan kontroler yang berfungsi untuk mengontrol semua sinyal yang diperintahkan oleh sensor untuk menggerakkan actuator.

- Solenoid

Solenoid berfungsi sebagai actuator atau penggerak. Pada sistem ini menggunakan 2 solenoid untuk mengatur aliran biogas. Solenoid (a) akan menyala ketika sensor mendeteksi kadar H<sub>2</sub>S > 3 ppm. Yang artinya aliran biogas akan ditarik kembali untuk memasuki kolom purifikasi untuk di proses ulang. Sedangkan solenoid (b) akan aktif ketika kadar H<sub>2</sub>S < 3 ppm. Maka aliran biogas akan diteruskan keluar dari kolom purifikasi menuju proses selanjutnya.

### 4. Kontrol Tekanan

Sistem kontrol tekanan berfungsi untuk mengatur tekanan dalam *storage tank* agar tekanan

didalamnya bisa tetap stabil dan dapat sesuai dengan yang telah ditentukan.

Komponen yang digunakan pada system kontrol tekanan ini meliputi:

- Sensor tekanan (MPX5500DP)

Sensor tekanan difungsikan untuk mendeteksi tekanan didalam *storage tank* dimana *setpoint* yang digunakan sebesar 5Psi sebagai batas bawah dan 25Psi sebagai batas atas.

- Mikrokontroller ATMega 128

Mikrokontroller berfungsi sebagai pengontrol semua sinyal yang berasal dari sensor untuk menggerakkan actuator.

- *Solenoid Valve*

*Solenoid Valve* berfungsi sebagai aktuator yang bersifat *on/off*. *Solenoid valve* yang digunakan pada kontrol tekanan ini berjumlah 4 buah yaitu *solenoid valve* 1 dan 2 sebagai input kemudian *solenoid valve* 3 dan 4 sebagai output. Input akan membuka ketika tekanan 5 Psi dan menutup ketika tekanan telah mencapai 25 Psi, sedangkan *solenoid valve* 3 dan 4 akan membuka ketika tekanan 25 Psi dan menutup ketika tekanan 5 Psi. Untuk tahapan terakhir outputan gas dari *storage tank* akan diteruskan menuju generator.

## 5. IoT

Sistem kontrol tekanan berfungsi untuk mengatur tekanan dalam *storage tank* agar tekanan didalamnya bisa tetap stabil dan dapat sesuai dengan yang telah ditentukan.

Komponen yang digunakan pada system kontrol tekanan ini meliputi:

1. Raspberry Pi3



2. Smartphone Android

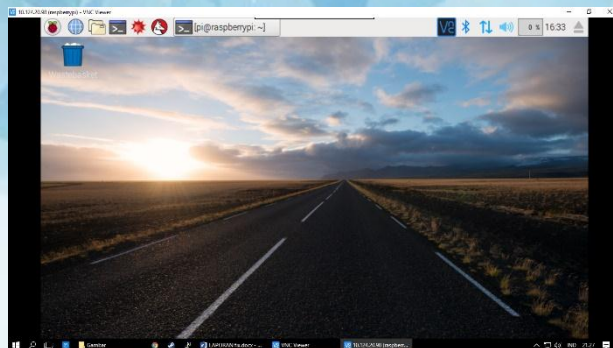


3. Laptop



## Cara penggunaan

1. Pastikan raspberry pi sudah tersambung pada plant purifikasi biogas
2. Nyalakan raspberry pi dan akan tampil layar pada gambar berikut



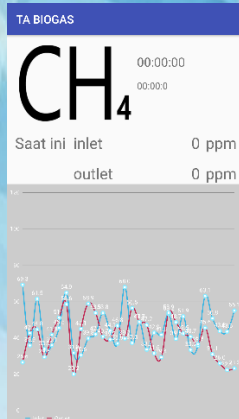
3. Akan keluar tampilan seperti ini apabila data sudah masuk ke database

```
pi@raspberrypi: ~
```

```
File Edit Tabs Help
[1:1:06/14:57:26.818798:INFO:nac1_helper.cc(342)] Initialized sandbox() called with multiple threads in process gnu-process.
bootstrap_helper: /usr/lib/chromium-browser/nac1_helper: Cannot open ELF file!
errno=2
[1:1:06/14:57:26.845854:ERROR:nac1_helper.cc(315)] Bad Nac1 Helper
startup_acked (0 bytes)
[1:1:06/14:57:26.845900:ERROR:sandbox_linux.cc(342)] Initialized sandbox() called with multiple threads in process gnu-process.
bootstrap_helper: /usr/lib/chromium-browser/nac1_helper: Cannot open ELF file!
errno=2
[1:1:06/14:57:26.845910:ERROR:nac1_helper.cc(315)] Bad Nac1 Helper
startup_acked (0 bytes)
[1:1:06/14:57:26.845914:INFO:nac1_helper.cc(342)] Initialized sandbox() called with multiple threads in process gnu-process.
bootstrap_helper: /usr/lib/chromium-browser/nac1_helper: Cannot open ELF file!
errno=2
[1:1:06/14:57:26.845916:ERROR:nac1_helper.cc(315)] Bad Nac1 Helper
startup_acked (0 bytes)
`CframeStack (most recent call last):
  File "/home/pi/raspberry-pi-sample-code/cobotta.py", line 19, in <module>
    import cobotta
  File "/home/pi/raspberry-pi-sample-code/cobotta.py", line 19, in <module>
    import cobotta
KeyboardInterrupt
```

```
pi@raspberrypi: ~
```

#### 4. Hasil pada tampilan smartpho



## PROSEDUR PENGGUNAAN

Untuk mengaktifkan plant purifikasi biogas ini perlu diperhatikan cara operasionalnya, yaitu sebagai berikut:

1. Pastikan semua wiring rangkaian sudah terpasang dengan benar dan baik.
2. Pastikan tidak ada kebocoran pada masing-masing bagian plant
3. Pastikan pemasangan sensor sudah dilakukan dengan baik dan benar.
4. Pastikan sambungan kabel yang terhubung dengan tegangan AC terhubung dengan benar dan pastikan tidak ada kabel yang terkelupas.
5. Pastikan apakah power supply untuk controller dan bagian-bagian lainnya telah terpasang dan terhubung dengan benar.
6. Sambungkan selang pada inlet purifikasi. Selang harus berukuran 5x8 mm agar dapat masuk ke sambungan pipa inlet purifikasi
7. pasang kabel pada stopkontak.
8. Nyalakan MCB yang berada pada dalam panel untuk menyalakan power supply 12V.
9. Tekan tombol ON/OFF pada pintu panel box yang berfungsi untuk menyalakan power supply 5V.
10. Maka sistem purifikasi berhasil dinyalakan dan siap digunakan.

## BIODATA PENULIS



Penulis dilahirkan di Surabaya pada tanggal 29 Juli 1996 dengan diberi nama Endlys Devira Yonando. Bapak bernama Aloysius Suyatno Yonando, Ibu bernama Endah Maryanti, Kakak perempuan bernama Loynda Yonando dan adik laki-laki bernama Losendra Primamas Yonando. Penulis telah menyelesaikan studi di SDN Kedurus III/430 Surabaya pada tahun 2008, SMP Katolik Santo Yosef Surabaya pada tahun 2011, SMA Negari 16 Surabaya pada tahun 2014, dan kemudian melanjutkan kuliah di Institut Teknologi Sepuluh Nopember (ITS) Program Studi D3 Teknik Instrumentasi pada tahun 2014. Bidang minat yang ditekuni yaitu riset teknologi dan karya tulis ilmiah. Pengalaman magang (*on job training / kerja praktek*) di PT. Pusdiklat Migas Cepu, Jawa Tengah dengan judul: Ketrampilan Kalibrasi *Differential Pressure Transmitter* Menggunakan *Hart Communication* di Bengkel Instrument PPSDM MIGAS CEPU KAB. Blora – Jawa Tengah. Bagi pembaca yang memiliki kritik, saran, atau ingin berdiskusi lebih lanjut mengenai tugas akhir ini, dapat menghubungi penulis melalui nomor telepon 081230623440 atau email [endlysdevira29@gmail.com](mailto:endlysdevira29@gmail.com).

**Motto hidup:** Belajarlah untuk selalu bersabar dan tetap berusaha, karena Allah telah mempersiapkan apapun untuk mu sebelum kamu memintanya.